

دانشگاه صنعتی شهرود

دانشکده معدن، نفت و زئوفیزیک

پایان نامه کارشناسی ارشد

موضوع:

تحلیل پایداری و طراحی سیستم نگهداری اولیه در تونل انتقال آب
خدنگستان فریدونشهر

گردآورنده : روح الله جاودان

اساتید راهنما :

دکتر سید رحمان ترابی

دکتر فرهنگ سرشکی

استاد مشاور: مهندس فرامرز غلامی

پاییز ۱۳۸۶

الْأَخْلَقُ

تشکر و قدردانی :

سپاس یزدان پاک را که قلم را آفرید و به آن سوگند یاد فرمود. حق تعالی را بسی شکر گذاریم که توفیقمان داد تا در وادی بزرگترین معرفت بشری (علم)، گامی هرچند ناچیز برداریم و در این مسیر از محضر انسانهایی عارف و عاشق پیشه فیض بریم که تمامی زندگی خویش را عاشقانه صرف علم نموده اند.

بر خود لازم می دانم از زحمات اساتید بزرگوارم جناب آقایان دکتر سید رحمن ترابی و دکتر فرهنگ سرشکی که مسولیت راهنمایی پایان نامه را بر عهده داشتند، تقدیر و تشکر بنمایم.
از جناب آقای مهندس فرامرز غلامی استاد مشاور صنعتی اینجانب که در نهایت تواضع هدایت کننده اینجانب در جهت جمع آوری اطلاعات و تدوین پایان نامه بودند، سپاس گذارم.
از جناب آقای دکتر سید محمد اسماعیل جلالی که در امر مدلسازی و نحوه استفاده از روش عددی با کمال صبر و متناسب مرا راهنمایی نمودند، نهایت تشکر و قدردانی را دارم.
در پایان از تمامی اساتید محترم دانشکده معدن دانشگاه صنعتی شاهرود، بویژه جناب آقای دکتر کاکایی و جناب آقای دکتر عطایی که با حمایت های همه جانبی خویش موجبات دلگرمی بیشتر برای ادامه کار را فراهم نمودند و همچنین زحمت داوری پایان نامه اینجانب را بر عهده گرفتند، تشکر و قدردانی می نمایم.

تقدیم به پدر و مادر عزیزم

و همسر مهریانم

چکیده:

رودخانه زاینده رود به عنوان یکی از مهمترین رودخانه‌های قسمت خشک مرکز ایران، هرچه بیشتر نیاز به افزایش آورد سالیانه دارد. لذا پس از آوردهای تونل‌های اول و دوم کوهرنگ، اقدام به حفر تونل سوم کوهرنگ، تونل انتقال آب چشمه لنگان و بالاخره تونل انتقال آب چشمه خوزستان جهت افزایش آورد سالیانه شده است.

مجموعه خط انتقال خوزستان شامل پنج قطعه تونل به طول مجموعاً ۹۶۰۰ متر و دو قطعه ناوکanal با طول ۲۵۵۰ متر می‌باشد. شکل مقطع تونل نعل اسپی با ارتفاع ۵ متر و عرض ۵ متر در کف در نظر گرفته شده است.

تحلیل پایداری و طراحی سیستم نگهداری اولیه تونل به کمک روش‌های تجربی (روش RMR و Q)، روش تحلیلی (تحلیل اندرکنش سنگ - سیستم نگهداری) و روش عددی (استفاده از نرم افزار UDEC 4.0) در این پایان نامه صورت گرفته است. بر اساس نتایج، ترکیبی از شاتکریت با ضخامت‌های متغیر (بین ۵ تا ۱۷/۵ سانتیمتر) برای قسمت‌های مختلف تونل و پیچ سنگ‌هایی به طول ۳ متر و قطر ۲۵ میلیمتر با فاصله داری ۱/۵ متری برای نگهداری موقت تونل در نظر گرفته شده و در نهایت ضرایب ایمنی برای این سیستم نگهداری محاسبه شده است.

دانشگاه علم و صنعت اسلامی
D E C

عنوان مطالب

شماره صفحه

۱	فصل اول: کلیات
۲	۱-۱- مقدمه
۴	۱-۲- ویژگیهای تونل انتقال آب خدنگستان
۶	۱-۲-۱- مشخصات تونل انتقال آب خدنگستان
۶	۱-۲-۲- مشخصات ناو کانالهای انتقال خدنگستان
۸	۱-۲-۳- محل و موقعیت و جغرافیایی
۹	۱-۲-۴- راههای دسترسی
۱۰	۱-۲-۵- مشخصات بند انحرافی خدنگستان
۱۲	۱-۲-۶- حفاری در تونل انتقال آب خدنگستان
۱۲	۱-۳- مروری بر کارهای انجام شده
۱۲	۱-۴- اهداف تحقیق و سازماندهی پایان نامه
۱۴	فصل دوم: زمین شناسی مهندسی و بخش بندی مسیر تونل انتقال آب خدنگستان
۱۵	۲-۱- مقدمه
۱۵	۲-۲- زمین شناسی عمومی منطقه
۱۸	۲-۳- زمین شناسی ساختمانی منطقه اجرای پروژه
۱۹	۲-۴- هیدرولوژی
۱۹	۲-۵- میزان نفوذ پذیری واحدهای مختلف سنگی
۲۰	۲-۵-۱- واحدهای نفوذپذیر
۲۰	۲-۵-۲- واحدهای با نفوذپذیری کم
۲۰	۲-۵-۳- واحدهای نفوذناپذیر
۲۱	۲-۶- چشمی خدنگستان

۲۱	۷-۲- زمین شناسی مهندسی مخزن و ورودی تونل
۲۴	۸-۲- زمین شناسی مهندسی مسیر خط انتقال خدنگستان
۲۴	۸-۱- زمین شناسی مهندسی کیلومتر ۰+۰۰۰۰ الی ۰+۱۹۰ (پهنه A)
۲۵	۸-۲- زمین شناسی مهندسی کیلومتر ۰+۱۹۰ الی ۱+۷۹۰ (پهنه B)
۲۶	۸-۳- زمین شناسی مهندسی کیلومتر ۱+۷۹۰ الی ۲+۶۴۵ (پهنه C)
۲۷	۸-۴- زمین شناسی مهندسی کیلومتر ۲+۶۴۵ الی ۳+۸۱۰ (پهنه D)
۲۸	۸-۵- زمین شناسی مهندسی کیلومتر ۳+۸۱۰ الی ۴+۵۸۰ (پهنه E)
۲۹	۸-۶- زمین شناسی مهندسی کیلومتر ۴+۵۸۰ الی ۶+۷۰۰ (پهنه F)
۲۹	۸-۷- زمین شناسی مهندسی کیلومتر ۶+۷۵۰ الی ۸+۴۶۰ (پهنه G)
۳۰	۸-۸- زمین شناسی مهندسی کیلومتر ۸+۴۶۰ الی ۹+۱۷۰ (پهنه H)
۳۱	۸-۹- زمین شناسی مهندسی از کیلومتر ۹+۱۷۰ الی ۱۱+۲۶۰ (پهنه I)
۳۲	فصل سوم : وضعیت درزه ها و آزمایش‌های انجام شده روی نمونه ها
۳۳	۱-۱- مقدمه
۳۳	۲-۲- وضعیت درزه ها در سینه کارها (مقاطع عمود بر محور تونل)
۳۷	۳-۱- گمانه های حفر شده در مسیر تونل
۳۷	۳-۵- آزمایشات لوزان
۳۸	۳-۵- آزمایشات آزمایشگاهی
۳۸	۴-۱-۵- اندازه گیری خصوصیات فیزیکی
۴۰	۴-۲-۵- اندازه گیری مدول یانگ
۴۰	۴-۳-۵- اندازه گیری ضریب پواسون
۴۰	۴-۴-۵- تورم آزاد و فشار تورمی
۴۱	۴-۵-۵- شاخص دوام

۴۲	۶-۵-۳ - مقاومت فشاری تک محوری
۴۳	۷-۵-۳ - آزمایش سه محوری
۴۳	۸-۵-۳ - آزمایش برش در امتداد درزه ها

فصل چهارم : پارامترهای ژئومکانیکی مسیر تونل و برآورد سیستم نگهداری موقت بر

۴۴	اساس طبقه بندی توده سنگ
۴۵	۱-۴ - مقدمه
۴۵	۴-۲- ردی بندی مهندسی با روش پیشنهادی بنیاووسکی (RMR)
۴۶	۴-۳- روش طبقه بندی براساس شاخص کیفی (Q)
۴۷	۴-۴- برآورد پارامترهای ژئومکانیکی با روش RMR
۵۱	۴-۵- سیستم های نگهداری اولیه
۵۱	۴-۵-۱- بتن پاشی (شاتکریت) Shotcrete
۵۲	۴-۵-۲- شبکه تور فولادی Wire Mesh
۵۳	۴-۵-۳- پیچ سنگ (راک بولت) Rock Bolt
۵۴	۴-۵-۴- قاب فولادی Rib Frame
۵۵	۴-۶- برآورد سیستم نگهداری اولیه بر اساس روشهای تجربی
۵۵	۴-۶-۱- روش RMR - بنیاووسکی
۵۶	۴-۶-۲- روش Q برای تعیین سیستم نگهداری اولیه
۵۸	فصل پنجم : برآورد سیستم نگهداری موقت بر اساس تحلیل اندرکنش سنگ - سیستم نگهداری
۵۹	۱-۵ - مقدمه
۵۹	۲-۵ - فرضیات اساسی در رسم منحنی مشخصه زمین

۶۱	۳-۵- مراحل رسم منحنی مشخصه زمین
۶۳	۴-۵- منحنی مشخصه سیستم نگهداری
۶۴	۴-۱- محاسبه تغییر شکل اولیه قبل از نصب سیستم نگهداری
۶۵	۴-۲- سیستم نگهداری موجود برای شاتکریت
۶۵	۴-۳- سیستم نگهداری برای پیچ سنگ تزریقی
۶۶	۴-۴- سیستم نگهداری ترکیبی
۶۷	۴-۵- تحلیل منحنی عکس العمل سیستم نگهداری بر روی منحنی مشخصه زمین
۶۹	فصل ششم : برآورد سیستم نگهداری موقت بر اساس روش های عددی
۷۰	۱-۱- مقدمه
۷۰	۲-۱- روش های عددی
۷۱	۲-۲- روش عناصر محدود (FEM)
۷۲	۲-۲-۱- روش عناصر مرزی (BEM)
۷۲	۲-۲-۲- روش عناصر محدود (DEM) و عناصر مجزا (FDM)
۷۳	۳-۱- نرم افزار UDEC
۷۴	۳-۲- تعیین پارامترهای ورودی نرم افزار
۷۶	۳-۳-۱- خصوصیات هندسی مدل
۷۷	۳-۳-۲- مدل رفتاری توده سنگ و ناپیوستگی ها
۷۹	۳-۳-۳- معیارهای تحلیل و طراحی سیستم نگهدارنده اولیه
۸۰	۳-۳-۴- روش تعیین منحنی های اندرکنش توده سنگ
۸۲	۴-۱- تعیین منحنی اندرکنش توده سنگ (GRC) قسمت های مختلف تونل
۸۶	۴-۲- تحلیل پایداری و طراحی سیستم نگهداری موقت تونل انتقال آب خدنگستان
۸۸	۵-۱- مراحل مدلسازی و تحلیل تنش در مقطع حداکثر روباره

۶-۵-۲ - تشریح عناصر بکار رفته به عنوان سیستم نگهداری تونل انتقال آب	۹۵
۶-۵-۳ - خلاصه نتایج مدلسازی پس از نصب سیستم نگهداری برای قسمت های مختلف مسیر تونل	
۹۶ انتقال آب	
۶-۵-۴ - محاسبه ضرایب ایمنی برای عناصر بکار رفته در سیستم نگهدارنده	۱۰۵
فصل هفتم : نتیجه گیری و پیشنهادات	
۱۰۷ ۱-۱ - نتیجه گیری	
۱۰۸ ۲-۷ - پیشنهادات	
۱۱۱ فهرست منابع	
۱۱۲ ۱۱۶ پیوست ها	

فصل اول: کلیات

شکل ۱-۱- نمای کلی طرح افزایش آب قابل انتقال چشمہ لنگان ۹

شکل ۱-۲- نقشه راههای دسترسی به منطقه مورد مطالعه ۱۱

فصل دوم: زمین شناسی مهندسی و بخش بندی مسیر تونل انتقال آب خدنجستان

شکل ۱-۲- موقعیت منطقه مورد مطالعه در نقشه تقسیمات ایران از نظر اشتوكلین و روتنر و پهنه

بندی زون سنندج - سیرجان در این ناحیه ۱۷

شکل ۲-۲- مشخصات ریز ناپیوستگی ها در ورودی قطعه اول تونل در جناح راست ۲۳

فصل چهارم : پارامترهای ژئومکانیکی مسیر تونل و برآورد سیستم نگهداری موقت بر

اساس طبقه بندی توده سنگ

شکل ۴-۱- تخمین سیستم نگهداری موقت به کمک روش Q ۵۷

فصل پنجم : برآورد سیستم نگهداری موقت بر اساس تحلیل اندرکنش سنگ - سیستم

نگهداری

شکل ۱-۵- منحنی مشخصه سیستم نگهداری ۶۳

شکل ۲-۵- منحنی سیستم نگهداری و زمین برای توده سنگ های مقطع حداکثر روباره ۶۸

فصل ششم : برآورد سیستم نگهداری موقت بر اساس روش های عددی

شکل ۱-۶- محیط نرم افزار Roclab ۷۵

شکل ۲-۶- وضعیت مرزها در اطراف مدل ۷۶

شکل ۳-۶- وضعیت دسته درزه ها و لایه بندی در مدل ۷۶

شکل ۴-۶- نمونه ای از مش بندی مورد استفاده در مدل ۷۷

شکل ۵-۶- الگوی جابجایی در سقف و کف تونل در حال پیشروی ۷۹

شکل ۶-۶- منحنی عکس العمل زمین (GRC) همراه با منحنی مشخصه سیستم نگهداری ۸۰	
شکل ۷-۶ - مدل مورد نظر برای رسم منحنی GRC بوسیله نرم افزار UDEC ۸۱	
شکل ۸-۶- منحنی GRC تاج تونل برای توده سنگهای قسمت ورودی تونل (Part 1) ۸۳	
شکل ۹-۶- منحنی GRC دیواره تونل برای توده سنگهای قسمت ورودی تونل (Part 1) ۸۳	
شکل ۱۰-۶- منحنی GRC تاج تونل برای توده سنگهای قسمت حداکثر روباره (Part 3) ۸۴	
شکل ۱۱-۶- منحنی GRC دیواره تونل برای توده سنگهای قسمت حداکثر روباره (Part 3) ۸۴	
شکل ۱۲-۶- منحنی GRC تاج تونل برای توده سنگهای قسمت خروجی تونل (Part 23) ۸۵	
شکل ۱۳-۶- منحنی GRC دیواره تونل برای توده سنگهای قسمت خروجی تونل (Part 23) ۸۵	
شکل ۱۴-۶ - وضعیت مرزها در مدل ۸۸	
شکل ۱۵-۶- محیط نرم افزار UDEC 4.0 همراه با مدل ساخته شده و مقطع تونل ۸۹	
شکل ۱۶-۶- نیروهای نامتعادل کننده در حل مدل مقطع حداکثر روباره ۹۰	
شکل ۱۷-۶- نمودار همگرایی سقف و کف تونل برای مقطع حداکثر روباره ۹۱	
شکل ۱۸-۶- نمودار جابجایی افقی دیواره تونل به سمت داخل برای مقطع حداکثر روباره ۹۱	
شکل ۱۹-۶- بردارهای جابجایی در نقاط اطراف تونل در مقطع حداکثر روباره ۹۲	
شکل ۲۰-۶- نقاط پلاستیک اطراف تونل همراه با سطوح تسلیم و شکست گششی قبل از نصب سیستم نگهداری در مقطع حداکثر روباره ۹۲	
شکل ۲۱-۶- نمودار تراز جابجایی قائم اطراف تونل قبل از نصب سیستم نگهداری در مقطع حداکثر روباره ۹۳	
شکل ۲۲-۶- نمودار تراز جابجایی افقی اطراف تونل قبل از نصب سیستم نگهداری در مقطع حداکثر روباره ۹۳	
شکل ۲۳-۶- نمودار تراز تنש های قائم Syy قبل از نصب سیستم نگهداری در مقطع حداکثر روباره ۹۴	

..... ۹۶	شکل ۲۴-۶- نمونه ای از سیستم نگهداری مدل شده در نرم افزار UDEC 4.0
..... ۹۸	شکل ۲۵-۶- جابجایی قائم در سقف تونل در مقطع حداکثر روباره پس از نصب سیستم نگهداری.
..... ۹۹	شکل ۲۶-۶- جابجایی افقی در دیواره تونل در مقطع حداکثر روباره پس از نصب سیستم نگهداری.
..... ۱۰۰	شکل ۲۷-۶- نقاط پلاستیک اطراف تونل پس از نصب سیستم نگهداری در مقطع حداکثر روباره ..
..... ۱۰۰	شکل ۲۸- نمودار تراز جابجایی قائم در مقطع حداکثر روباره پس از نصب سیستم نگهداری ..
..... ۱۰۱	شکل ۲۹- نمودار تراز جابجایی افقی در مقطع حداکثر روباره پس از نصب سیستم نگهداری .
..... ۱۰۳	شکل ۳۰- نیروهای محوری وارد بر پیچ سنگ های مقطع حداکثر روباره ..
..... ۱۰۳	شکل ۳۱-۶- نیروی برشی وارد بر پیچ سنگ های مقطع حداکثر روباره ..
..... ۱۰۴	شکل ۳۲-۶- نیروهای محوری وارد بر لایه شاتکریت در مقطع حداکثر روباره ..
..... ۱۰۴	شکل ۳۳-۶- نیروی برشی وارد بر لایه شاتکریت در مقطع حداکثر روباره ..
..... ۱۰۴	شکل ۳۴-۶- لنگر خمی وارد بر لایه شاتکریت در مقطع حداکثر روباره ..

عنوان جداول

شماره صفحه

فصل اول: کلیات

جدول ۱-۱- فهرست برخی از تونلهای انتقال آب و نیروگاهی ایران (تا سال ۱۳۸۴) ۳

جدول ۲-۱- مشخصات چشمeh های گستره طرح ۵

جدول ۳-۱- مشخصات قطعات مختلف مسیر خط انتقال آب خدنگستان به چشمeh لنگان ۷

فصل سوم : وضعیت درزه ها و آزمایشهای انجام شده روی نمونه ها

جدول ۳-۱-۳- مشخصات دسته درزه های اصلی در قسمت های مختلف مسیر تونل ۳۴

جدول ۳-۲-۳- مشخصات گمانه های حفر شده در طول مسیر ۳۷

جدول ۳-۳- نتایج آزمایشات خصوصیات فیزیکی بر روی معزه های اخذ شده از گمانه ها ۳۹

جدول ۳-۴-۳- نتایج آزمایش فشار تورمی ۴۰

جدول ۳-۵- نتایج آزمایش شاخص دوام ۴۱

جدول ۳-۶- نتایج بدست آمده از آزمایشات مقاومت فشاری تک محوری ۴۲

جدول ۳-۷-۳- نتایج آزمایشات سه محوری ۴۳

جدول ۳-۸-۳- نتایج آزمایشات برش مستقیم روی درزه ها ۴۳

فصل چهارم : پارامترهای ژئومکانیکی مسیر تونل و برآورد سیستم نگهداری موقت بر

اساس طبقه بندی توده سنگ

جدول ۴-۱-۴- مقدار شاخص کیفی سنگ برای قسمتهای مختلف مسیر تونل خدنگستان ۴۹

جدول ۴-۲-۴- پارامترهای ژئومکانیکی در مسیر تونل خدنگستان ۵۰

جدول ۴-۳-۴- تعیین سیستم نگهداری بر اساس شاخص کیفی سنگ Q ۵۸

فصل پنجم : برآورد سیستم نگهداری موقت بر اساس تحلیل اندرکنش سنگ - سیستم

نگهداری

جدول ۱-۵- اطلاعات مورد نیاز برای رسم منحنی اندرکنش توده سنگ در مقطع حداکثر روباره .. ۶۷

فصل ششم : برآورده سیستم نگهداری موقت بر اساس روش های عددی

جدول ۱-۶- میزان حداکثر جابجایی ها در سقف و دیواره تونل قبل از نصب سیستم نگهداری برای ۲۳

جدول ۲-۶- میزان جابجایی های قائم در سقف و افقی در دیواره تونل قبل از نصب سیستم نگهداری در ۸۷

جدول ۳-۶- خروجی مستقیم نرم افزار در ارتباط با نیروهای وارد شده ۱۰۲

جدول ۴-۶- محاسبه ضرایب ایمنی برای عناصر بکار رفته در سیستم نگهدارنده ۱۰۶

فصل اول

کلیات

۱-۱ مقدمه

به طور کلی تونل‌ها با توجه به اهداف حفر آنها به سه دسته اصلی تونل‌های عبور و مرور، تونل‌های انتقال و تونل‌های معدنی تقسیم می‌شوند، تونل انتقال آب، جزء تونل‌های انتقال می‌باشد که به دو بخش مجاری زیرزمینی تحت فشار و مجاری زیرزمینی جریانهای آزاد تقسیم می‌گردد.

اقلیم خشک ایران باعث شده تا از دیرباز مساله آب به عنوان امری حیاتی بخشی از توان برنامه ریزی و اجرایی کشور را به خود اختصاص دهد.

همگام با رشد کشور، نیاز به آب نیز در صنعت کشاورزی و بهداشت رشد روز افزون یافته است. کافی نبودن آبهای سطحی باعث شده تا در نواحی مختلف تلاش برای یافتن منابع دیگری جهت تهیه آب آغاز گردد. حفر چاه، قنات و انحراف آب چشممه ها به مناطق مورد نیاز تسهیلاتی در این زمینه می‌باشد که با انتقال آب از حوضه‌ای به حوضه دیگر امروزه وارد مرحله جدیدتری شده است.

در این میان نقش تونل‌ها، در تامین آب مناطق کم آب روشن می‌شود. این تونلها جهت انتقال حجم مشخص از آب رودخانه‌ها و یا مخازن آب سد، مورد استفاده قرار می‌گیرند و دبی و سرعت در آن، از مهمترین مشخصه‌های هیدرولیکی آنهاست.

در همین راستا پژوههای متعدد انتقال آب به طرق مختلف و بخصوص با استفاده از تونل‌های انتقال آب در دست برنامه ریزی و یا اجرا می‌باشد که تونل‌های انتقال آب چشممه لنگان و خدنگستان از جمله این تونل‌ها می‌باشد. در جدول (۱-۱) لیست تونل‌های انحراف، انتقال آب و نیروگاهی کشور که تا سال ۸۴ در مرحله طراحی، اجرا و یا بهره برداری می‌باشد به همراه برخی ویژگیهای آنها آمده است.

جدول ۱-۱- فهرست برخی از تونلهای انتقال آب و نیروگاهی ایران (تا سال ۱۳۸۴) [۴].

عنوان	جهنگ اسلامی	موقعیت	طول	قطر تمام	روش حفاری	توضیحات
		(متر)	(متر)	(متر)		
کوهرنگ (۲)	چهار محال	۲۸۱۷	۲/۸	مکانیزه - انفجاری	بهره برداری	اجرا
کوهرنگ (۳)	چهار محال	۲۲۳۹۰	۴/۲	مکانیزه - انفجاری	بهره برداری	اجرا
گاوشن	کردستان	۲۰۱۸۰	۴/۳	مکانیزه - انفجاری	بهره برداری	اجرا
چشمه لنگان	اصفهان	۱۳۷۶۵	۳/۲	مکانیزه - انفجاری	بهره برداری	اجرا
آبرسانی کرمان	کرمان	۶۳۵۰۰	۳	مکانیزه - انفجاری	طراحی	اجرا
دز به قمرود	لرستان - اصفهان	۴۷۲۴۸	۳/۸	مکانیزه	بهره برداری	اجرا
دشت عباس	ایلام	۶۰۹۷	۵/۵	مکانیزه - انفجاری	بهره برداری	اجرا
ماربران	چهار محال	۱۰۳۶۰	۳	مکانیزه - انفجاری	بهره برداری	اجرا
سد کوثر	خوزستان	۷۴۹۳	۳/۸ - ۱۱	انفجاری	مکانیزه	اجرا
آبرسانی قوچک	تهران	۵۱۵۱	۳/۷	مکانیزه - انفجاری	بهره برداری	اجرا
کارون (۳)	خوزستان	۱۳۲۲۰	۳/۵ - ۱۴/۳	انفجاری	بهره برداری	اجرا
کرج به تهران	تهران	۲۸۹۸۰	۳/۹	مکانیزه	بهره برداری	اجرا
نوسود	کرمانشاه	۴۹۰۰۰	۶	مکانیزه - انفجاری	طراحی	اجرا
سولکان (پسته)	کرمان	۵۲۰۰۰	-	-	مکانیزه	طراحی
لواسان	تهران	۶۳۵۰	۳/۶	مکانیزه - انفجاری	بهره برداری	اجرا
سراب داریاب	لرستان	۱۱۰۰	-	-	بهره برداری	اجرا
چشمه روزیه	سمنان	۳۳۰۰	۳/۲	-	-	اجرا
فشلاق	سنندج	۵۰۰۰	-	-	بهره برداری	اجرا
سبز کوه	چهار محال	۸۴۰۰	-	-	انفجاری	طراحی
آبرسانی بوشهر	بوشهر	۱۱۰۰	۱/۸	انفجاری	طراحی	اجرا
روانسر	کرمانشاه	۵۵۰۰۰	-	-	بهره برداری	اجرا
سد نساء	کرمان	۱۲۴۶	۶	-	-	اجرا

۱-۲- ویژگیهای تونل انتقال آب خدنگستان

حوضه آبریز زاینده رود به عنوان یکی از مناطق کم آب، ولی پر مصرف همواره چشم به حوضه های پرآب اطراف مانند حوضه آبریز کارون و دز داشته تا با استفاده از آنها بخشی از کمبود آب را در محدوده مرکزی ایران جبران نماید.

مجموعه خط انتقال آب خدنگستان (شامل تونل و ناو کanal) نیز به همین علت در برنامه های مطالعاتی سازمان آب منطقه ای اصفهان قرار گرفته تا بخشی از سرشاخه های دز تحت عنوان رودخانه وهرگان را توسط یک خط انتقال حدود ۱۱۲۶۶ متری به سد چشمه لنگان و از آنجا توسط تونل های مربوطه به حوضه زاینده رود منتقل نماید. آب قابل انتقال عبارت است از: چندین چشمه فصلی و چشمه خدنگستان، به انضمام حجم عظیمی از آبهای سطحی که انتظار می رود آورد سالیانه معادل ۶۰ میلیون متر مکعب داشته باشد. در جدول (۲-۱) مشخصات چشمه های گستره طرح آورده شده است. رودخانه زاینده رود به عنوان تنها رودخانه قسمت خشک مرکز ایران هر چه بیشتر نیاز به افزایش آورد سالیانه دارد. لذا پس از آوردهای تونل های اول و دوم کوهرنگ، اقدام به حفر تونل سوم کوهرنگ، تونل انتقال آب چشمه لنگان و بالاخره تونل انتقال آب چشمه خدنگستان، جهت افزایش آورد سالیانه شده است [۵].

جدول ۱-۲- مشخصات چشمهدای گستره طرح [۵]

ردیف	نام چشمدهای	موقعیت	ارتفاع (m)	نوع آبدهی	نوع چشمده
۱	خندگستان	جنوب دره خندگستان	۲۴۳۸/۵	دائمه	کارستی - کنتاکتی
۲	چشمدهای حاج موسی	جنوب دره ملیکان	۳۱۶۰-۳۲۰۰	فضلی	کارستی
۳	چشمدهای لنگان	شمال کوه چشمده لنگان	۲۴۱۸	دائمه	کارستی - کنتاکتی
۴	چشمده سرده	دره شرقی چشمده سرده	۲۵۹۰	دائمه	نشتی
۵	گاوگیر	جنوب ابادی مازه ابول	۲۵۱۰	فضلی	نشتی
۶	جاتریاکا	جنوب غربی ابادی خرسانک	۲۶۱۰	فضلی	نشتی
۷	کهریز	جنوب غربی آبادی خرسانک	۲۶۴۰	دائمه	نشتی
۸	گنگ	جنوب دره قیله	۳۰۴۰	دائمه	کارستی - کنتاکتی
۹	چشمدهای دره قیله	دره خرسانک	۲۴۷۰-۲۴۹۰	فضلی	کنتاکتی
۱۰	چشمدهای دره پیر علی	دره پیر علی	۲۹۶۰-۳۱۶۰	فضلی	نشتی و کنتاکتی
۱۱	چشمدهای دره شاهون	جنوب دارگان	۲۹۵۰-۲۹۸۰	دائمه	کنتاکتی

۱-۲-۱- مشخصات تونل انتقال آب خدنگستان

طول تونل	۹۶۰۰ متر
تعداد قطعات	۵ قطعه
رقوم ورودی اصلی تونل	۲۴۳۱/۵ متر
رقوم خروجی اصلی تونل (- چشمه لنگان)	۲۴۱۶/۵
بیشترین میزان روباره	۳۳۰ متر
سیستم انتقال	ثقلی
نوع جریان	آزاد
شكل مقطع	نعل اسبی
قطر هیدرولیکی	۳ متر
شیب هیدرولیکی تونل	۱ در هزار

۱-۲-۲- مشخصات ناو کانالهای انتقال خدنگستان

طول کanal	۲۵۵۰ متر
تعداد قطعات	۲ قطعه
عرض کف و عمق	۲/۳-۴ متر و ۲/۵ متر عمق
شیب دیواره	۹۰ درجه
شیب کف	۰/۵ در هزار

در جدول (۱-۳) مشخصات قطعات مختلف مسیر خط انتقال آب خدنگستان به چشمه لنگان

آورده شده است [۵].

جدول ۱-۳- مشخصات قطعات مختلف مسیر خط انتقال آب خدنگستان به چشمہ لنگان [۵]

شیب کف	قطر داخلی (متر)	بیشترین روباره، متر	نوع خط انتقال	طول قطعه (متر)	انتهای قطعه	ابتدای قطعه	نام قطعه
۱ در هزار	۳	۳۴۰	تونل	۱۷۹۰	دره غربی چشمہ سرده	دره خدنگستان	AB
۰/۵ در هزار	۲/۵×۲/۳	- (۶۰)	ناو کanal (تونل)	۱۲۵۰ (۸۵۵)	دره شرقی چشمہ سرده	دره غربی چشمہ سرده	BC
۱ در هزار	۳	۲۴۰	تونل	۲۲۸۶	دره شرقی گاو گیر	دره گاو گیر	CD
۱ در هزار	۳	۱۱۰	تونل	۱۲۷۱	دره خرسانک	دره گاو گیر	DE
۱ در هزار	۳	۱۲۰	تونل	۲۱۱۰	دره پیر علی	دره خرسانک	EF
۱ در هزار	۳	۸۰	تونل	۲۰۷۱	دره گاو مرد	دره پیر علی	FG
۰/۵ در هزار	۲/۵×۴	- (۳۵)	ناو کanal (تونل)	۱۳۰۰ (۸۸۲)	چشمہ لنگان	دره گاو مرد	GH

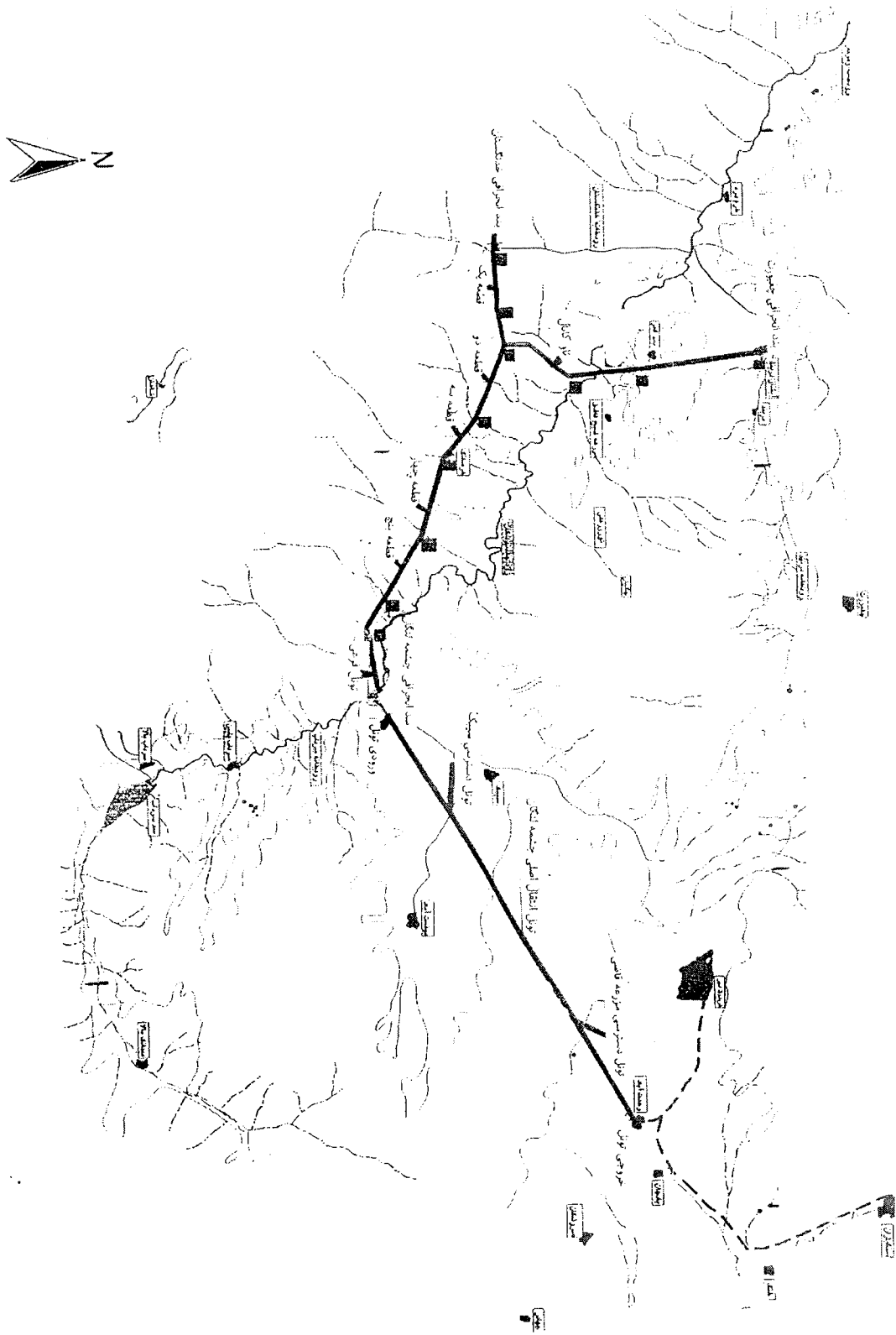
قطعه تونل به صورت نعل اسپی (در زمان حفاری) با ارتفاع ۵ متر و عرض ۵ متر در کف تونل درنظر گرفته شده است. تونل با دیواره های صاف به یک سقف قوسی که قطعه ای از پوسته استوانه ای به شعاع ۲/۵ مترمی باشد، متصل میگردد.

۱-۲-۳- محل و موقعیت جغرافیایی

گستره مورد مطالعه در حد فاصل طولهای $۵۰^{\circ} ۴۹^{\circ}$ تا $۵۰^{\circ} ۵۰^{\circ}$ شرقی و عرضهای $۳۲^{\circ} ۵۰^{\circ}$ تا $۳۲^{\circ} ۵۵^{\circ}$ شمالی در فاصله حدود ۲۰۰ کیلومتری غرب شهرستان اصفهان و ۲۰ کیلومتری جنوب غربی شهرستان فریدونشهر قرار گرفته است. نزدیکترین هسته جمعیتی منطقه شهرستان فریدونشهر و نزدیک ترین روستا به آن روستای سیبک می باشد. آبهای دائمی موجود در حوضه شامل چشمه خدنگستان، چشمه سرده و چشمه لنگان می باشد که همگی پس از طی مسیر به سمت شمال به رودخانه موسوم به چشمه لنگان که از سرشاخه های رودخانه دز محسوب میشود، می ریزند. تعداد زیادی چشمه های موقت و همچنین حجم زیادی از آب روان ناشی از بارندگی و ذوب برف نیز در طی فصول بهار و پاییز در منطقه به چشم می خورد. پوشش گیاهی منطقه بیشتر از گیاهان علفی بوده و درختان، منحصر به دره های آبدار می باشند.

متوسط میزان بارندگی حدود ۷۶۰ میلیمتر در سال و اغلب بصورت برف می باشد. میانگین درجه حرارت حدود ۳° سانتیگراد بالای صفر و متوسط دوره یخبندان حدود ۱۵۰ روز تخمین زده شده است [۵].

نمای کلی طرح افزایش آب قابل انتقال چشمه لنگان به همراه موقعیت تونلها و روستاهای هسته های جمعیتی اطراف آن در شکل ۱-۱ آمده است. همانگونه که مشاهده می شود، تونل انتقال آب خدنگستان شامل پنج قطعه تونل، آب را از بند انحرافی خدنگستان به سد انحرافی چشمه لنگان منتقل می کند، تا از انجا توسط تونل اصلی چشمه لنگان به سمت حوزه زاینده رود هدایت گردد [۵].



شکل ۱-۱- نمای کلی طرح افزایش آب قابل انتقال چشمدهنگان [۵]

۴-۲-۱ راههای دسترسی

دسترسی به محل پروژه از طریق جاده اصفهان - فریدون شهر - سیبک به طول تقریبی ۱۸۰ کیلومتر و از آنجا تا محل چشمک لنگان به صورت جاده خاکی به طول تقریبی ۵ کیلومتر واز آن به بعد بصورت یک جاده عشایری جیپ رو به طول حدود ۱۵ کیلومتر تا دره میلیگان - در شمال محل بند و ورودی تونل - امکان پذیراست.

شکل (۲-۱) نقشه راههای دسترسی به منطقه مورد مطالعه را نشان میدهد [۵].

۵-۲-۱ مشخصات بند انحرافی خدنگستان

بند خدنگستان به منظور انحراف و هدایت آبهای جاری در این دره، به سمت ورودی تونل طراحی شده است. مشخصات اصلی این بند عبارت است از [۵]:

نوع بند	بتنی	ارتفاع از سطح فعلی زمین	۴/۵ متر
طول تاج سرریز	۱۵ متر		
عرض تاج درناحیه غیر سرریز	۱/۵ متر		
رقوم تاج	۲۴۳۵/۸ متر از سطح دریا		
رقوم تاج سرریز	۲۴۳۴ متر از سطح دریا		
رقوم بستر رودخانه	۲۴۲۹/۵ متر از سطح دریا		



شکل ۱-۲- نقشه راههای دسترسی به منطقه مورد مطالعه [۵]

۱-۲-۶- حفاری در تونل انتقال آب خدنگستان

برای حفر تونل انتقال آب خدنگستان که تا اردیبهشت ۱۳۸۶ پیشروی آن حدود ۷۰۰ متر بوده است، از روش چالزنی و انفجار استفاده شده است. چالزنی بوسیله جامبو دریل انجام گرفته و چالهایی با قطر ۴۵ تا ۵۱ میلیمتر بوسیله آن زده می‌شود. دینامیت به همراه چاشنی‌های تاخیری و آنی خرج انفجاری را تشکیل می‌دهند [۵].

۱-۳- مروری بر کارهای انجام شده

تحقیقات و مطالعات صورت گرفته جهت جمع آوری اطلاعات زمین‌شناسی و ژئوتکنیکی منطقه، از سال ۱۳۸۰ آغاز شده است. کارفرمای پروژه، سازمان آب منطقه‌ای اصفهان بوده و شرکت مشاور که اقدام به انجام مطالعات، جمع آوری اطلاعات و تهیه گزارشات زمین‌شناسی و ژئوتکنیکی منطقه و در نهایت طراحی پروژه نموده است، شرکت مهندسین مشاور زاینده‌آب می‌باشد.

تجهیز کارگاه و آماده سازی تونل انتقال آب به همراه احداث جاده‌های دسترسی برای آغاز حفاری تونل، از سال ۱۳۸۵ آغاز شده و طبق قرارداد ۵ ساله پیمانکار (موسسه بیت المقدس سپاه) امید است تا سال ۱۳۹۰ پایان پذیرد.

۱-۴- اهداف تحقیق و سازماندهی پایان نامه

در این تحقیق هدف، نشان دادن نحوه تخمین سیستم نگهداری موقت تونلها توسط روش‌های تجربی، روش‌های تحلیلی و نشان دادن کاربرد روش‌های عددی و نرم افزار^۱ UDEC در تحلیل پایداری و طراحی سیستم نگهداری تونل‌ها می‌باشد که با داشتن اطلاعات زمین‌شناسی و ژئومکانیکی مسیر تونل انتقال آب خدنگستان، به آنالیز پایداری و طراحی سیستم نگهداری اولیه قسمت‌های مختلف این تونل ختم می‌شود.

^۱ Universal Distinct Element code

پایان نامه حاضر مبتنی بر ۷ فصل می باشد. مابقی فصول این پایان نامه به شرحی که در ادامه آمده است، سازماندهی شده است:

فصل دوم تحت عنوان زمین شناسی مهندسی و بخش بندی مسیر تونل انتقال آب خدنجستان می باشد که در آن مسیر تونل از نظر زمین شناسی به ۹ بخش تقسیم شده و ساختارهای زمین شناسی و زمین شناسی مهندسی محدوده پروژه در این ۹ بخش بررسی شده است.

فصل سوم تحت عنوان وضعیت درزه ها و آزمایشات انجام شده روی نمونه ها می باشد که در آن جداول مربوط به ویژگی های درزه ها در طول مسیر تونل ارائه شده و نتیجه آزمایشهای آزمایشگاهی، صحرایی و ژئوتکنیکی انجام شده روی مغزه ها آورده شده است.

فصل چهارم تحت عنوان پارامترهای ژئومکانیکی مسیر تونل و برآورد سیستم نگهداری موقت بر اساس طبقه بندی توده سنگ می باشد که در آن ابتدا بر اساس خصوصیات فیزیکی و مکانیکی، سنگهای مسیر تونل به ۲۳ قسمت تقسیم شده و سپس سنگهای مسیر با توجه به پارامترهای ژئومکانیکی هر قسمت و بر اساس روش های طبقه بندی توده سنگ (RMR و Q) رده بندی می شود و در نهایت پس از بررسی انواع سیستم نگهداری موقت تونلها، بر اساس این رده بندی، سیستم نگهداری موقت مناسب برای هر قسمت ارائه خواهد شد.

در فصل پنجم برآورد سیستم نگهداری موقت، به کمک روش تحلیلی برای تونل انتقال آب صورت گرفته، و منحنی عکس العمل زمین و سیستم نگهداری بوسیله این روش رسم شده است.

فصل ششم تحت عنوان برآورد سیستم نگهداری موقت بر اساس روش های عددی می باشد که در ابتدای این فصل پس از بررسی کلیاتی در مورد روش های عددی برای تحلیل تنش در تونلها، به تشریح نرم افزار UDEC و نحوه مدلسازی با آن پرداخته و در مورد پارامترهای ورودی این نرم افزار و نحوه تعیین برخی از این پارامترها توسط نرم افزار RocLab بحث می شود و سپس برای مسیر تونل تحلیل پایداری و طراحی سیستم نگهداری می شود.

در نهایت فصل هفتم این پایان نامه، به نتیجه گیری و ارائه پیشنهادات اختصاص یافته است.

فصل دوم

زمین شناسی مهندسی

و بخش بندی مسیر

تونل انتقال آب خدنهستان

۱-۲- مقدمه

خط انتقال آب خدنگستان به چشمه لنگان بصورت مجموعه ای از تونل و ناو کanal طراحی شده که مجموعاً در حدود ۱۲۱۵۰ متر (۹۶۰۰ متر تونل و ۲۵۵۰ متر کanal) طول دارد. بدلیل طول زیاد این خط انتقال بررسی ویژگیهای زمین شناسی مسیر تونل، وضعیت ناپیوستگی های موجود (شب و امتداد و خصوصیات دیگر درزه ها) و همچنین بررسی های رئومکانیکی مسیر تونل بصورت واحد صورت نگرفته است. بدین معنی که مسیر حدود ۱۲ کیلومتری تونل به چند پهنه و منطقه ساختاری تقسیم شده است و در این نواحی، مطالعات زمین شناسی و رئومکانیکی جداگانه ای انجام گرفته است. برهمناس اساس در این فصل ابتدا به بررسی زمین شناسی عمومی کلی منطقه، زمین شناسی ساختمانی، هیدرولوژی و برآورد میزان نفوذپذیری در واحدهای مختلف سنگی پرداخته و سپس مسیر به ۹ پهنه تقسیم شده و هر پهنه به صورت جداگانه بحث و بررسی می شود.

۲-۲- زمین شناسی عمومی منطقه

از دیدگاه زمین شناسی ناحیه‌ای، گستره مورد مطالعه در لبه جنوب غربی پهنه سنتنجد - سیرجان در نزدیکی راندگی اصلی زاگرس واقع شده است. پهنه سنتنجد - سیرجان بصورت نواری با پهنهای ۱۵۰ تا ۲۵۰ کیلومتر به موازات روند عمومی کوهزاد زاگرس در بین پهنه های ایران مرکزی در شمال شرق و زاگرس مرتفع در جنوب غرب واقع شده است. شرایط زمین شناسی این پهنه نشان میدهد که در دوران گذشته این زون یکی از فعالترین و ناآرامترین نواحی ایران بوده است. وجود ماگماتیسم و متامورفیسم در دورانهای مختلف شاهد خوبی برای این ادعاست.

از نظر چینه شناسی نیز همانطور که گفته شد این پهنه در اثر عملکرد فازهای مختلف دستخوش تغییرات فراوانی گشته و غالباً دگرگون شده است. در عین حال تعدادی از واحدهای

دگرگون نشده نیز در ناحیه دیده میشود. گسترش جغرافیایی، تنوع لیتولوژیک و وجود پدیده های

ساختماری مختلف در پهنه سنتندج - سیرجان باعث تفکیک آن به سه زیر پهنه اصلی شده است:

- زیر پهنه داخلی مزوژوئیک: در این بخش اسلیتهای تریاس - ژوراسیک و توده های

گوانیتوئیدی حضوری گسترده دارند.

- زیر پهنه بلندیهای دیرین میانی: که ویژگی آن فراوانی سنگهای دگرگونه پر کامبرین و

پالئوزوئیک زیرین می باشد.

زیر پهنه کناره ای یا حاشیه ای: با ویژگی ادامه رسوبگذاری از ژوراسیک به کرتاسه.

با توجه به اینکه منطقه مورد مطالعه در زیر پهنه کناره ای واقع شده، به شرح بیشتری از آن

می پردازیم:

زیر پهنه کناره ای مزوژوئیک با پهناهی متوسط ۱۰ تا ۱۲ کیلومتر و حد اکثر ۵۰ کیلومتر در

بین زیر پهنه بلندیهای دیرین میانی در شمال شرق و رشته رادیولاریتی در جنوب غرب قرار گرفته

است.

بیش از ۹۰ درصد برونزدگیهای سنگی موجود در این پهنه از سنگهای ژوراسیک تا کرتاسه

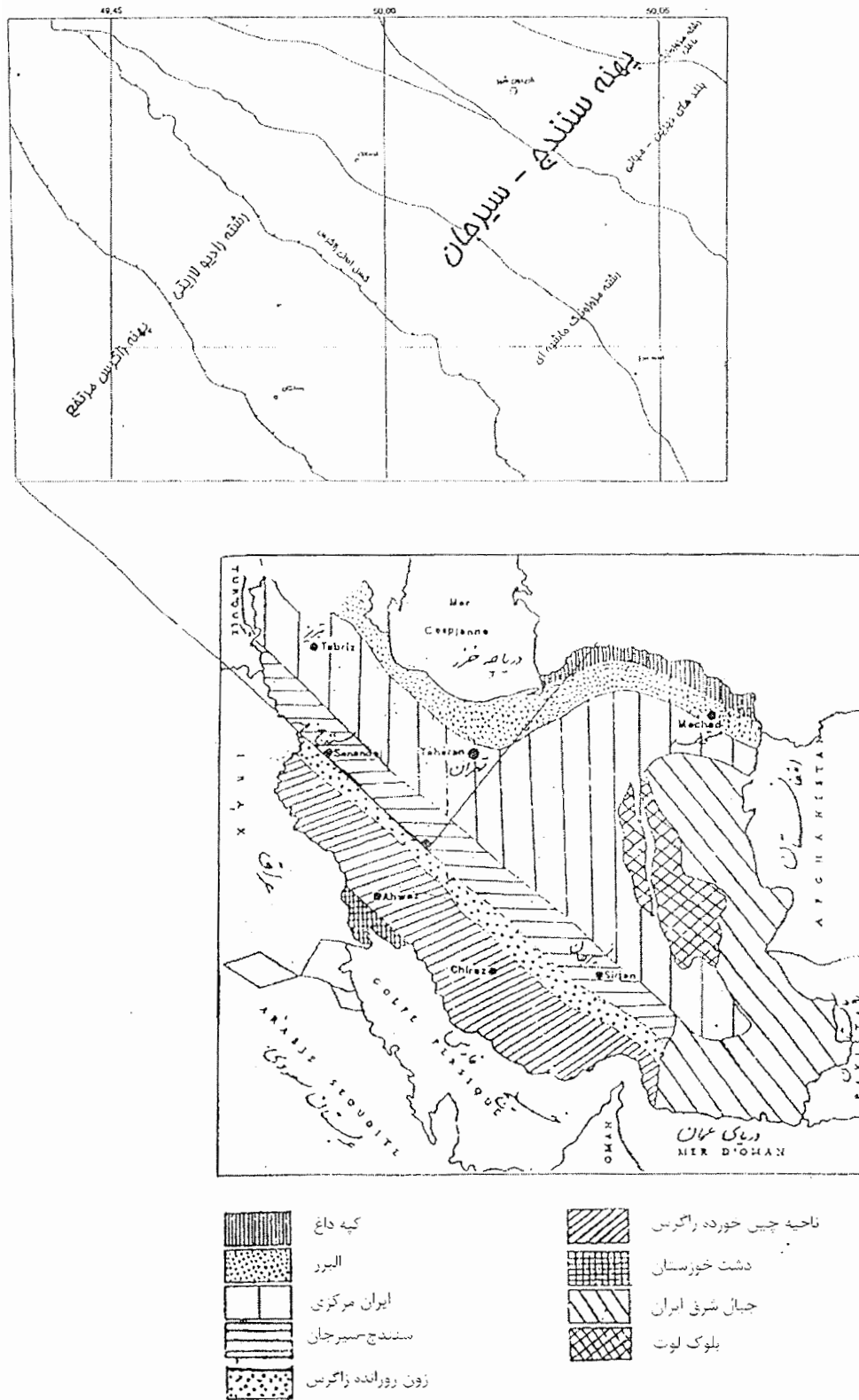
تشکیل شده اند. این رسوبات شامل مجموعه ای از سنگ آهک و ماسه سنگ، ماسه سنگ، شیل،

توف، و کنگلومرا هستند که معمولاً سطح هوازده فرمز رنگ دارند. بر روی این سکانس نیز آهک های

نازک تا متوسط لایه با میان لایه های مارن قرار گرفته اند. فسیلهای موجود در این رسوبات سن

دقیقی را نشان نمی دهند ولی از مجموعه آنها میتوان سن ژوراسیک پایانی - کرتاسه آغازین را به

[۱۵] این نهشته ها نسبت داد



شکل ۲-۱- موقعیت منطقه مورد مطالعه در نقشه تقسیمات ایران [۵]

۲-۳-زمین شناسی ساختمانی منطقه اجرای پروژه

گستره مورد مطالعه در لبه جنوب شرقی پهنه سندج - سیرجان و در حقیقت در حاشیه زمین درز یا راندگی اصلی زاگرس قرار گرفته است. به عبارت دیگر منطقه اجرای پروژه در پهنه زمین درز زاگرس در محدوده شکسته و خرد شده آن واقع شده است. به همین دلیل در دوره های مختلف زمین شناسی و بویژه از کرتاسه به بعد تنشهای وارد بر منطقه دگربریختی های ساختاری فراوانی را باعث شده است.

همانطور که عنوان شد دینامیسم تشکیل ساختارهای تکتونیکی و تغییرات مربوط به آنها را باقیستی با کوهزایی زاگرس که ناشی از حرکت همگرای خرد قاره های ایران و عربستان و فروزانش و متعاقب آن، برخورد آن دو دانست. بنابراین از آنجایی که تنشهای ناشی از این فرایند دارای امتداد شمالی - جنوبی تا شمال شرق - جنوب غربی است، بنابراین ساختمانهای ایجادشده نیز عمدها امتدادی شرقی غربی تا شمال شرق - جنوب غربی دارند. رفتار سنگهای ترد و شکل پذیر در مقابل تنشهای تفاوت اساسی دارند. سنگهای ترد پس از رسیدن تنش به حد گسیختگی، با یک شکست ناگهانی دچار جابجایی میشوند، در حالیکه در سنگهای شکل پذیر تغییر شکل توده و جریان مواد از جایی به جای دیگر، کرنش مورد نظر را تامین میکند. در نتیجه اشکال برجا مانده از تغییرات ساختاری در مناطق ترد معمولاً بصورت شکستگی های مشخص از نوع گسل و در مناطق شکل پذیر بصورت پهنه های برشی و یا تغییرات کوچک مقیاس مانند تورق (FOLIATION) و حرکت جزئی در بین لایه ها بصورت ریز گسله (MICRO FAULT) و یا ریز چین است.

با توجه به اینکه نهشته های موجود در ناحیه غالباً "از جنس آهک های رسی- مارنی" شکل پذیر بوده و سنی در حدود ژوراسیک تا کرتاسه بالا - یعنی زمانیکه نزدیک به شروع حرکات همگرایی - دارند، بیشتر تغییرات ساختاری بوجود آمده در ناحیه از نوع شکل پذیر (DUCTILE) بوده و کل منطقه بصورت یک پهنه تغییر شکل یافته و خرد شده دیده میشود. در این بین بخشها ای از ناحیه، دستخوش تغییرات شدیدتری شده و نواحی خردشده تری را بوجود آورده است. عوارض

ساختمانی موجود در منطقه را بطور کلی در سه بخش چین خوردگی ها، گسلها، و ریز ناپیوستگی ها می توان مورد بررسی قرار داد [۵].

۴-۲- هیدرولوژی

منطقه مورد مطالعه را از نظر هیدرولوژی می توان به دو بخش اصلی تقسیم نمود : منطقه آبدار و آهکی با سفره های آب نسبتاً "واسیع و حجم قابل ملاحظه آب، و منطقه کم آب با نفوذ پذیری پایین که جنس اغلب سنگهای آن آهک مارنی - رسی است. سنگهای آهکی فسیلدار و متبلور در بخشهای جنوبی منطقه (ارتفاعات شاهان کوه) به علت شکستگی های فراوان دارای آبگذری قابل توجهی هستند و بخشهای شمالی ناحیه بر خلاف قسمت های جنوبی آن بیشتر از آهک ها مارنی - رسی تشکیل شده که در برخی از قسمت ها پوشش نسبتاً "کم ضخامتی از آبرفت روی آنها را پوشانده است. هر چند تشکیلات سنگی منطقه از نظر تکتونیکی دارای شکستگی ها و خرد شدگی های فراوانی است لیکن به علت وجود رس در ترکیب اغلب آنها، میزان نفوذناپذیری تا حد قابل ملاحظه ای کاهش یافته است. در عین حال در برخی از قسمتها به علت افزایش اتحلال میزان نفوذناپذیری اندکی افزایش یافته است، اما به علت وجود بخشهای رس دار در این نهشته ها، هیچگاه سفره آب زیرزمینی با حجم قابل ملاحظه تشکیل نمیشود. سنگهای آهکی در بخشهای جنوبی منطقه با نفوذ پذیری بالا نقش مخزن ذخیره آب را برای چشممه خدنگستان و چشممه لنگان بازی میکند [۵].

۵-۲- میزان نفوذ پذیری واحدهای مختلف سنگی [۵]

با توجه به واحدهای سنگ - چینه ای که در مطالعات زمین شناسی طرح افزایش آب قبل انتقال چشممه لنگان تفکیک شده، واحدهای مزبور را از نظر نفوذپذیری می توان به سه دسته اصلی تقسیم کرد:

۱-۵-۲- واحدهای نفوذپذیر

سنگهای آهکی واحد JK^{LM_3} که در بخش‌های جنوبی منطقه رخنمون یافته اند، بیشترین حجم نهشته‌های نفوذپذیر را به خود اختصاص داده اند. این سنگها در حقیقت نقش مخزن ذخیره آب را برای چشمه‌های خدنگستان و لنگان بازی می‌کنند. درجه خلوص سنگهای آهکی و فراوانی بارش، بویژه بصورت برف، باعث تشدید پدیده کارست و در نتیجه پرشدن آب چشمه‌های مزبور گردیده است. از دیگر نهشته‌های نفوذپذیر منطقه می‌توان به واحدهای متعلق به عهد حاضر اشاره نمود:

واحدهای کنگلومرایی Q^T : پادگانه‌های آبرفتی قدیمی، Q^{T2} : پادگانه‌های جوان، Q^{cT} : خاکهای برجای درشت دانه، Q^F : محروم افکنه‌ها و Q^S : واریزها

۲-۵-۲- واحدهای با نفوذپذیری کم

واحد آهک - آهک مارنی JK^{LM_4} بواسطه کمتر بودن میزان رس در ترکیب نهشته‌ها و وجود باندهای آهکی خالص‌تر در طول رخنمون نسبت به تشکیلات مارنی - رسی دارای نفوذپذیری بالاتری است. چشمه‌های فصلی موقت و کم آبی در بخش‌های مختلف واحد، بویژه دامنه دره‌های خدنگستان و چشمه سرده دیده می‌شود. رسوبات کنگلومرایی پادگانه‌های آبرفتی قدیمی Q^{T1} در بخش‌های نسبتاً سیمانیتیه و نهشته‌های برجای ریزدانه Q^{FR} ، نیز از جمله بخش‌های دارای نفوذپذیری کم هستند.

۳-۵- واحدهای نفوذناپذیر

بالا رفتن میزان رس در سنگهای کربناته باعث کاهش قابلیت انحلال و در نتیجه کم شدن میزان نفوذ پذیری در آنها می‌گردد. واحدهای شیلی آهکی JK^{LSH_1} ، آهک - آهک مارنی JK^{LM_2} و مارنی - شیل آهکی JK^{ML_5} بدلیل غلبه بخش‌های مارنی - رسی عمدتاً "نفوذ ناپذیرند. بنابراین چشمه‌های کمتری در این بخشها دیده می‌شود. بخشی از چشمه‌های موجود در این نواحی در مرز بین رسوبات عهد حاضر و بخش‌های نفوذناپذیر زیرین، تشکیل شده اند.

۶-۲- چشمه خدنگستان

چشمه خدنگستان در منتهی الیه غرب گستردگی مورد مطالعه و در شمال دره میلگان واقع شده است. خروج آب در دیواره آبشار خدنگستان در رقوم ارتفاعی ۲۴۳۸/۵ متر از چند دهانه که تقریباً بر روی یک شکستگی تکتونیکی با امتداد شرقی - غربی قرار گرفته اند رخ داده است. سنگ مخزن چشمه را سنگهای آهکی کارستی واقع در ارتفاعات جنوبی منطقه تشکیل داده و ظهور چشمه در این محل، در اثر کنتاکت گسله واحدهای آهکی کارستی با آهکهای رس دار JK^{lm} اتفاق افتاده است. میزان آبدهی چشمه در فصول مختلف سال بین ۰/۲ تا ۵ متر مکعب اندازه گیری شده است [۵].

۷-۲- زمین شناسی مهندسی مخزن و ورودی تونل

از آنجایی که بند خدنگستان از نوع انحرافی بوده و صرفاً "نقش دیواره ای جهت انحراف آب از دره خدنگستان به داخل قطعه اول تونل را ایفا میکند، بنابراین دارای مخزن بسیار کوچکی است و بررسی و ملاحظات مهندسی مخازن سدهای بزرگ را نمی طلبد. مشخصات دریاچه عبارت است از :

حدود ۲۰ متر	حداکثر طول
حدود ۳۰ متر	حداکثر عرض
حدود ۴/۵ متر	حداکثر ارتفاع آب
حدود ۱۰۰۰ متر مکعب	حجم تقریبی

قطعه تونل به صورت نعل اسپی است. ارتفاع تونل ۵ متر و عرض آن نیز در کف تونل ۵ متر در نظر گرفته شده است. تونل با دیواره های صاف به یک سقف قوسی که قطعه ای از پوسته استوانه ای به شعاع ۲/۵ متر می باشد، متصل میگردد. ورودی تونل در انتهای مخزن و در مختصات جغرافیایی طول ۳۹۷۹۰۳/۰۵ و عرض ۳۶۳۹۶۵۵/۲۲ قرار گرفته است.

بررسی ریز ناپیوستگی ها و دسته درزه های اصلی در ناحیه ورودی تونل به علت خردشده تکتونیکی زیاد و هوازدگی فیزیکی، از نظر آماری امر دشواری است. با این وجود تعداد ۱۰۹ درزه به صورت اتفاقی از منطقه ورودی تونل برداشت شده است که مشخصات آنها به شرح ذیل است:

دسته اول : حدود ۲۰ درصد از کل ناپیوستگی های محدوده را بر گرفته است. ناپیوستگی های این دسته اغلب از نوع تورق است، ولی تعدادی درزه نیز با همین مشخصات دیده می شود.

شیب میانگین آنها حدود ۷۹ درجه به سمت ۱۹۰ N می باشد. تداوم ریز ناپیوستگیها کمتر از ۱ متر و فواصل تکرار در درزه ها ۶۰ سانتیمتر می باشد. سطح درزه ها صاف و نرم و سطح برگواره ها موج و نرم است. ولی در هر دو نوع، دیواره به شدت هوازده بوده و بازشده بوده اند که آنها (کمتر از ۳ میلیمتر) توسط رس و لای ضعیف پرشده است.

دسته دوم: با شیب و امتداد به ترتیب ۷۹ درجه و ۴۲ N حدود ۱۸ درصد از کل برداشتها را به خود اختصاص داده است. ناپیوستگی ها از نوع درزه بوده و دارای تداوم حدود ۵ متر و فاصله داری حدود ۰/۶ تا ۲ متر میباشند. سطح درزه ها صاف و زیر و کمی هوازده بوده و باز شدگی حدود ۰/۳ میلیمتری آن توسط رس و لای پرشده است [۵].

دسته سوم : ناپیوستگی ها از نوع برگوارگی بوده و دارای شیب و امتداد ۷۸ درجه و ۳۱۴ N می باشند. سایر خصوصیات آنها مشابه برگواره های دسته اول می باشد. (۱۰ درصد داده ها)

دسته چهارم : این دسته حدود ۷ درصد داده ها را در برگرفته اند. شیب این ناپیوستگی ها که از نوع برگوارگی هستند، حدود ۵۴ درجه به سمت ۱۶۳ N می باشد. خصوصیات، مشابه بخشهای قبلی است [۵].

۲-۸-زمین شناسی مهندسی مسیر خط انتقال خدنگستان

با استفاده از بررسی های زمین شناسی انجام شده در منطقه خدنگستان که منجر به تهیه نقشه و گزارش تحت همین عنوان شده است، و همچنین بررسی های گسترده صحرایی، مسیر خط انتقال آب خدنگستان به ۹ پهنه اصلی تقسیم شده، و خصوصیات مربوط به هر پهنه به صورت جداگانه آمده است. پارامترهایی مانند: خصوصیات سنگ چینه ای، ویژگی های تکتونیکی، وضعیت آبهای زیر زمینی و رو زمینی، ارتفاع روباره و همچنین ویژگی های ژئوتکنیکی توده سنگهای مسیر، برای هر پهنه بررسی شده است. یادآوری میشود که بررسی وضعیت درزه ها در این پهنه و در مقاطع عمود بر محور تونل درفصل بعدی آمده است [۵].

۲-۸-۱-زمین شناسی مهندسی کیلومتر ۰+۰۰۰ الی ۰+۱۹۰ (پهنه A)

این محدوده بیشتر از سنگهای آهکی نازک لایه (بخش بالایی واحد JK^{LM^3}) و آهکهای مارنی - رسی واحد JK^{LM^4} تشکیل شده است. سنگ آهکهای نازک لایه که در سطح تازه به رنگ خاکستری روشن تا کرم و در سطح هوازده به رنگ خاکستری روشن دیده میشود، مجموعه درهم ریخته و خردشده ای است که به سمت شمال بر میزان رس آن افزوده میشود و در نهایت به آهکهای مارنی - رسی متناوب با آهکهای ماسه ای تبدیل میگردد.

در این بخش میزان روباره تونل با پیشروی افزایش یافته و نهایتا در بخش انتهایی به حدود ۱۵۰ متر میرسد.

وجود مواد بشکل پذیر (DUCTILE) در ترکیب سنگ شناسی منطقه و شدت تغییرات ساختاری، کل محدوده ورودی تونل را به صورت یک پهنه برشی آورده است. بواسطه پوشیده بودن رخمنون های سنگی و تاثیر فراوان هوازدگی مکانیکی در خرد نمودن سنگهای سطح زمین، مطالعات ریز ناپیوستگی ها در سطح، با دشواریها و خطاهای فراوانی روبروست. ریز ناپیوستگیها بیشتر از نوع برگوارگی هستند [۵].

۲-۸-۲- زمین شناسی مهندسی کیلومتر ۱۹۰+۰۰+۱ (پهنه B)

قسمت اعظم قطعه اول تونل انتقال در این پهنه قرار گرفته است. بیشترین میزان روباره در این پهنه معادل ۳۴۰ متر می باشد. تمامی مسیر انتقال در این پهنه از آهک ها و آهک های مارنی - رسی واحد JK^{LM}_4 عبور می نماید. سنگ شناسی این واحد، شامل تناوبی است از آهک های مارنی - رسی، آهک و آهک های ماسه ای.

ضخامت لایه های آهکی و آهک ماسه ای تا حد بیش از ۲ متر نیز میرسد. در حالیکه ضخامت باند آهک مارنی - رسی بسیار بیشتر بوده و حتی به بیش از ۱۵ متر نیز میرسد. آهک مارنی - رسی به عنوان بافت اصلی سنگ شناسی منطقه، در سطح هوازده خاکستری تیره تا سیاه و در سطح تازه به رنگ خاکستری است. بخشهايی از این واحد نیز به علت افزایش رس در ترکیب سنگ به صورت شیل آهکی دیده میشوند.

از سمت غرب به شرق با دور شدن از ورودی تونل ضمن کاهش نسبی درهم ریختگی ها فاصله بین لایه های آهکی نیز افزایش می یابد، بطوریکه در بخشهاي شرقی بر خلاف بخشهاي غربی، لایه های آهکی دربرخی قسمتها دارای شیب و امتداد مشخص و قابل اندازه گیری هستند. مشخصات هندسی این لایه ها $NW/50E$ بdst آمده است.

دو گسل F15 و F6 با ساز و کار معکوس به ترتیب در حوالی متراز ۹۵۰ و ۱۷۰۰ از ورودی تونل احتمالا" با مسیر تونل برخورد می نمایند. گسل F6 با امتداد تقریبی $N80E$ و گسل F15 با امتداد تقریبی شرقی-غربی میباشد. تاثیر این گسلها به صورت تشديد برگوارگی ها و تشديد و تعميق هوازدگی خواهد بود.

همچنین جابجایی هایی نیز دربخشهاي آهکی و آهک ماسه ای خواهد داشت. در این پهنه مشخصات درزه ها به علت تغییرات ساختاری فراوان در ناحیه، در چهار ایستگاه مختلف در مسیر تونل برداشت و در جدول ارایه گردیده که در فصل بعدی به بررسی آنها و پیدا کردن شیب ظاهری آنها در امتداد عمود بر محور تونل پرداخته میشود. کیفیت سنگهای بستر تونل در پهنه B در حد نسبتا"

خوبی قرار دارد. در بخش‌های آهک مارنی - رسی به علت افزایش مقاومت سنگ - بویژه در قستهایی که رگه‌های کلسیتی تراکم بیشتری دارد، چون رگه‌های کلسیتی باعث افزایش مقاومت می‌شود - شاخص کیفی وضعیت مطلوب تری دارد.

به غیر از قسمت خروجی تونل در قطعه اول که میزان روباره به شدت کاهش می‌یابد، در سایر قسمتهای این پهنه احتمال برخورد با نواحی هوازده در مسیر تونل در حد ضعیفی است.

به علت وجود رس در ترکیب سنگهای کربناته این ناحیه، میزان نفوذ پذیری و انحلال سنگها به شدت کاهش یافته و بنا براین توسعه آبهای زیرزمینی به بخش‌های هوازده سطحی محدود شده و پدیده کارست به صورت عمده قابل مشاهده نیست، بنابر این نفوذ آب به تونل بسیار ناچیز بوده و به ندرت به بیش از چند دهم لیتر در ثانیه خواهد رسید [۵].

۳-۸-۲- زمین‌شناسی مهندسی کیلومتر ۱+۷۹۰ الی ۲+۶۴۵ (پهنه C)

این پهنه به علت کاهش میزان روباره تونل، در طرح اولیه به صورت ناو کانال در نظر گرفته شده است. بر اساس این طرح ناو کانالی با طول ۱۲۵۰ و ابعاد $2\frac{1}{4} \times 3\frac{1}{4}$ (عرض کف \times عمق) با دیواره‌های قائم، انتقال آب در این بخش را به عهده گرفته است و سنگ بستر ناو کانال در سرتاسر مسیر از نهشته آهک - آهک مارنی واحد JK_4^{LM} می‌گذرد. سنگ‌شناسی واحد در این قسمت تنابوی از آهک مارنی - رسی و آهک است. بخش‌های آهکی دارای پهنانی در حدود یک تا سه متر و بخش‌های مارنی - رسی بین ۵ تا ۲۰ متر ضخامت دارند.

امتداد لایه بندی تقریباً شرقی - غربی بوده و شبیه متغیری بین ۴۵ تا ۷۰ درجه دارد. از گسلهای مهم موجود در این پهنه می‌توان به گسلهای F7 ، F8 ، F21 اشاره نمود [۵].

۴-۸-۲- زمین شناسی مهندسی کیلومتر ۶۴۵ + ۲۱۰ الی ۳+۸۱۰ (پهنه D)

این پهنه حد فاصل ورودی قطعه سوم خط انتقال تا محل گسل F10 را در برگرفته است. با پیشروی تونل از ورودی قطعه سوم به سمت خروجی بر میزان روباره افزوده شده، نهایتاً "در متراژ ۷۴۰ متر از ابتدای پهنه D به ۲۴۰ متر روی تونل خواهد رسید.

تمامی مسیر پهنه D از آهک مارنی - رسی واحد JK_4^{LM} میگذرد. سنگ شناسی واحد در این قسمت، شامل تناوبی از رسوبات آهک مارنی - رسی و آهک است. امتداد عمومی لایه ها شرقی - غربی و شیب لایه ها بین ۳۰ تا ۸۰ درجه متغیر است که به سمت شمال است.

گسل F21 با ساز و کار راندگی باعث رانده شدن بخشی از واحد JK_4^{LM} روی خودش شده است و محدوده ورودی قطعه سوم را تحت تاثیر قرار داده است. شیب این گسل در حدود ۳۴ درجه می باشد.

گسل F10 مرز واحدهای آهک مارنی - رسی و شیل آهکی را تشکیل میدهد که در حدود ۴۹ درجه به سمت شمال شیب دارد. محل تقاطع این گسل با محور تونل در متراژ حدود ۱۱۵۰ متر از ورودی قطعه سوم خواهد بود.

بر اساس بررسی های روزمینی، شاخص کیفی سنگ در این پهنه را میتوان در حد نسبتاً خوب تا خوب دانست. از نظر وجود آب هر چند درزه و شکستگی های فراوانی در این قسمت درسنگها دیده میشود، اما به علت وجود رس در ترکیب نهشته ها امکان تشکیل سفره های آب زیرزمینی در حد پایینی است، زیرا اولاً "درز و شکستگی ها کاملاً" به هم مرتبط نیستند و ثانیاً "اکثر سنگهای موجود دارای قابلیت انحلال بسیار پایینی است و بنابراین خطری از جانب آبهای زیرزمینی و هجوم آنها به داخل تونل پروژه را تهدید نمی کند [۵].

۲-۸-۵- زمین شناسی مهندسی کیلومتر ۳+۸۱۰ الی ۶+۵۸۰ (پهنه E)

سنگ شناسی این واحد شامل آهکهای مارنی - رسی و شیلهای آهکی است که در بخشهایی که میزان ترکیبات کربناته افزایش یافته و لیتولوژی به سمت مارن سنگ گرایش یافته است، رسوبات به صورت موضعی به رنگ سفید تا سفید شیری دیده میشود. بیشترین میزان روباره در این پهنه در حدود ۲۱۰ متر میباشد. برگواره ها معمولاً در این پهنه به موازات لایه بندی بوده و امتداد شرقی - غربی و شبیه معادل ۵۵ تا ۸۰ درجه دارند. بین لایه های آهکی و آهک ماسه ای با پهنتای حدود ۵ متر در بین واحدها دیده می شود.

گسل F19 با امتداد حدود ۳۸ / N75E در حوالی کیلومتر ۵۲۵ مسیر خط انتقال قرار گرفته است. ساز و کار گسل راندگی بوده و با شیب حدود ۳۸ درجه باعث رخداد جابجایی در واحد

$JK^{LM_{ss}}$ شده است.

گسل F25 هم از انشعابات گسل F19 است و دارای خصوصیاتی شبیه به آن است که در متراژ ۵۳۰۰ با تونل برخورد میکند.

گسل F27 با امتداد N05E در کیلومتر ۵+۸۵۰ قرار گرفته است گسل F17 نیز با امتداد N25W / 48

با توجه به بررسی های روزمینی و مقایسه وضعیت سنگ با سایر نواحی مشابه که مورد کاوشهای ژئوفیزیکی واقع شده اند، شاخص کیفی سنگ را در این پهنه می توان در حد نسبتاً "خوب" دانست. سنگ بستر اصلی، همانطور که گفته شد، از جنس آهک رسی - مارنی و شیل آهکی خرد شده است که بین لایه هایی از جنس آهک و آهک ماسه ای، در آنها دیده می شود. پهنه E نیز مانند سایر بخشهای ناحیه به علت وجود رس در ترکیب سنگها دارای نفوذ پذیری پایینی می باشد [۵].

۲-۸-۶- زمین شناسی مهندسی کیلومتر ۶+۵۸۰ و ۶+۷۰۰ (پهنه F)

پهنه F در حد فاصل گسلهای F33 و F17 واقع در قطعه پنجم مسیر خط انتقال (EF) با طول حدود ۱۲۰ متر قرار گرفته است. بیشترین میزان روباره تونل در این پهنه حدود ۱۰۰ متر خواهد بود. تمام پهنه F مسیر خط انتقال، از نهشته های مربوط به واحد JK^{LSH} می گذرد. سنگ شناسی این واحد شامل شیلهای آهکی خاکستری تیره تا سیاه رنگی است که بین لایه های از ماسه سنگ و ماسه سنگ آهکی به رنگ خاکستری تا قهوه ای روشن و آهک به رنگ خاکستری روشن تا کرم در آنها دیده میشود.

مشخصات لایه های اندازه گیری شده در حوالی محور مسیر خط انتقال در حدود N45-90W و ۷۰- ۵۰ NE می باشد.

گسل F17 با ساز و کار راندگی دارای امتداد و شیب N25 W / 48NE می باشد که مرز پهنه های E,F است. گسل F33 با راستای تقریبی N20E به موازات دره خرسناک قرار گرفته است. این گسل دارای ساز و کار امتداد لغز از نوع چپ بر بوده و شیب نزدیک به قائم دارد. کیفیت سنگ در حد ضعیف تخمین زده شده است. نهشته های شیلی این واحد دارای پایین ترین حد آبگذری در میان نهشته های تشکیل دهنده مسیر خط انتقال هستند. بنابراین امکان نفوذ آب به داخل این واحد و در نتیجه ورود به مقطع حفاری در حد بسیار ضعیفی است [۵].

۲-۸-۷- زمین شناسی مهندسی کیلومتر ۸+۴۶۰ و ۸+۴۶۰ (پهنه G)

پهنه G در حد فاصل دو گسل F33 در غرب (۶۷۵۰ متر) و F18 در شرق (متراژ ۸۴۶۰) قرار گرفته است و در حقیقت بخش اعظم قطعه پنجم و قسمت کوچکی از قطعه ششم را دربرگرفته است. بیشترین میزان روباره در این پهنه در متراژ ۷۰۵۰ و حدود ۱۲۰ متر است. سنگ بستر این پهنه از مسیر خط انتقال را نهشته های واحد JK^{ML} تشکیل داده است. سنگ شناسی این واحد بیشتر شامل شیل های کربناته و مارن سنگها و آهکهای مارنی خاکستری

روشن است. امتداد عمومی لایه بندی در این بخش نیز شرقی - غربی و دارای شیب ۸۰ تا ۵۵ درج به سمت شمال است.

گسل F18 به عنوان مرز پهنه های H, G دارای مشخصات N30 W/50 NE می باشد. در این پهنه نیز با توجه به جنس نهشته های بستر تونل که از سنگ آهکهای مارنی، مارن سنگهای آهکی و شیل های آهکی تشکیل شده است و با توجه به وجود رس در ترکیبات سنگهای کربناته فوق، استعداد احلال این سنگ ها تا حد بسیار زیادی کاهش یافته و احتمال وجود آبهای زیرزمینی در این سنگها را می توان منتفی دانست [۵].

۲-۸-۸-۲- زمین شناسی مهندسی کیلومتر ۸+۴۶۰ الی ۹+۱۷۰ (پهنه H)

این پهنه در حد فاصل گسلهای F18 (حوالی کیلومتراز ۸۴۶۰) و F46 (حوالی کیلومتراز ۹۱۷۰) قرار دارد.

بیشترین میزان روباره در طول این مسیر پهنه معادل ۷۵ متر است که در ابتدای پهنه قرار گرفته است. سنگ بستر این پهنه را نهشته های واحد JK^{LSH} تشکیل می دهد. سنگ شناسی این واحد شامل شیل و مارن سنگها ی آهکی است که بین لایه هایی از جنس آهک، آهک مارنی و ماسه سنگ آهکی در آن ها دیده میشود. مشخصات لایه بندی آهک در این پهنه N65-90W/35-60N باشد.

گسل F46 از نوع معکوس بوده و دارای امتداد و شیب ۸۰ - ۳۰ / E می باشد. سنگهای این پهنه بر اساس مطالعات انجام شده در حد ضعیف میباشند. وجود رس در ترکیب سنگهای فوق و همچنین پرشدن شکاف های بین ریز ناپیوستگیها توسط رس بر میزان ناپایداری افزوده است. آبگذری این واحد بدلیل وجود رس در ترکیب سنگها بسیار کم است [۵].

۲-۸-۹- زمین شناسی مهندسی از کیلومتر ۱۷۰+۹۰ تا ۱۱+۲۶۰ (پهنه I)

این پهنه حد فاصل گسل F46 در غرب و دره چشمه لنگان در شرق می باشد که این پهنه بخش انتهایی قطعه ششم مسیر خط انتقال (FG) و تمامی قطعه هفتم (GH) را در برگرفته است. بیشترین مقدار روباره مربوط به کیلومتر ۳۵۰+۹۰ بوده و حدود ۶۰ متر میباشد.

سنگ بستر تونل در این پهنه غالبا از سنگ آهکهای مارنی - رسی شیلهای آهکی واحد JK^{ML} می باشد. مشخصات لایه های آهکی در این پهنه عموما "N 80 - 55 - W - E" می باشد. گسل F46 که مرز پهنه های H,I می باشد و در قسمت قبل مشخصات آن ذکر شد. گسل F47 با ساز و کار امتداد لغز چپ بر شیبی نزدیک به قائم دارد و امتداد آن در محل برخورد با مسیر خط انتقال N40E میباشد. گسل مزبور به غیر از خرد شدگی و در هم ریختگی ساختاری که در دهانه خروجی قطعه ششم و ورودی قطعه هفتم ایجاد نموده، تاثیر ویژه دیگری ندارد.

آهک های مارنی - رسی و مارنهای آهکی که سنگ بستر این پهنه را تشکیل داده است، بر اساس بررسی های روزمینی و در نظر گرفتن وضعیت سنگ شناسی، در حد نسبتا" خوب تخمین زده میشود [5].

فصل سوم

وضعیت درزه ها و

آزمایشهای انجام شده روی نمونه ها

۱-۳ - مقدمه

در پروژه های تونل‌سازی، ارزیابی موقعیت و تعداد ناپیوستگی‌ها نقش مهمی را در تحلیل پایداری تونل و طراحی های لازم جهت تعیین سیستم نگهداری دائم و موقت ایفا می‌کند. با توجه به طول حدود ۱۲ کیلومتری خط انتقال آب خدنگستان در ایستگاههای مختلف در طول مسیر، دسته درزه های گوناگونی با شیب و امتداد و خصوصیات متفاوت برداشت شده است. این مشخصات شامل امتداد و شیب حقیقی ناپیوستگی‌ها و لایه بندی هستند که جهت بررسی پایداری تونل باید ابتدا شیب ظاهری این ناپیوستگیها در امتداد عمود بر محور تونل یعنی در سینه کارها محاسبه شود و سپس از آنها استفاده گردد.

در این فصل ابتدا وضعیت درزه ها در سینه کارهای مختلف مشخص شده و سپس نتایج آزمایش‌های ژئوتکنیکی انجام شده روی نمونه های گرفته شده از مسیر تونل، آورده شده است. بر روی مسیر تونل انتقال آب خدنگستان، شش گمانه حفر شده و مغزه گیری شده که در ادامه مشخصات آنها آمده است.

۲-۳ - وضعیت درزه ها در سینه کارها (مقاطع عمود بر محور تونل)

همانطور که در فصل قبل مشاهده گردید، از نظر زمین شناسی مسیر تونل به ۹ پهنه تقسیم شد. مشخصات ناپیوستگی ها نیز در این ۹ پهنه و در ایستگاههای مختلف آنها اندازه گیری و ثبت شده است.

جهت استفاده از این دسته درزه ها و لایه بندی ها در تحلیل پایداری تونل ابتدا باید شیب ظاهری آنها در مقاطع مورد نظر که عمود بر محور تونل است، محاسبه گردد. جداول صفحات بعدی این مشخصات را بهمراه محاسبات مربوطه نشان میدهد [۵].

جدول ۱-۳- مشخصات دسته درزه های اصلی در قسمت های مختلف مسیر تونل [۶]

Part	شیب ظاهری $d=172$	فاصله داری (m)	نداوم (m)	موقعیت فضایی	درزه ها و لایه ها
Part 1	۷۸	۰/۶ - ۲	۳ - ۱۰	۱۹۰ / ۷۹	درزه ۱ (J1)
	۰+۰۰۰	۳۷	۰/۶ - ۱	۳ - ۱۰	۰۳۵ / ۴۵
	الى	۳۰	۰/۶ - ۲	۳ - ۱۰	۰۷۱ / ۶۹
	۰+۰۵۰	۵۰	۱۵ و ۲	-	۳۵۵ / ۵۰
Part 2,3	۶۱	۰/۶ - ۲	۳ - ۱۰	۰۱۶ / ۶۳	درزه ۱ (J1)
	۰+۰۵۰	۷۸	۰/۶ - ۱	۱ - ۱۰	۲۲۶ / ۸۲
	الى	۳۰	۰/۶ - ۲	۱ - ۱۰	۰۷۱ / ۶۹
	۰+۰۹۰	۵۰	۱۵ و ۲	-	۳۵۵ / ۵۰
Part 4,5	۵۹	۰/۶ - ۲	۳ - ۱۰	۲۳۹ / ۷۶	درزه ۱ (J1)
	۰+۰۹۰	۸۷	۰/۶ - ۲	۱۰ - ۲۰	۱۰۴ / ۱۹
	الى	۲۳	۰/۶ - ۲	> ۲۰	۳۰۰ / ۲۳
	۱+۰۹۰	۵۰	۱۵ و ۲	-	۳۵۵ / ۵۰
Part 6	۵۲	۰/۶ - ۲	۳ - ۱۰	۰۳۶ / ۶۰	درزه ۱ (J1)
	۱+۰۹۰	۴۵	۰/۶ - ۲	۱ - ۱۰	۲۵۷ / ۴۵
	الى	۷۴	۰/۶ - ۲	۳ - ۱۰	۲۴۹ / ۷۴
	۲+۰۱۵	۵۰	۱۵ و ۲	-	۳۵۵ / ۵۰
Part 7	۸	۰/۶ - ۲	۳ - ۱۰	۰۶۰ / ۱۹	درزه ۱ (J1)
	۲+۰۱۵	۸۷	۰/۶ - ۲	۳ - ۱۰	۲۴۳ / ۸۹
	الى	۱۸	۰/۶ - ۲	> ۲۰	۰۷۲ / ۵۸
	۲+۰۲۵	۴۵	۱۵ و ۲	-	۳۵۵ / ۴۵

Part	دistanse ظاهري $d = 25$	فاصله داری (m)	تداوم (m)	موقعیت فضایی	درزه ها و لایه ها
Part 8	۳۳	۰/۶ - ۲	۳ - ۱۰	۱۵۰ / ۴۹	درزه ۱ (J1)
۲+۵۴۵	۱۴	۰/۶ - ۲	۳ - ۱۰	۱۸۷ / ۱۱۵	درزه ۲ (J2)
الى	۸۴	۰/۶ - ۲	۳ - ۱۰	۳۴۷ / ۸۵	درزه ۳ (J3)
۲+۷۴۵	۲۸ - ۷۹	۱۵ و ۵	-	۰ / ۱۳۰ - ۸۰	لایه بندی
Part	دistanse ظاهري $d = 25$	فاصله داری (m)	تداوم (m)	موقعیت فضایی	درزه ها و لایه ها
Part 9	۵۶	۰/۶ - ۲	۳ - ۱۰	۰/۱۹ - ۵۶	درزه ۱ (J1)
۲+۷۲۵	۶۱	۰/۶ - ۲	-	۲۴۵ / ۶۷	درزه ۲ (J2)
الى	۸۸	۰/۶ - ۲	۳ - ۱۰	۹۰ / ۹۰	درزه ۳ (J3)
۲+۷۷۰	۷۱ - ۷۹	۱۵ و ۵	-	۰ / ۱۳۰ - ۸۰	لایه بندی
Part	دistanse ظاهري $d = 25$	فاصله داری (m)	تداوم (m)	موقعیت فضایی	درزه ها و لایه ها
Part 10	۹۰	۰/۶ - ۲	۳ - ۱۰	۰/۱۱ - ۹۰	درزه ۱ (J1)
۳+۷۷۰	۵۹	۰/۶ - ۲	۳ - ۱۰	۰/۱۶۴	درزه ۲ (J2)
۳+۸۷۰	۵۳ - ۷۹	۱۵ و ۵	-	۰ / ۱۵۵ - ۸۰	لایه بندی
Part	دistanse ظاهري $d = 25$	فاصله داری (m)	تداوم (m)	موقعیت فضایی	درزه ها و لایه ها
Part 11	۷۸	۰/۶ - ۲	۳ - ۱۰	۰/۳۹ - ۷۹	درزه ۱ (J1)
۳+۸۷۰	۵۵	۰/۶ - ۲	-	۰/۱۱۷ - ۶۸	درزه ۲ (J2)
الى	۶	۰/۶ - ۲	۳ - ۱۰	۲۸۶ / ۳۵	درزه ۳ (J3)
۳+۸۳۰	۵۳ - ۷۹	۱۵ و ۵	-	۰ / ۱۵۵ - ۸۰	لایه بندی
Part	دistanse ظاهري $d = 25$	فاصله داری (m)	تداوم (m)	موقعیت فضایی	درزه ها و لایه ها
Part 12	۷۸	۰/۶ - ۲	۳ - ۱۰	۱۹۵ / ۷۹	درزه ۱ (J1)
۳+۸۳۰	۳۳	۰/۶ - ۲	۳ - ۱۰	۱۱۸ / ۷۱	درزه ۲ (J2)
۵+۰۳۰	۲۴ - ۷۷	۱۵ و ۲	-	۰ / ۱۳۰ - ۸۰	لایه بندی
Part	دistanse ظاهري $d = 25$	فاصله داری (m)	تداوم (m)	موقعیت فضایی	درزه ها و لایه ها
Part 13	۸۴	۰/۶ - ۲	۱ - ۳	۰/۳۱ - ۸۴	درزه ۱ (J1)
۵+۰۳۰	۷۴	۰/۶ - ۲	-	۰ / ۱۷۹	درزه ۲ (J2)
۶+۱۰۰	۳۴	۱۵ و ۵	-	۳۴۲ / ۵۲	لایه بندی

ادامه جدول ۱-۳- مشخصات دسته درزه های اصلی در قسمت های مختلف مسیر تونل [۶]

Part	شیب ظاهری $d = 4\%$	فاصله داری (m)	تداوم (m)	موقعیت قصابی	درزه ها و لایه ها
Part 14,15,16	۶۶ $6+100$	۰/۶ - ۲	۱۰ - ۲۰	۱۶۴ / ۷۶	درزه ۱ (J1)
	۲۲ $6+89$	۰/۶ - ۲	۱ - ۲	۰۵۲ / ۳۱	درزه ۲ (J2)
الى	۲۲ $8+190$	۰/۶ - ۲	۱ - ۲	۳۳۰ / ۵۰	درزه ۳ (J3)
	۳۶ $8+89$	۱۵ و ۵	-	۳۴۲ / ۵۲	لایه بندی
Part	شیب ظاهری $d = 1\%$	فاصله داری (m)	تداوم (m)	موقعیت قصابی	درزه ها و لایه ها
Part 17	۶۳ $6+89$	۰/۶ - ۲	۳ - ۱۰	۲۱۸ / ۶۵	درزه ۱ (J1)
	۷۱ $8+210$	۰/۶ - ۲	۳ - ۱۰	۱۵۴ / ۷۷	درزه ۲ (J2)
الى	۴۳ $8+210$	۱۵ و ۵	-	۰۲۴ / ۴۶	لایه بندی
Part	شیب ظاهری $d = 2\%$	فاصله داری (m)	تداوم (m)	موقعیت قصابی	درزه ها و لایه ها
Part 18,19,20	۲ $8+210$	۰/۶ - ۲	۱۰ - ۲۰	۱۲۰ / ۴۸	درزه ۱ (J1)
	۷۷ $8+285$	۰/۶ - ۲	۳ - ۱۰	۰۸۰ / ۸	درزه ۲ (J2)
الى	۸۴ $10+285$	۰/۶ - ۲	۳ - ۱۰	۲۹۳ / ۹۰	درزه ۳ (J3)
	۵۷ $10+285$	۱۵ و ۵	-	۰۲۵ / ۵۷	لایه بندی
Part	شیب ظاهری $d = 2\%$	فاصله داری (m)	تداوم (m)	موقعیت قصابی	درزه ها و لایه ها
Part 21	۸۹ $10+285$	۱ - ۳	۳ - ۱۰	۰۰۷ / ۹۰	درزه ۱ (J1)
	۷۴ $10+485$	۰/۶ - ۲	۳ - ۱۰	۰۲۳ / ۶۱	درزه ۲ (J2)
الى	۵۰ - ۷۸ $10+485$	۱۵ و ۵	-	۰ / ۵۵ - ۸۰	لایه بندی
Part	شیب ظاهری $d = 3\%$	فاصله داری (m)	تداوم (m)	موقعیت قصابی	درزه ها و لایه ها
Part 22 , 23	۵۴ $8+71$	۰/۶ - ۲	۳ - ۱۰	۳۴۶ / ۶۳	درزه ۱ (J1)
	۸۵ $10+285$	۰/۶ - ۲	۳ - ۱۰	۱۸۲ / ۸۲	درزه ۲ (J2)
الى	۵۰ - ۷۸ $10+285$	۱۵ و ۵	-	۰ / ۵۵ - ۸۰	لایه بندی

۳-۳- گمانه های حفر شده در مسیر تونل

بر روی مسیر تونل انتقال آب خدنگستان، شش گمانه حفر شده است. گمانه A BK1-A بر روی قطعه ششم، گمانه 1 BK1 و 2 BK2 بر روی قطعه پنجم، گمانه 3 BK3 و 4 BK4 بر روی قطعه چهارم و گمانه 6 BK6 بر روی قطعه سوم حفاری شده اند. مشخصات گمانه های مذکور در جدول ۲-۳ آمده است:

جدول ۲-۳- مشخصات گمانه های حفر شده در طول مسیر [۶]

RQD (%)	ارتفاع دهانه گمانه (متر)	عمق (متر)	عمق آب زیرزمینی (متر)	عمق آبرفت (متر)	مطالعه گمانه از عمق	مطالعه گمانه	
۷۰	۲۴۳۷/۶۹	۳۵/۰۰	۶/۵-۶/۹	۴	۲۵	۱۸	BK1-A
۶۰	۲۴۶۰/۹۷	۵۷/۰۰	۱۸-۱۹	۹	۵۷	۲۷	BK1
۴۰	۲۴۸۳/۰۰	۷۷/۲۰	۶/۲-۷	۶	۷۷/۲	۴۷	BK2
۶۰	۲۵۰۷/۳۵	۱۰۴/۰۰	۳۳/۵-۳۴	۴۲/۸	۱۰۴	۷۴	BK3
۶۵	۲۵۱۸/۱۲	۱۱۱/۱۰	۴/۵-۶	۲۰/۴۰	۱۱۱/۱	۸۱	BK4
۶۰	۲۵۱۲/۷۵	۱۱۸/۲۰	۸/۵	۴-۶	۱۱۸/۲	۸۸	BK6

۴-۳- آزمایشات لوزان

جهت شناسایی وضعیت نفوذ پذیری توده های سنگی در ترازهای مختلف گمانه ها، توسط شرکت مشاور، اقدام به انجام آزمایش لوزان با روش سینگل پکر^۱ در حین حفاری شده است، که نتایج غالباً مبنی بر نفوذ پذیری بسیار کم است. بر اساس نتایج بدست آمده از آزمایشات لوزان در تمام گمانه ها می توان اینطور استنباط کرد که در تمام طول مسیر تونل بدلیل عبور آن از تشکیلات سنگ

1- Single Pocke

آهک مارنی و بسته بودن درزه ها بوسیله رس یا کلسیت نفوذپذیری بسیار پایین میباشد و لذا میتوان امیدوار بود که در مسیر تونل با هجوم ناگهانی آب برخورد نخواهد شد. از نتایج آزمایشات لوژان در عمق های کم می توان به این نتیجه رسید که آبهای زیرسطحی منطقه کلا" در لایه آبرفت رویی و قسمت های هوازده و ضعیف رویی سنگ بستر در جریان است و با توجه به نتایج بدست آمده و جنس غالب سنگ موجود (سنگ آهک مارنی) به هیچ عنوان نمی توان انتظار وجود شبکه های هدایت آب زیرزمینی (کارست) را در منطقه عبور تونل پیش بینی نمود. نتایج آزمایشات لوژان در گمانه های مختلف در قسمت پیوست آمده است [۶].

۳-۵- آزمایشات آزمایشگاهی

جهت شناسایی خصوصیات ژئوفیزیکی نمونه های بکر سنگ، از مغزه های اخذ شده از گمانه های حفر شده، شرکت مشاور نمونه برداری کرده و پس از موم اندود کردن به آزمایشگاه ارسال و آزمایشهای لازم را روی آنها انجام داده است. به لحاظ اینکه کلیه نقاط حفاری شده دارای یک لیتولوژی واحد می باشد و گزارشها زمین شناسی نیز این مطلب را تایید می کند، نتایج بدست آمده را میتوان برای کلیه نقاط تعیین داد.

آزمایشهای انجام گرفته به شرح ذیل است [۶]:

۳-۱-۵- اندازه گیری خصوصیات فیزیکی

نتایج حاصل از آزمایشات اندازه گیری خصوصیات فیزیکی در جدول ۳-۳ به تفضیل آمده است و جهت انجام محاسبات و مطالعات بعدی از اعداد ارائه شده در سطر آخر این جدول با عنوان "نتیجه میتوان بهره جست. نتایج اخذ شده گویای این مطلب است که سنگ بکر دارای تخلخل نسبتاً" کم به مقدار ۳ درصد بوده، محیط مرطوب و با توجه به جنس سنگ می توان نفوذ پذیری توده سنگ و سنگ بکر را بسیار ناچیز عنوان کرد.

۲-۵-۳- اندازه گیری مدول یانگ

پس از حذف نمونه های دارای خطأ، نتایج اخذ شده گویای این مطلب است که محیط دارای سنگی با مدول الاستیسیته در حالت بکر نزدیک به ۱۸۹۰۰۰ کیلوگرم بر سانتیمتر مربع (۱۸/۹ گیگا پاسکال) می باشد. لازم به ذکر است که این مقدار مربوط به سنگ بکر می باشد و برای توده سنگ در ادامه مطالعات مقدار مدول الاستیسیته بر اساس شرایط محیط و طبقه بندی انجام شده از توده سنگ برآورد و ارائه خواهد شد.

۳-۵-۳- اندازه گیری ضریب پواسون

بر اساس نتایج بدست آمده از آزمایشات انجام شده، مقدار ضریب پواسون برای نمونه های موجود مابین ۰/۱۵ و ۰/۲۷ می باشد. پس از بررسی نمونه ها از لحاظ کیفیت و بررسی جداول مرجع عدد ۰/۲۰ جهت انجام محاسبات بعدی پیشنهاد می گردد.

۴-۵-۳- تورم آزاد و فشار تورمی

جهت شناسایی نمونه ها از لحاظ تورم از سه گمانه BK6 و BK3 و BK1-A نمونه برداری شده و به دو روش تورم آزاد و فشار تورمی آزمایش انجام گردید که شرح آن در جدول ۴-۳ آمده است:

جدول شماره ۴-۳- نتایج آزمایش فشار تورمی [۶]

تورم آزاد	فشار تورمی	عمق (m)	گمانه
فاقد تورم	فاقد تورم	۱۶/۶-۱۶/۹	Bk 1 - A
فاقد تورم	فاقد تورم	۹۱/۰۷-۹۱/۳۸	BK3
فاقد تورم	فاقد تورم	۹۶/۷-۹۷/۵	BK6

آزمایشات انجام گرفته حاکی از عدم تورم پذیر بودن نمونه های مورد آزمایش می باشد و این مطلب را میتوان برای مسیر تونل تعیین داد. البته به صورت متناوب در مکانهایی با توده هایی برخورد خواهد شد که در زمان حفر تونل بایستی از این موضع نمونه برداری و آزمایشات تورم صورت پذیرد.

۳-۵-۵- شاخص دوام

آزمایش شاخص دوام بر روی چهار نمونه از گمانه های BK1-A و BK3 و BK6 صورت پذیرفته که نتایج آن در جدول ۳-۵ آمده است. این آزمایش در دو حالت یک مرحله ای و دو مرحله ای صورت پذیرفته و نتایج، حاکی از مقاومت نسبتاً خوب در برابر آزمایش می باشد. لذا پدیده هوازدگی در جنسهای آهک مارنی که در اغلب مسیر تونل با آن برخورد خواهد شد در برابر هوازدگی سنگها نسبتاً مقاوم خواهد بود. ولیکن در مکانهایی که تونل با شیل مارن آهکی و یا گل سنگ برخورد نماید، بایستی آزمایشات تکرار شده و پایداری سنگ بررسی گردد. مشکل هوازدگی بین لایه ای سنگ آهک مارنی که اغلب از رس می باشد، می تواند مشکل زا باشد.

جدول ۳-۵- نتایج آزمایش شاخص دوام [۶]

مرحله ۱ (%)	مرحله ۲ (%)	عمق (m)	گمانه
۰/۵	۱/۳	۲۸/۰-۲۸/۶	BK1-A
۰/۶	۱/۲	۷۳/۹۲-۷۴/۷۲	BK 3
۱/۲	۱/۷	۷۹/۵-۷۹/۹	BK3
۰/۷	۱/۴	۱۱۵/۸۵-۱۱۶/۳	BK6

۳-۵-۶- مقاومت فشاری تک محوری

جهت شناسایی خصوصیات مقاومتی سنگ بکر اقدام به انجام هشت آزمایش تک محوری بر روی نمونه های اخذ شده گردید. نتایج این آزمایشات در جدول ۳-۶ به تفصیل آمده است. در نهایت نیز پس از بررسی نمونه ها و نتایج بدست آمده، اعداد نهایی برای انجام مطالعات، ارائه گردیده است. این آزمایشات و نتایج آنها پس از حذف آزمایشهای مشکوک و نمونه های درزه دار، بیان کننده مقاومت واقعی سنگ بکر بدون درزه و شکاف و لایه بندی است.

جدول ۳-۶- نتایج بدست آمده از آزمایشات مقاومت فشاری تک محوری [۶]

گمانه	عمق (m)	تک محوری (kg/cm ³)	وزن مخصوص (gr/cm ³)	مقاومت فشاری	رطوبت محتوی (%)
BK1-A	۲۸ - ۲۸/۶	۱۴۵	۲/۷۱	۱۴۵	۰/۰۸
BK1-A	۲۴/۲۵ - ۳۴/۷۵	۹۵	۲/۷۰	۹۵	۰/۱۰
BK 3	۷۳/۹۲ - ۷۴/۲۷	۲۹۵	۲/۷۰	۲۹۵	۰/۵۰
BK 3	۷۹/۵ - ۷۹/۹	۲۶۰	۲/۷۲	۲۶۰	۰/۷۵
BK 3	۸۸/۱۵ - ۸۸/۳	۷۹۸	۲/۷۲	۷۹۸	۰/۷۰
BK 3	۹۱/۰۷ - ۹۱/۳۸	۸۵۷	۲/۷۳	۸۵۷	۰/۹۰
BK 6	۱۱۵/۸ - ۱۱۶/۳	۵۳۰	۲/۶۸	۵۳۰	۰/۲۶
BK 6	۸۶/۶ - ۸۷/۴	۲۵۷	۲/۷۱	۲۵۷	۰/۱۰
Result	-	۷۳۰	۲/۷۱	۷۳۰	۰/۷۰

مقاومت تک محوری برای نمونه های بکر سنگ آهک مارنی موجود مقدار ۷۳۰ کیلوگرم بر سانتیمتر مربع (۷۳ مگا پاسکال) پیشنهاد میگردد که این مقاومت، مقاومت نسبتاً "خوبی برای سنگ" موجود می باشد. ولی به علت خرد بودن توده سنگ، چنین مقاومت خوبی برای توده های سنگی انتظار نمی رود.

۷-۵-۳- آزمایش سه محوری

جهت مشخص شدن خصوصیات مکانیکی سنگ، آزمایش سه محوری در حالت طبیعی سنگ انجام گرفته که نتایج آن در جدول ۷-۳ در زیر آمده است. نتیجه گیری این جدول با حذف پارامترها و نتایج مشکوک و دور از انتظار انجام شده است.

جدول ۷-۳- نتایج آزمایشات سه محوری [۶]

C (MPa)	Φ (deg)	عمق (m)	گمانه
۳/۶	۵۹/۸	-	BK1-A
۵/۰۷	۳۲	۷۹/۱-۷۹/۹	BK3
۳/۵۲	۴۴/۵۲	۸۶/۶-۸۷/۴	BK6
۳/۵	۳۲	-	RESULTE

۸-۵-۳- آزمایش برش در امتداد درزه ها

سه آزمایش برش مستقیم روی درزه ها انجام شده که آزمایشات در حالت طبیعی صورت گرفته است و نتایج آن بصورت مقادیر چسبندگی و زاویه اصطکاک سطحی درزه در جدول ۸-۳ آمده است.

جدول ۸-۳- نتایج آزمایشات برش مستقیم روی درزه ها [۶]

C (MPa)	F (deg)	عمق (متر)	گمانه
۰/۲۱	۳۳/۸	۲۸/۰-۲۸/۶	BK1-A
.	۲۴	۹۷/۱-۹۷/۹	BK3
۲/۳۶	۳۱	-	BK6

فصل چهارم

پaramترهای ژئومکانیکی مسیر تونل
و برآورد سیستم نگهداری موقت بر اساس
طبقه بندی توده سنگ

براساس خصوصیات فیزیکی و مکانیکی، سنگهای مسیر تونل انتقال آب خدنگستان به بیست و سه قسمت یا ناحیه ساختاری تقسیم شده و پارامترهای ژئومکانیکی برای هر قسمت براساس نمونه ها و مطالعه آماری ناپیوستگی ها که در فصل قبل بررسی شدند، تعیین گردیده است.

در این فصل ابتدا مختصری در مورد روشهای طبقه بندي توodeh سنگ که مبنای برآورده سیستم نگهداری موقت براساس روشهای تجربی می باشد، بحث شده، سپس به بررسی پارامترهای ژئومکانیکی هر قسمت از مسیر تونل و نحوه محاسبه آنها پرداخته و بر اساس روشهای طبقه بندي توodeh سنگ (RMR و Q) رده بندي شده اند. در نهايیت بر اساس اين رده بندي، سیستم نگهداری موقت مناسب برای هر قسمت ارائه خواهد شد.

۲-۱- رده بندي مهندسي با روش پيشنهادی بنیاوسکی (RMR)

در اين رده بندي، پارامترهای ۶ گانه اي که مورد امتيازدهی قرار ميگيرند، عبارتند از [15]:

۱- مقاومت فشاری سنگ سالم

این پارامتر توسط آزمایشهاي انجام شده روی نمونه هاي اخذ شده از گمانه ها که روی سنگ بكر انجام ميشود تعیین مي گردد. نتيجه اين آزمایشها در فصل قبل موجود مي باشد.

۲- مقدار RQD

در حالت کلي مقدار اين پارامترها در گمانه ها و معزه هاي بدست آمده، اندازه گيري مي شود. مقدار RQD در گمانه هاي مختلف نيز در فصل قبل در قسمت (۳-۳) آمده است.

۳- فاصله داري درزه ها و ضخامت ميانگين تک لايه ها

امتياز اين دو پارامتر به روش حداقل مقدار فاصله داري، مورد امتيازدهی قرار گرفته و آنگاه مقدار انتخابي در نامناسبترین حالت پيشنهاد شده است.

۴- وضعیت ناپیوستگی ها

این پارامتر اصلی برای امتیاز دهی به ۵ پارامتر کوچکتر: تداوم، بازشدگی، هوازدگی، ماده پرکننده و زیری سطح درزه ها تبدیل شده و امتیاز هر یک از این پارامترهای کوچکتر برآورده و مجموع آنها برای وضعیت ناپیوستگیها بکار گرفته شده است. وضعیت ناپیوستگی ها و وضعیت پارامترهای آن در فصل قبل به تفضیل آمده است.

۵- آبهای زیرزمینی

وجود آب زیرزمینی در محیط کاری در صورتیکه نفوذپذیری واحدهای سنگی منطقه زیاد باشد، اهمیت زیادی دارد. در قسمت زمین شناسی مهندسی سنگهای اطراف تونل خدنگستان، به این موضوع اشاره شد که به علت نوع سنگ و وجود رس در ترکیبات، نفوذ پذیری بسیار پایین بوده و مشکلی از این بابت وجود ندارد. به این ترتیب امتیاز پارامتر آبهای زیرزمینی در رده بندی مهندسی به صورت قطره ای در نظر گرفته شده است.

۶- جهت داری ناپیوستگیها

این پارامتر با توجه به چگونگی پیشروی تونل به سمت توده سنگ درزه دار، شیب لایه ها و ناپیوستگی ها انتخاب می شود.

۳-۴- روش طبقه بندی براساس شاخص کیفی (Q)

این روش در سال ۱۹۷۴ توسط بارتون و همکارانش در انجمنی ژئوتکنیکی نروژ (NGI) ارائه شد. اساس این روش بر مبنای محاسبه مقدار Q از رابطه زیر و سپس ارائه سیستم نگهداری مناسب می باشد. مقدار Q از رابطه زیر بدست می آید:

$$Q = \frac{RQD}{J_n} \times \frac{J_r}{J_a} \times \frac{J_w}{SRF} \quad (1-4)$$

که در آن RQD شاخص کیفی سنگ، J_n تعداد دسته درزه، J_r عدد زبری درزه ها، J_a عدد هوازدگی درزه ها، J_w عدد کاهش آب درزه ها و SRF ضریب کاهش تنش می باشد [۱۱]. در جدول (۴-۱) مقدار Q برای قسمت های مختلف مسیر تونل آورده شده است.

۴-۴- برآورد پارامترهای ژئومکانیکی با روش RMR

ابتدا به بررسی روابط مورد نیاز برای برآورد پارامترهای ژئومکانیکی با روش RMR می پردازیم.

(۱) رابطه های محاسبه مقاومت فشاری توده سنگ [۲۳] و [۷]:

$$\delta_{cm} = \delta_{ci} \times \exp\left(\frac{RMR - 100}{18.75}\right) \quad (a)$$

$$\delta_{cm} = \delta_{ci} \times \exp\left(\frac{RMR - 100}{13.07}\right) \quad (b)$$

$$\delta_{cm} = \frac{2c \cdot \cos \phi}{1 - \sin \phi} \quad (C)$$

که در این روابط σ_{cm} و σ_{ci} به ترتیب مقاومت فشاری توده سنگ و مقاومت فشاری سنگ بکر هستند.

(۲) رابطه های محاسبه مدول دگر شکلی (توده سنگ) [۲۲] و [۲۳]:

$$Em = 10^{(RMR-10)/40} \quad (\text{GPa}) \quad (a)$$

$$Em = 0.0736 * \exp(0.0755RMR) \quad (\text{GPa}) \quad (b)$$

(۳) رابطه برآورد مقاومت کششی [15] و [23] :

$$\delta_{tm} = \delta_t \times \exp \left[\frac{RMR - 100}{27} \right] \quad (a)$$

$$\delta_t = 0.053 + 0.07 \delta_{ci} \quad (b)$$

(۴) رابطه سینگ برای تقریب مدول برشی [23]:

$$G=0.1E$$

(۵) فشار نگهدارنده سقف نهایی (فشار وارد بر پوشش) [17] :

$$loadQ = \frac{2\sqrt{Jn}}{3Jr} \times Q^{-0.333}$$

در جدول (۲-۴) پارامترهای ژئومکانیکی ۲۳ قسمت مسیر تونل آمده است، که در آن :

مقدار طبقه بندی روش GSI بر اساس پیشنهاد هوک و براون است:

$$GSI = RMR-5$$

$$E : \text{مدول تغییر شکل بر اساس فرمول} \quad E = 10 \frac{RMR - 10}{40} \quad (\text{گیگا پاسکال})$$

φ_m : زاویه اصطکاک داخلی توده سنگ (درجه)

C_m : مقدار چسبندگی توده سنگ (مگا پاسکال)

s : مقاومت تک محوری توده سنگ (مگا پاسکال)

Q : مقدار بار وارد بر پوشش نهایی تونل طبق پیشنهاد بارتون (کیلوگرم بر متر مربع)

bu : مقدار حداقل و حداکثر روباره (متر) over

σ_1 : مقدار تنش قائم ثقلی بر اساس حداکثر روباره (مگا پاسکال)

K_o : ضریب فشار جانبی (s_v / s_h) طبق رابطه [۱۰]

$$k_o = 0.25 + 7E (0.001 + (1/Z))$$

جدول ۱-۴ - مقدار شاخص کیفی سنگ برای قسمتهای مختلف مسیر توزل خدنگستان [۶]

قسمت	کسر	تا	SRF	RQD (%)	Jv	Ja	Jr	Jn	Q
۱	۰+۰۵۰	۰+۰۵۰	۰/۶۶	۲۰	۱۰	۳	۳	۱۲	۰/۱۱
۲	۰+۲۵۰	۰+۰۵۰	۰/۶۶	۳۰	۱۰	۲	۳	۹	۰/۳۳
۳	۰+۲۵۰	۰+۱۰	۷/۵	۷۰	۱	۱	۱	۳	۲/۱۱۱
۴	۰+۱۹۰	۰+۱۹۰	۱۰	۳۵	۱	۲	۱/۵	۱۲	۰/۲۱۹
۵	۱+۰۱۰	۱+۰۱۰	۷/۵	۷۰	۱	۱	۱	۳	۳/۱۱۱
۶	۱+۸۹۰	۱+۸۹۰	۷/۵	۴۰	۱	۳	۳	۱۲	۰/۴۴۴
۷	۲+۳۱۵	۲+۳۱۵	۷/۵	۷۰	۱	۲	۳	۹	۱/۵۵۶
۸	۲+۵۴۵	۲+۵۴۵	۱۰	۴۰	۱	۳	۳	۱۲	۰/۳۳۳
۹	۲+۷۴۵	۲+۷۴۵	۷/۵	۷۰	۱	۱	۳	۹	۳/۱۱۱
۱۰	۳+۷۷۰	۳+۷۷۰	۱۰	۳۰	۱	۲	۱/۵	۱۲	۰/۱۸۸
۱۱	۳+۸۷۰	۳+۸۷۰	۷/۵	۶۰	۱	۱	۲	۹	۱/۷۷۸
۱۲	۴+۸۳۰	۴+۸۳۰	۱۰	۵۰	۱	۳	۲	۱۲	۰/۲۷۸
۱۳	۴+۸۳۰	۴+۸۳۰	۷/۵	۵۰	۱	۲	۲	۹	۱/۷۷۸
۱۴	۵+۱۰۰	۵+۱۰۰	۱۰	۴۰	۱	۳	۲	۱۲	۰/۲۲۲
۱۵	۵+۱۰۰	۵+۱۰۰	۷/۵	۶۵	۱	۱	۲	۹	۱/۹۲۶
۱۶	۵+۵۹۰	۵+۵۹۰	۱۰	۴۰	۱	۲	۱/۵	۱۲	۰/۲۵
۱۷	۵+۸۹۰	۵+۸۹۰	۷/۵	۶۰	۱	۱	۲	۹	۱/۷۷۸
۱۸	۵+۲۱۰	۵+۲۱۰	۱۰	۳۰	۱	۳	۲	۹	۰/۲۲۲
۱۹	۵+۲۶۰	۵+۴۱۰	۱۰	۴۰	۱	۲	۱/۵	۱۲	۰/۲۵
۲۰	۵+۲۶۰	۱۰+۲۸۵	۷/۵	۶۰	۱	۱	۲	۹	۱/۷۷۸
۲۱	۱۰+۴۸۵	۱۰+۲۸۵	۱۰	۴۰	۱	۳	۲	۹	۰/۲۹۶
۲۲	۱۰+۴۸۵	۱۰+۴۸۵	۷/۵	۷۰	۱	۲	۲	۹	۱/۰۳۷
۲۳	۱۰+۸۸۵	۱۰+۸۸۵	۱۱+۲۶۶	۴۰	۱	۳	۲	۹	۰/۳۹۵

[۱۱] - ۴-۲ - پارامترهای ریوهمکانیکی در مسیر تونل خندگستان

جدول [۱۱] - پارامترهای ریوهمکانیکی در مسیر تونل خندگستان

Part	From	To	Q	RMR	GSI	E	φm	Cm	s cm	LOAD Q	OVERBUR	S I	Ko
1	0+000	0+050	0.11	23	18	2.113	24.9	0.45	1.41	13367	10 - 40	1.06	0.63
2	0+050	0+250	0.33	31	26	3.35	29.5	0.69	2.37	9647	40 - 190	5.05	0.4
3	0+250	0+890	3.111	39	34	5.309	31	0.9	3.2	8070	190 - 350	9.31	0.39
4	0+890	1+010	0.219	31	26	3.35	29.5	0.69	2.37	22087	260 - 290	7.71	0.35
5	1+010	1+690	3.111	39	34	5.309	31.3	0.9	3.2	8070	70 - 260	6.91	0.43
6	1+690	2+315	0.444	34	29	3.981	30.3	0.71	2.47	8770	0 - 70	1.86	0.68
7	2+315	2+545	1.556	39	34	5.309	31.3	0.9	3.2	8070	30 - 60	1.60	0.91
8	2+545	2+745	0.333	34	29	3.981	30.3	0.71	2.47	9650	0 - 40	1.06	0.97
9	2+745	3+770	3.111	39	34	5.309	31.3	0.9	3.2	8070	30 - 240	6.38	0.44
10	3+770	3+870	0.188	31	26	3.35	29.5	0.69	2.37	23381	190 - 210	5.58	0.39
11	3+870	4+830	1.778	39	34	5.309	31.3	0.9	3.2	8250	100 - 220	5.85	0.46
12	4+830	5+030	0.278	34	29	3.981	30.3	0.71	2.47	15902	0 - 100	2.66	0.56
13	5+030	6+100	1.778	39	34	5.309	31.3	0.9	3.2	8660	70 - 100	2.66	0.66
14	6+100	6+300	0.222	34	29	3.981	30.3	0.71	2.47	16822	0 - 80	2.13	0.63
15	6+300	6+590	1.926	39	34	5.309	31.3	0.9	3.2	8070	80 - 100	2.66	0.66
16	6+590	6+890	0.25	31	26	3.35	29.5	0.69	2.37	21773	90 - 100	2.66	0.51
17	6+890	8+210	1.778	39	34	5.309	31.3	0.9	3.2	8660	40 - 120	3.19	0.6
18	8+210	8+410	0.222	31	26	3.35	29.5	0.69	2.37	16570	0 - 60	1.60	0.66
19	8+410	9+260	0.25	31	26	3.35	29.5	0.69	2.37	21170	50 - 70	1.86	0.61
20	9+260	10+285	1.778	39	34	5.309	31.3	0.9	3.2	8660	40 - 60	1.60	0.91
21	10+285	10+485	0.296	34	29	3.981	30.3	0.71	2.47	14940	0 - 40	1.06	0.67
22	10+485	10+885	1.037	39	34	5.309	32.3	1.25	4.54	9910	30 - 40	1.06	1.22
23	10+885	11+266	0.395	34	29	3.981	30.3	0.71	2.47	13570	0 - 40	1.06	0.97

۴-۵- سیستم های نگهداری اولیه

سیستم های نگهداری متداول اولیه که در تونلها بکار می روند، شامل اجزای زیر می باشد [۲]:

- | | |
|-----------|----------------------|
| Shotcrete | ۱ - بتن پاشی |
| Wire Mesh | ۲ - شبکه تور فولادی |
| Rock Bolt | ۳ - پیچ سنگهای مهاری |
| Rib Frame | ۴ - قاب فولادی |

۴-۱- بتن پاشی (شاتکریت) Shotcrete

بتن پاشی مهمترین و متداولترین جزء سیستم نگهدارنده اولیه در تونلها محسوب می شود.

طبق تعریف شاتکریت یا بتن پاشیده را می توان ملاتی دانست که از طریق یک شیلنگ تحت فشار هوا با سرعت زیاد روی سطح مورد نظر پاشیده می شود. بتن پاشی از هوازدگی توده خاک و سنگ و ریزش موضعی جلوگیری می کند، همچنین به همراه شبکه تور فولادی به دلیل عملکرد پیوسته و یکنواخت از جابجایی زیاد توده خاک و سنگ جلوگیری کرده و باعث استفاده خوب از قابلیت و ظرفیت باربری توده خاک و سنگ می گردد. همچنین به عنوان عضو سازه ای یکنواخت و گسترده باربری سازه ای نیز خواهد داشت [۲].

در حال حاضر بتن پاشیده جزء لاینفک و شناخته شده در ساخت سازه ها و فضاهای زیرزمینی می باشد و به طور کلی به علت عدم نیاز به قالب بندی و از سوی دیگر تجهیزات مختصتر و قابل حمل تر نسبت به بتن معمولی ارجحیت دارد. سطح مورد نظر هر شکل و اندازه ای که داشته باشد شاتکریت قابل استفاده خواهد بود و این در حالی است که روی اکثر مواد به خوبی می چسبد [۱۴].

از کاربردهای شاتکریت در کارهای زیرزمینی و حفاری تونل ها می توان به نگهداری موقت، دائمی، تعمیراتی و مکمل اشاره کرد.

همچنین به عنوان پوشش حفاظتی برای سطح حفاری آسیب پذیر در مقابل هوا (هوازدگی) و آب بندی برای کنترل نشت آب در محل هایی با دبی و فشار کم کاربرد دارد. دو روش اجرا برای شاتکریت وجود دارد:

DRY- MIX PROCERSS و WET-MIX PROCESS روش اجرای خشک

در طراحی سیستم نگهداری، سه نوع فشار وارد بر تکیه گاه در نظر گرفته میشود که عبارتند از:

فشار سست شدگی (Loosening Pressure)

فشار آماسی یا تورمی (Swelling Pressure)

فشار خالص زمین (Genuine Ground Pressure)

فشار سست شدگی یک فشار موضعی ناشی از وزن مواد در محل تاج قوس تونل است که بر اثر شکستگی روی پوشش تکیه می کند این تنش بويژه در سنگهای درزه دار به طور گستردگی وجود دارد.

فشار تورمی در نتیجه افزایش مقدار رطوبت در زمینهای حاصل میشود که دارای مواد منبسط

شونده مانند کانی های رسی هستند.

در صورتیکه قبل از خاتمه جابجایی های شعاعی قطعات سنگ در تونل، پوشش اجرا شود،

فشاری از طرف سنگهای فرائیگر آن بر شاتکریت وارد خواهد شد، بنابراین فشار زمین ممکن است

باعث پوسته شدن دیواره گردد. چنانچه از شاتکریت به طور صحیح استفاده شود، علاوه بر اینکه بر

تنش های زمین فائق می آید می تواند به عنوان پوشش محافظ، از نفوذ آب یا هوا و تخریب سنگ

جلوگیری نماید [۷].

۴-۵-۲- شبکه تور فولادی Wire Mesh

به دلیل مقاومت کم خمشی و کششی بتن در سیستم بتن پاشی، شبکه تور فولادی به عنوان

باربر نیروهای کششی و لنگر خمشی در بتن پاشی و همچنین حائل گستردگی در جهت توزیع بارهای

اعمال شده عمل می کند. [۲]

تور سیمی یا فولادی که جهت نگهداری قطعات کوچک سنگ یا به عنوان مسطح کننده شاتکریت مورد استفاده قرار می‌گیرد، "معمولًا" در دو نوع درسازه‌های زیرزمینی استفاده می‌گردد. توری بافته یا توری سرندي و توری جوش شده.

توری سرندي برای مسلح کردن شاتکریت مناسب نیست. زیرا دانه‌های بتن از توری بافته شده به راحتی عبور نمی‌کنند. در مقابل، توری جوش شده عموماً برای مسلح کردن بتن مورد استفاده قرار می‌گیرد. توری جوش شده عموماً توسط واشر و مهره اضافی که روی سنگ دوزها قرار میدهند، به بدنه سنگ متصل می‌گردد. در فواصل بین سنگ دوزها نیز بر حسب لزوم توری توسط میله‌های کوتاه که به سطح سازه نصب می‌گردند، به بدنه سازه متصل می‌شود. فاصله زیاد توری از سطح سنگ موجب هدر رفتن بتن می‌گردد. زیرا باید آنقدر بتن پاشی ادامه یابد تا توری را کاملاً بپوشاند. به همین خاطر فواصل بین سنگ دوزها را نیز با میله‌های کوتاه به سطح سنگ متصل می‌کنند تا فاصله کم شود.

توری‌ها در مقابل پرتاب قطعات سنگ ناشی از آتشکاری به آسانی آسیب می‌بینند، بنابراین نصب آن را باید تا زمانی که آتشکاری تا فاصله مناسب از کار دورنشده به تاخیر انداخت. توری‌های جوش شده نسبت به توری‌های سرندي از این امتیاز برخوردارند که در اثر آسیب دیدگی از هم باز نمی‌شوند [۸].

Rock Bolt - ۳-۵- پیچ سنگ (راک بولت)

پیچ سنگ یا میل مهاری‌ها از نظر عملی به دو دسته تقسیم می‌شوند: مهاری‌های تنیده و مهاری‌های غیر تنیده، که هر دو دسته بر حسب نوع نصب به دو دسته درگیر در یک نقطه و درگیر در طول تقسیم می‌شوند.

درگیر کردن مهاری‌ها به منظور انتقال نیرو به زمین، به سه طریق امکان پذیر است: به طریق مکانیکی، بوسیله ملات واسطه (سیمان یا صمغ مصنوعی) و بوسیله ریشه‌های بازشو.

بیشترین کاربرد پیچ سنگ ها، همراه با ملات تزریق شده می باشد که مبتنی بر نیروهای چسبندگی ملات واسطه با مهاری و دیواره های چال بوده و از مزایای آن، ارزانی نسبی آن و حفاظت مهاری در برابر خوردگی می باشد.

پیچ سنگ ها به دلیل طرح، اجرا و حفاظت ساده و هزینه نسبتاً پایین آنها کاربرد وسیعی پیدا کرده اند. پیچ سنگها ضمن تامین ایمنی کافی در مقابل ریزش، فضای اضافی اشغال نمی کنند. چسبندگی بین دوغاب و دیواره چال که پیچ سنگ در آن قرار گرفته است به مقاومت فشاری سنگ و دوغاب، زبری جداره چال و به وسعت سطح تماس بستگی دارد. طبق نظریات لیتل جان و بروس: چسبندگی نهایی سیمان و سنگ را میتوان تقریباً $1/0$ مقاومت فشاری سنگ یا دوغاب سخت شده در نظر گرفت. برای سنگ های ضعیف و هوازده این مقدار 20 الی 30 درصد مقاومت فشاری سنگ می باشد. عواملی که باعث کاهش تاثیر پیچ سنگ می شوند، عبارتند از: عدم تناسب قطر چال - که باعث میشود کشش کافی در پیچ سنگ ایجاد نشود - وجود سنگ های سست در نقطه درگیری - بخصوص برای پیچ سنگها با درگیری مکانیکی مانند مهاری با پوسته باز شو، که در این سنگ ها بهتر است از تزریق استفاده شود - خزش، زنگ زدگی و تخریب ساختمانی میل مهاری و ارتعاشات انفجاری [۸] و [۱۴].

Rib Frame - قاب فولادی

قابهای فولادی از پروفیلهای فولادی ساخته شده و به عنوان بخشی از سیستم نگهدارنده در مناطقی بکار می روند که زمین بسیار سست و ریزشی بوده و سایر سیستمهای نگهدارنده نتواند پایداری کافی تونل را تامین نمایند. این قابها در کارگاه و در ابعاد مختلف قابل ساخت بوده و به عنوان عامل مسلح کننده بتن بکار می روند [۲]. از انواع این قابها می توان به قابهای فولادی صلب و قابهای مفصلی (مول) و قابهای کشویی اشاره کرد [۱۳].

۴-۶-برآورد سیستم نگهداری اولیه بر اساس روش‌های تجربی

در این بخش به تخمین سیستم نگهداری اولیه بر اساس روش‌های RMR و Q پرداخته می‌شود:

۱-۶-۴-روش RMR - بنیاوسکی ۱۹۷۶-۱۹۸۴

در روش RMR ، بنیاوسکی طی جدولی برای تونل به شکل نعل اسپی به پهنهای ۱۰ متر سیستم نگهداری اولیه را پیشنهاد کرده است. این جدول در قسمت پیوست موجود می‌باشد. به دلیل اینکه پهنهای تونل انتقال آب کمتر از ۱۰ متر است، در طرح سیستم نگهداری پیشنهادی این جدول تعديل اعمال می‌گردد.

از آنجا که تمامی ۲۳ قسمت مسیر تونل انتقال آب خدنجستان، در طبقه بندی مهندسی سنگ RMR بین ۲۰-۴۰ دارد، در رده سنگهای ضعیف قرار می‌گیرد. بنابراین در جدول بنیاوسکی برای تعیین سیستم نگهداری در گروه $RMR=20-40$ قرار گرفته و طبق توصیه این جدول سیستم نگهداری شامل موارد زیر است:

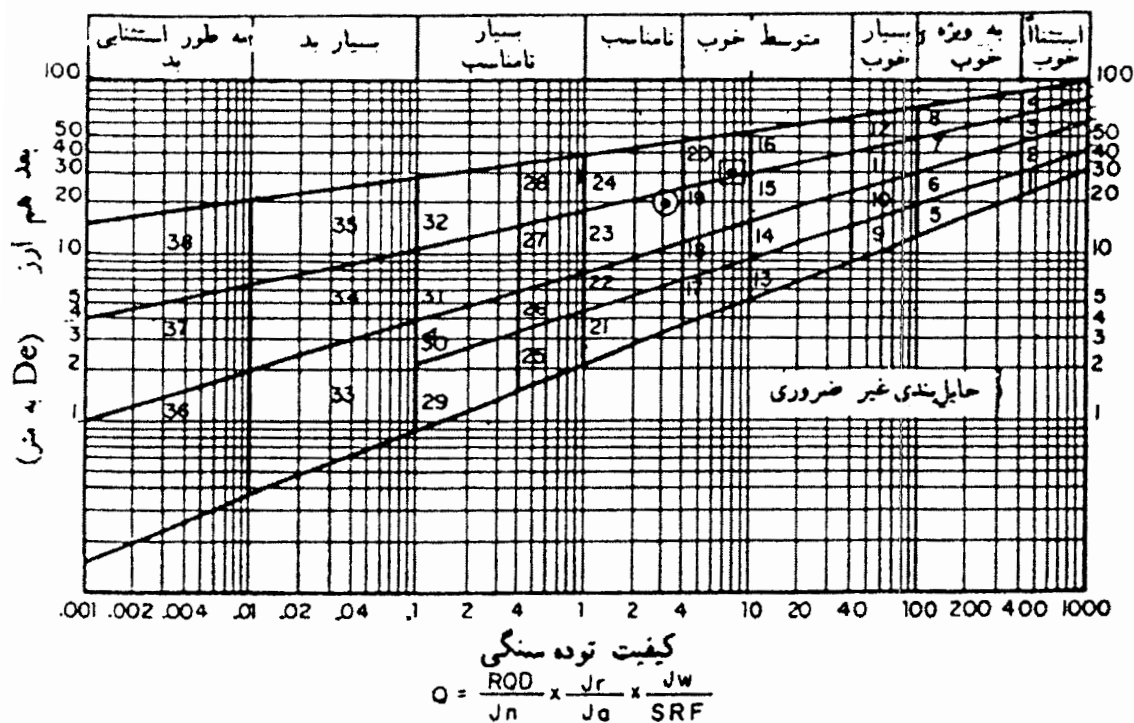
۱- پیچ سنگ مهاری (راک بولت) از فولاد به قطر 20 mm و به طول ۴-۵ متر در سقف و دیواره‌ها به همراه تور سیمی.

۲- بتن پاشی (شاتکریت) به همراه تور فولادی (مش) به ضخامت ۱۰۰ تا ۱۵۰ میلیمتر در سقف و ۱۰۰ میلیمتر در دیواره‌ها.

۳- پایه‌های کناری (قاب فلزی) سبک با فواصل ۱/۵ متر در محلهایی که لازم است، اجرا می‌شود.

۴-۶-۲- روش Q برای تعیین سیستم نگهداری اولیه

در روش Q ، از نمودار مربوطه استفاده می گردد که در شکل (۱-۴) آمده است. به عنوان نمونه برای قسمت اول مسیر از کیلومتر ۰+۰۵۰ الی ۰+۰۰۰ با شاخص کیفی سنگ $Q=0.11$ که در رده خیلی ضعیف قرار می گیرد، تونل دارای $ESR=1.6$ می باشد، (طبق جدول مربوطه (پیوست) که برای تونلهای آبرسانی، تونلهای معدنی دائم و نیروگاه های آبی، مقدار ضریب نگهداری تونل $ESR=1.6$ می باشد). بنابراین این قسمت در گروه ۲۹ قرار میگیرد که ($Q=0.1-0.4$) و $(Span/ESR = 1-3)$ و $(Jr/Ja > 0.25)$ بوده، بنابراین طبق جدول مربوطه سیستم نگهداری اولیه (مش) به ضخامت ۵ سانتیمتر می باشد. در جدول ۳-۴ برای بیست و سه قسمت مختلف مسیر تونل انتقال آب خدنگستان، براساس روش Q، تعیین سیستم نگهداری اولیه شده است.



شکل ۱-۴ - تخمین سیستم نگهداری موقت به کمک روش Q

جدول ۴-۳- تعیین سیستم نگهداری بر اساس شاخص کیفی سنگ Q

قسمت	از	قنا	Q	گروه	نوع سیستم نگهداری
۱	۰+۰۵۰	۰+۰۵۰	۰/۱۱	۲۹	Bolt (utg) 1 m + shot (mr) 5 cm
۲	۰+۲۵۰	۰+۰۵۰	۰/۳۳	۲۹	Bolt (utg) 1 m + shot (mr) 5 cm
۳	۰+۲۵۰	۰+۸۹۰	۳/۱۱۱	۲۱	Bolt (utg) 1 m
۴	۰+۸۹۰	۱+۰۱۰	۰/۲۱۹	۲۹	Bolt (utg) 1 m + shot (mr) 5 cm
۵	۱+۰۱۰	۱+۸۹۰	۳/۱۱۱	۲۱	Bolt (utg) 1 m
۶	۱+۸۹۰	۲+۳۱۵	۰/۴۴۴	۲۵	Bolt (utg) 1 m + shot (mr) 5 cm
۷	۲+۳۱۵	۲+۵۴۵	۱/۵۵۶	۲۱	Bolt (utg) 1 m
۸	۲+۵۴۵	۲+۷۴۵	۰/۳۲۳	۲۹	Bolt (utg) 1 m + shot (mr) 5 cm
۹	۲+۷۴۵	۳+۷۷۰	۳/۱۱۱	۲۱	Bolt (utg) 1 m
۱۰	۳+۷۷۰	۳+۷۷۰	۰/۱۸۸	۲۹	Bolt (utg) 1 m + shot (mr) 5 cm
۱۱	۳+۷۷۰	۴+۸۳۰	۱/۷۷۸	۲۱	Bolt (utg) 1 m
۱۲	۴+۸۳۰	۵+۰۳۰	۰/۲۷۸	۲۹	Bolt (utg) 1 m + shot (mr) 5 cm
۱۳	۵+۰۳۰	۵+۰۳۰	۱/۷۷۸	۲۱	Bolt (utg) 1 m
۱۴	۵+۱۰۰	۶+۳۰۰	۰/۲۲۲	۲۹	Bolt (utg) 1 m + shot (mr) 5 cm
۱۵	۶+۳۰۰	۶+۱۰۰	۱/۹۲۶	۲۱	Bolt (utg) 1 m
۱۶	۶+۱۰۰	۶+۸۹۰	۰/۲۵	۲۹	Bolt (utg) 1 m + shot (mr) 5 cm
۱۷	۶+۸۹۰	۸+۲۱۰	۱/۷۷۸	۲۱	Bolt (utg) 1 m
۱۸	۸+۲۱۰	۸+۴۱۰	۰/۲۲۲	۲۹	Bolt (utg) 1 m + shot (mr) 5 cm
۱۹	۸+۴۱۰	۹+۲۶۰	۰/۲۵	۲۹	Bolt (utg) 1 m + shot (mr) 5 cm
۲۰	۹+۲۶۰	۹+۲۶۰	۱/۷۷۸	۲۱	Bolt (utg) 1 m
۲۱	۱۰+۲۸۵	۱۰+۴۸۵	۰/۲۹۶	۲۹	Bolt (utg) 1 m + shot (mr) 5 cm
۲۲	۱۰+۴۸۵	۱۰+۸۸۵	۱/۰۳۷	۲۱	Bolt (utg) 1 m
۲۳	۱۰+۸۸۵	۱۱+۲۶۶	۰/۳۹۵	۲۹	Bolt (utg) 1 m + shot (mr) 5 cm

utg : پیچ سنگ غیر کششی با تزریق دوغاب

mr : شاتکریت تقویت شده با توری فلزی

shot : بتن پاشی یا شاتکریت

فصل پنجم

برآورد سیستم نگهداری موقت بر اساس
تحلیل اندرکنش سنگ - سیستم نگهداری

۱-۵ - مقدمه

در این فصل، با توجه به یکسری فرضیات و فرمولهای موجود، منحنی مشخصه زمین (منحنی واکنش توده سنگ میزبان) GRC یا منحنی Ground Reaction Curve و منحنی مشخصه سیستم نگهداری در دستگاه فشار سیستم نگهداری - تغییر شکل شعاعی سنگهای اطراف تونل، رسم می شود.

نقطه تلاقی منحنی مشخصه سیستم نگهداری و منحنی مشخصه زمین، نقطه عملکردی است که بیان می کند به ازای مقدار مشخصی از تحمل بار سیستم نگهداری، تغییر شکل شعاعی سنگهای اطراف تونل چقدر می باشد. بنابراین با تحلیل چند نوع سیستم نگهداری، می توان برآورده از سیستم نگهداری موقت تونل انجام داد.

۲-۵ - فرضیات اساسی در رسم منحنی مشخصه زمین

- هندسه تونل: تونل، با مقطع دایره به شعاع R_i در نظر گرفته می شود. به دلیل طول زیاد تونل، می توان مسئله را به صورت دو بعدی و شرایط کرنش صفحه ای در نظر گرفت.

- میدان تنش برجا: فرض می کنیم تنش های افقی و قائم با هم برابر و مساوی P_0 باشد.

. $(k=1)$

- فشار سیستم نگهداری: فرض می شود که سیستم نگهداری نصب شده، فشار P_i را به صورت شعاعی و یکنواخت به جدار تونل اعمال می کند.

- خصوصیات توده سنگ اصلی: توده سنگ اصلی الاستیک فرض شده و معیار شکست این توده سنگی با رابطه (۱-۵) بیان می شود [۱۱]:

$$\sigma_1 = \sigma_3 + (m \alpha \cdot \sigma_3 + s \cdot \alpha^2)^{0.5} \quad (1-5)$$

که در این رابطه

s : تنش اصلی ماقزیم در لحظه شکست

s : تنش اصلی مینیمم

50 : مقاومت فشاری تک محوری سنگ بکر

s و m : مقادیر ثابتی که به خواص توده سنگ (جنس سنگ، هوازدگی، فاصله داری درزه ها و ...) بستگی دارد.

- خصوصیات توده سنگ شکسته: فرض می شود که توده سنگ شکسته که تونل را در بر گرفته است، پلاستیک کامل بوده و از معیار شکست زیر پیروی می کند [11]:

$$\sigma_1 = \sigma_3 + (mr.\alpha.\sigma_3 + sr.\alpha^2)^{0.5} \quad (2-5)$$

که mr و sr مقادیر مربوط به سنگ شکسته هستند.

- کرنش های حجمی: در منطقه الاستیک، کرنش های حجمی با ثوابت الاستیک E و v مشخص می شوند.

- رفتار وابسته به زمان: فرض می شود که توده سنگهای اصلی و شکسته، هیچکدام رفتار وابسته به زمان از خود نشان نمی دهند.

- گسترش منطقه پلاستیک: فرض می شود که منطقه پلاستیک تا شعاع re گسترش یابد که این گسترش به فشار Po ، فشار سیستم نگهداری Pi و خصوصیات مصالح سنگی الاستیک و پلاستیک بستگی دارد.

- تقارن شعاعی: در تمامی این بحث ها، مسئله به صورت متقارن حول محور تونل تحلیل می شود. اگر وزن سنگ شکسته در تحلیل منظور شود، این تقارن ساده کننده از بین خواهد رفت. از آنجا که وزن سنگ شکسته اطراف تونل در طراحی سیستم نگهداری بسیار مهم است، بعد از اتمام تحلیل اصلی، اثر وزن را به طور تقریبی منظور می کنند [11] و [18].

۳-۳- مراحل رسم منحنی مشخصه زمین

اطلاعات مورد نیاز عبارتند از:

σ_c : مقاومت فشاری تک محوری سنگ بکر

m و s : ثابت های توده سنگ اصلی

E : مدول الاستیسیته توده سنگ اصلی

v : ضریب پواسون توده سنگ اصلی

s_r و m_r : ثابت های توده سنگ شکسته

γ_r : وزن مخصوص توده سنگ شکسته

P_o : اندازه تنش در جا

n : شعاع تونل

P_i : فشار داخلی سیستم نگهداری به جدار تونل

ابتدا باید سه پارامتر M و D و N را محاسبه کرد [۱۱] و [۲۰]:

$$M = 0.5 [(m/4)^2 + (mp./\sigma_c) + s]^{0.5} - (m/8) \quad (3-5)$$

$$D = \frac{-m}{m+4[(m/\sigma_c).(P_o-M\sigma_c)+s]^{0.5}} \quad (4-5)$$

$$N = 2 \left[\frac{P_o - M\sigma_c}{mr \cdot \sigma_c} + \frac{s_r}{mr^2} \right] \quad (5-5)$$

فشار بحرانی از رابطه زیر به دست می آید:

$$P_{icr} = P_o - M\sigma_c \quad (5-5)$$

حال برای رسم نقاط منحنی به ازای هر P_i ، تغییر شکل شعاعی U_i محاسبه می شود. بدین صورت که به ازای P_i بیشتر از P_{icr} تغییر شکل اطراف تونل الاستیک است. در این حالت U_i برابر است با :

$$U_i = r_i \cdot \frac{(1+v)}{E} (P_o - P_i) \quad (7-5)$$

و برای P_i کوچکتر از P_{icr} شکستگی پلاستیک در اطراف تونل رخ می دهد. در این حالت U_i عبارتست از :

$$\frac{U_e}{r_e} = \frac{(1+v)}{E} M \cdot \sigma_c \quad (8-5)$$

$$\frac{r_e}{r_i} = \exp [N - 2 \left(\frac{P_i}{m_r \cdot \sigma_c} + \frac{s_r}{m_r^2} \right)] \quad (9-5)$$

اگر $r_e / r_i > \sqrt{3}$

$$R = 1.1 D \quad (10-5)$$

اگر $r_e / r_i < \sqrt{3}$

$$R = 2D \cdot \ln (r_e / r_i) \quad (11-5)$$

$$e_{av} = \frac{2(U_e/r_e) \cdot (r_e/r_i)^2}{[(r_e/r_i)^2 - 1] \cdot (1 + 1/R)} \quad (12-5)$$

$$A = [2(U_e/r_e) - e_{av}] \cdot [r_e/r_i]^2 \quad (13-5)$$

$$U_i = r_i \cdot \left[1 - \left(\frac{1 - e_{av}}{1 + A} \right) \right] \quad (14-5)$$

: شعاع منطقه الاستیک و U_e جابجایی شعاعی در مرز الاستیک است [۱۱] و [۲۰]

۴-۵- منحنی مشخصه سیستم نگهداری

این منحنی با فرض اینکه صلبیت سیستم نگهداری ثابت است، خطی فرض می شود و حال آنکه در عمل اینطور نیست. در شکل زیر خط سیستم نگهداری رسم شده است. در این شکل:

U_{io}: تغییر شکل کلی اولیه تونل قبل از نصب سیستم نگهداری

U_{sm}: حداکثر تغییر شکل الاستیک سیستم نگهداری

P_{sm}: حداکثر فشار ناشی از سیستم نگهداری

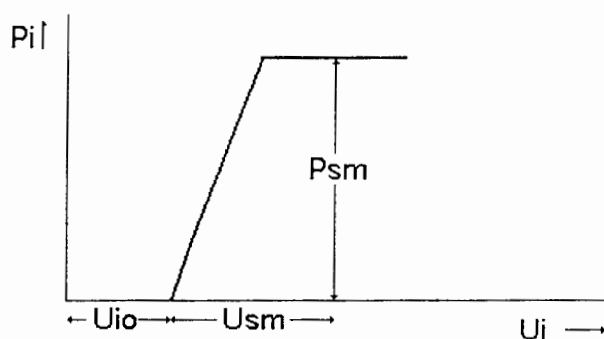
در این حالت تغییر شکل نهایی تونل برابر است با [۱۱]:

$$U_i = U_{io} + U_{ie} \quad (15-5)$$

که U_{ie} تغییر شکل الاستیک سیستم نگهداری است و برابر است با [۱۱]:

$$U_{ie} = (P_{sm} \cdot r_i) / K_c \quad (16-5)$$

که در آن r_i شعاع تونل و K_c سختی سیستم نگهداری است.



شکل ۱-۵- منحنی مشخصه سیستم نگهداری [۱۱]

۴-۱-۵- محاسبه تغییر شکل اولیه قبل از نصب سیستم نگهداری

تعیین میزان همگرایی تونل قبل از نصب سیستم نگهداری از اهمیت زیادی برخوردار است. همگرایی تابع سرعت پیشروی جبهه کار و توقف های احتمالی در کار بوده و سرعت همگرایی نیز به خواص زمین بستگی دارد. می توان گفت تغییر شکل شعاعی تونل صرفه نظر از پدیده خرزش، تابعی از فاصله جبهه کار پیشروی تا سیستم نگهداری و سرعت پیشروی می باشد.

طبق نظریه چانگ (۱۹۹۴)، همگرایی $(x)U$ در مقطعی که به فاصله x از سینه کار قرار دارد،

برابر است با [16]:

$$U(x) = U_{tot} \cdot [1 - (1 - \frac{U_{io}}{U_{tot}}) \cdot (1 + 1.19 \frac{x}{R_p})^2] \quad (17-5)$$

که U_i میزان همگرایی در سینه کار پیشروی است که بلافاصله بعد از عملیات حفاری رخ می دهد و U_{tot} همگرایی برای مقطعی است که فاصله ای دور از سینه کار پیشروی دارد. بر اساس گفته پانت و گونت، U_{io}/U_{tot} مقداری ثابت و برابر 0.28 می باشد. (یعنی 28 درصد کل جابجایی بعد از حفر انجام خواهد شد) [16].

در مورد انتخاب U_{io} دو نکته را باید در نظر گرفت:

- از آنجا که سرعت اجرای سیستم نگهداری شاتکریت (به همراه تور سیمی) با سرعت پیشروی بیشتری نسبت به اجرای شاتکریت و پیچ سنگ همراه است، مقدار همگرایی اولیه کمتری برای سیستم نگهداری شاتکریت، نسبت به اجرای سیستم نگهداری شاتکریت و پیچ سنگ باید در نظر گرفته شود.

- همگرایی بحرانی U_{crit} ، مقدار همگرایی است که فشار کلی وسیله نگهداری حداقل خواهد بود. در هنگام نصب سیستم نگهداری باید دقیق نمود که رابطه زیر برقرار باشد [16]:

$$U_{io} + U_{sm} < U_{crit} \quad (19-5)$$

زیرا اگر این رابطه برقرار نباشد، تونل بالقوه نامن خواهد بود و احتمال ریزش وجود خواهد داشت

[۱۱]

۲-۴-۵- سیستم نگهداری موجود برای شاتکریت

صلبیت سیستم نگهداری از رابطه زیر محاسبه می شود [۱۱] :

$$K_C = \frac{Ec \cdot [ri^2 - (ri - tc)^2]}{(1 + vc)[(1 - 2vc)ri^2 + (ri - tc)^2]} \quad (19-5)$$

: مدول الاستیسیته بتن Ec

: ضریب پواسون بتن vc

: ضخامت شاتکریت tc

وجود تور سیمی نقش مهمی در کنترل و توزیع تنش ها و ترک ها در پوشش ایفا می کند. اما

در افزایش صلبیت نقش چندانی ندارد حداکثر فشار سیستم نگهداری که بوسیله پوشش شاتکریت

ایجاد می شود از رابطه زیر بدست می آید [۱۱] :

$$Psm = 0.5 \sigma_c [1 - \frac{(ri - tc)^2}{ri^2}] \quad (21-5)$$

که در آن σ_c مقاومت فشاری تک محوری شاتکریت می باشد. [۱۱]

۳-۴-۵- سیستم نگهداری برای پیج سنگ تزریقی

از آنجا که اثر تزریق برای محاسبه مستقیم خط عکس العمل پیج سنگ تزریقی بر پایه تحلیل

اندرکنش سنگ - سیستم نگهداری ممکن نیست، می توان فرض کرد که تزریق باعث اتصال سنگها

به هم و افزایش مقاومت کششی آنها می شود. بنابراین در تحلیل پیج سنگ تزریقی، با افزایش مقادیر

mr و sr می توان از روابط پیج سنگ های غیر تزریقی استفاده کرد. این روابط در زیر آمده است:

$$\frac{1}{K_b} = \frac{Sc \cdot St}{ri} \left[\frac{4L}{\pi \cdot db \cdot Eb} + Q \right] \quad (22-5)$$

$$Psbm = Tbf / (Sc \cdot St) \quad (23-5)$$

Kb : صلبيت پيج سنگ

Sc : فاصله داری محطي پيج سنگ ها

St : فاصله داری طولي پيج سنگ ها

L : طول پيج سنگ

db : قطر پيج سنگ

Eb : مدول الاستيسيته پيج سنگ

Q : ثابت بار - تغيير شكل برای بخش گيرش و راس پيج سنگ

Psbm : حداکثر فشار سيسن نگهداري پيج سنگ

Tbf : گسيختگى نهايى حاصل از آزمون بiron كشى

٤-٤-٤- سيسن نگهداري تركيبى

اگر دو سيسن پيج سنگ و شاتكريت با هم تركيب شود، صلبيت سيسن نگهداري تركيبى، مساوى جمع صلبيت افزايش سيسن هاست. در سيسن تركيبى فرض بر اين است که دو سيسن به طور همزمان با هم نصب مى شوند و واكنش ها نسبت به تغيير شكل تونل به طور همزمان است [11].

$$U_{max1} = (r_i \cdot P_{sm1}) / K_1 \quad (24-5)$$

$$U_{max2} = (r_i \cdot P_{sm2}) / K_2 \quad (25-5)$$

$$U_{12} = (r_i \cdot P_i) / (K_1 + K_2) \quad (26-5)$$

K1 : سختى سيسن نگهداري اول

K2 : سختى سيسن نگهداري دوم

Psm1 : حداکثر فشار سيسن نگهداري اول

Psm2 : حداکثر فشار سيسن نگهداري دوم

حال برای وضعیت $U_{12} < U_{max1} < U_{max2}$ خواهیم داشت:

$$U_i = U_{io} + (P_i \cdot r_i) / (K_1 + K_2) \quad (27-5)$$

و برای وضعیت $U_{12} > U_{max1} < U_{max2}$ خواهیم داشت:

$$P_{max12} = U_{max1} \cdot (K_1 + K_2) / r_i \quad (28-5)$$

و در مورد وضعیت $U_{12} > U_{max2} < U_{max1}$ خواهیم داشت:

$$P_{max12} = U_{max2} \cdot (K_1 + K_2) / r_i \quad (29-5)$$

۵-۵- تحلیل منحنی عکس العمل سیستم نگهداری بر روی منحنی مشخصه زمین

برای رسم منحنی مشخصه زمین در قسمت های مختلف تونل، طبق فرمولهایی که در بخش های قبلی ارائه شد نیاز به یکسری اطلاعات می باشد که شامل: RMR، مدول الاستیسیته توده سنگ (Em)، مقاومت فشاری تک محوری (σc)، ضریب پواسون (v)، m و s (پارامترهای هوک و براون)، حداکثر روباره، دانسیته (?) و شعاع تونل (ri) هستند. این اطلاعات برای قسمت های مختلف تونل در فصل های قبل آمده اند. در این بخش برای نمونه، منحنی عکس العمل سیستم نگهداری و منحنی مشخصه زمین برای مقطع حداکثر روباره که معادل ۳۵۰ متر و در حوالی متراز ۸۰۰ از ورودی تونل می باشد ترسیم شده و سیستم نگهداری مناسب برای این مقطع تعیین شده است. برای قسمت های دیگر تونل انتقال آب، فقط نتیجه تحلیل ها در آخر این فصل ارائه شده است.

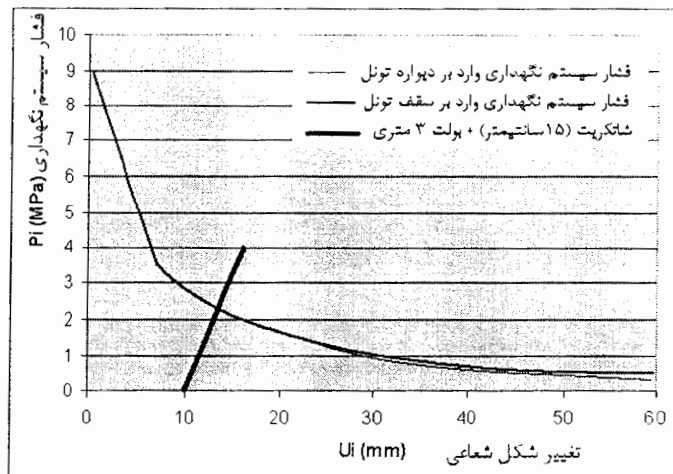
جدول ۱-۵- اطلاعات مورد نیاز برای رسم منحنی اندرکنش توده سنگ در مقطع حداکثر روباره.

RMR	Em	σc	v	m	s	Over bu	?	ri	Part
۳۹	۲/۵	۲/۵	۰/۲	۸	۰/۰۰۶۸	۳۵۰	۲/۷۱	۲/۵	۳

جدول ۲-۵- اطلاعات مورد نیاز بدست آمده با توجه به فرمولها و جدول(۱-۵) برای مقطع حداکثر روباره

GSI	Sr	Mr	Po (Mpa)	M	D	N	Picr
34.	0.000653	0.757523	9.27045	1.137114	-0.46792	1.847674	3.3575

در مورد سیستم نگهداری واضح است که علاوه بر پیچ سنگ، شاتکریت نیز لازم است، چرا که علاوه بر وظیفه جلوگیری از ریزش سنگهای خرد شده به داخل تونل و پایداری موقت تا نصب سیستم نگهداری دائمی، سطح حفاری شده را در برابر هوازدگی حفاظت می نماید. از پیچ سنگ ۳ متری با قطر ۲۵ میلیمتر استفاده شده است. منحنی سیستم نگهداری به همراه منحنی عکس العمل زمین برای توده سنگ های مقطع حداکثر روباره (در حوالی متراز ۸۰۰ از ورودی تونل)، مطابق شکل ۲-۵ می باشد:



شکل ۲-۵- منحنی سیستم نگهداری و زمین برای توده سنگ های مقطع حداکثر روباره

با اجرای سیستم نگهداری شاتکریت به ضخامت ۱۵ سانتیمتر و پیچ سنگ با طول ۳ متر و قطر ۲۵ میلیمتر با فاصله داری 1×1 متر، در توده سنگ های زون حداکثر روباره (Part 3) و با فرض اینکه تغییر شکل شعاعی اولیه سنگهای اطراف تونل ۱ سانتیمتر باشد، تغییر شکل شعاعی کلی در $1/3$ سانتیمتری متوقف خواهد شد. در این حالت فشار وارد بر سیستم نگهداری طبق نمودار برابر $2/2$ مگاپاسکال خواهد بود.

طبق این روش، در قسمت ورودی تونل (تا متراز ۲۵۰ متر) با اجرای سیستم نگهداری شاتکریت با ضخامت ۱۰ سانتیمتر و پیچ سنگ ۳ متری با قطر ۲/۵ میلیمتر با فاصله داری $1/5 \times 1/5$ متر و با فرض اینکه تغییر شکل شعاعی اولیه سنگهای اطراف تونل $7/0$ سانتیمتر باشد، تغییر شکل شعاعی کلی در $0/9$ سانتیمتری متوقف خواهد شد. لازم به ذکر است بدون اجرای سیستم نگهداری تغییر شکل شعاعی تونل در دیواره در $2/3$ سانتیمتری و در سقف تونل در $2/9$ سانتیمتری متوقف خواهد شد.

با اضافه شدن ضخامت روباره در متراز 800 متری همانگونه که مشاهده شد، ضخامت شاتکریت به ۱۵ سانتیمتر و فاصله داری پیچ سنگ ها به 1×1 متر می رسد. در قسمت خروجی، اجرای شاتکریت به ضخامت $7/5$ سانتیمتر و پیچ سنگ های ۳ متری با فاصله داری $1/5 \times 1/5$ متر توصیه می شود. در این حالت با اجرای این سیستم نگهداری و فرض تغییر شکل شعاعی اولیه $0/5$ سانتیمتر برای توده سنگ های اطراف تونل، تغییر شکل شعاعی کلی در $0/8$ سانتیمتری متوقف خواهد شد. در این قسمت بدون اجرای سیستم نگهداری تغییر شکل شعاعی تونل در دیواره در $0/9$ سانتیمتری و در سقف تونل در $1/3$ سانتیمتری متوقف خواهد شد.

از آنجا که در رسم منحنی مشخصه زمین و سیستم نگهداری فرضیاتی چون وجود تنفس هیدروستاتیک، دایروی بودن مقطع تونل و ... در نظر گرفته شده است، نمی توان زیاد به نتایج این روش تکیه کرد و لذا ضرورت دارد که از روش های مدلسازی عددی استفاده نمود و محدودیت ها و فرضیات را به حداقل رسانید.

فصل ششم

برآورد سیستم نگهداری موقت

بر اساس روش های عددی

۱-۶- مقدمه

در این فصل پس از بررسی کلیاتی در مورد روش‌های عددی برای تحلیل تنش در تونلهای، به تشریح نرم افزار UDEC و نحوه مدلسازی با آن پرداخته و در مورد پارامترهای ورودی این نرم افزار و نحوه تعیین برخی از این پارامترها توسط نرم افزار RocLab بحث می‌شود و سپس برای مسیر تونل تحلیل پایداری و طراحی سیستم نگهداری می‌شود.

۲- روش‌های عددی

اساس روش‌های عددی شبیه سازی یک محیط با بینهایت درجه آزادی، توسط محیطی با درجه آزادی محدود در تعداد معینی از نقاط می‌باشد. در این حال اثر نیرو و بارگذاری در این نقاط بررسی شده و پس از تعیین میزان تغییر شکل در این نقاط برای سایر نقاط با روش‌های درون یابی و تغییر شکل محاسبه می‌گردد. در اغلب این مسائل محیط دارای شکل دلخواه می‌باشد که تحت بارگذاری ثقلی، نیروهای خارجی، تنشهای برجا، تغییرات درجه حرارت، فشار سیال، بیش تنش یافتنی، نیروهای دینامیکی و ... قرار گرفته و برای پیدا کردن تغییر شکلها از روابط تنش-کرنش استفاده می‌شود.

به طور کلی روش‌های تحلیل تنش در حفریات زیرزمینی را به دو گروه عمدۀ محیطی و مرزی تقسیم می‌کنند:

۱- روش‌های محیطی^۱ یا دیفرانسیلی^۲، توده سنگ را به عناصر ساده هندسی تفکیک می‌کنند که هر یک ویژگی‌های خاص خود را دارند و مجموعه این عناصر فرعی، رفتار کلی توده سنگ را بیان می‌کنند این گروه شامل روش‌هایی چون: روش عناصر محدود^۳ FEM، روش تفاوت محدود^۴ FDM و روش عناصر مجزا^۵ DEM می‌باشد.

¹ Domain

² Differential

³ Finite Element Method

⁴ Finite Difference Method

⁵ Distinct Element Method

۲- روش‌های مرزی^۶ یا انتگرالی^۷، فقط مرز خارجی حفریات زیرزمینی را به عناصر مجازی تقسیم می‌کنند و بخش درونی توده سنگ را به عنوان یک محیط نامحدود در نظر می‌گیرند. از متداولترین این روشها، روش عناصر مرزی^۸ BEM می‌باشد [۱۰].

۶-۱- روش عناصر محدود (FEM)

اساس روش عناصر محدود تقسیم مسئله به یکسری زیر ناحیه کوچک به نام المان با شکل های مختلف از قبیل سه ضلعی و چهار ضلعی برای مسائل دو بعدی و چهار و شش وجهی برای مسائل سه بعدی است. به منظور فرموله کردن جابجایی، توابعی که تعریف کننده مولفه های جابجایی در هر نقطه از المان و همچنین در نقاط گرهای انتخاب می‌گردند، سپس با استفاده از روابط کرنش جابجایی، کرنش ها محاسبه می‌شوند. در روش عناصر محدود فرض بر این است که اثر نیروهای داخلی بین لبه های المان مجاور به وسیله عکس العمل های آنها در نقاط گرهای بیان می‌شوند. این امر نیازمند تعیین معادلاتی برای نیروهای گره ای است. به طوری که این معادلات استاتیکی، نیروهای عمل کننده بین المانها در طول لبه های مجاور می‌باشند. یکی از معایب این روش آن است که تلاش قابل توجهی جهت تهیه داده های ورودی برای حل مسائل مختلف لازم است. این روش قادر به مدلسازی مسئله به بهترین شکل نمی‌باشد. علت این امر تعیین یک مرز اختیاری برای مسئله می‌باشد که در نتیجه یک مسئله نامتناهی باید به صورت یک مسئله متناهی مدل شود و این امر باعث ایجاد خطأ در نتایج و محاسبات می‌شود. با وجود این معایب، روش عناصر محدود در مهندسی سنگ بسیار مورد استفاده قرار می‌گیرد زیرا در شرایط متفاوت از قبیل بارگذاری های مختلف، حفاری های مرحله به مرحله، نصب نگهدارنده ها، مسائل خطی و غیر خطی به خوبی کاربرد داشته و قابل انعطاف است [۱].

⁶ Boundary

⁷ Integral

⁸ Boundary Element Method

۶-۲-۲- روش عناصر مرزی (BEM)

این روش نیز مانند روش عناصر محدود از عمومیت و شهرت خاصی برخوردار است. البته فهم تئوری آن مانند عناصر محدود ساده نیست و نیاز به درک پیچیدگی های ریاضی با سطح بالا دارد. در این روش فقط مرز محیط مورد نظر مثلاً "توده سنگ به اجزای کوچکتری تقسیم می شود. بنابراین در مسایل دو بعدی این اجزا به صورت خطی در مرز محیط می باشند. در حالت سه بعدی المانهای سطحی در مرز مسئله تعریف می شود. فراهم کردن داده های مورد نیاز در این روش نسبتا ساده است و در مواردی که تغییر خواص مصالح وجود دارد، بایستی سطح جدا کننده مواد را تعریف نمود. این روش معمولا برای مصالح با رفتار خطی و محیط های با یک نوع ماده کاربرد دارد. در این روش واکنش المانها نسبت به شرایط بارگذاری خارجی محاسبه می شود و تحلیل رفتار المانهای مرزی بر اساس معادلات دیفرانسیل جزئی شبیه سازی و تحلیل می شود و اگر مقادیر تنش ها و تغییر شکل ها را در داخل محیط مورد نظر خواسته باشیم، با انتگرال گیری از معادلات دیفرانسیل جزئی می توان آنها را محاسبه نمود. از مزایای روش این است که نیازی به کامپیوترهای قوی با حافظه بالا ندارد [۱].

۶-۲-۳- روش های تفاوت محدود (FDM) و عناصر مجزا (DEM)

روش تفاوت های محدود در مسائل مختلف مهندسی کاربرد زیادی دارد. از آنجا که با این روش می توان تغییر مکانها و کرنش های بزرگ توده سنگ را مدل کرد، لذا کاربرد آن در مهندسی مکانیک سنگ و تونل سازی، عمومیت دارد. از سوی دیگر، مبانی دو روش تفاوت محدود و عناصر مجزا، شبیه به هم است و به همین جهت، در بسیاری موارد آنها را با هم مطالعه می کنند. در روش تفاوت های محدود، اصولاً "محیط را پیوسته در نظر می گیرند، اما می توان وجود چند سطح ناپیوستگی را نیز مدل سازی کرد.

در هر دو روش تفاوت های محدود و عناصر مجزا، مسئله اصلی وضعیت تش و تغییر مکان در بلوکهای تغییر شکل پذیر است که از طریق یک سطح قابل تغییر شکل، با یکدیگر بر هم کنش دارند. در روش تفاوت های محدود، توده مورد مطالعه را به تعدادی منطقه چهار گوش تقسیم میکنند. تعداد و شکل این مناطق دلخواه است. با توجه به معادلات حرکت در مورد هر قلمرو معین، معادلات تفاوت نوشته می شود. در مرحله بعد، بخشی از توده سنگ در نقاط موسوم به گره، از سایر مناطق مجزا می شود، سپس معادلات حرکت گره ها برای تمام مناطق نوشته می شود. تئوری واگرایی گوس مبنای روش محاسبه نیروهای گره ها را تشکیل می دهد [10].

۳-۶- نرم افزار UDEC

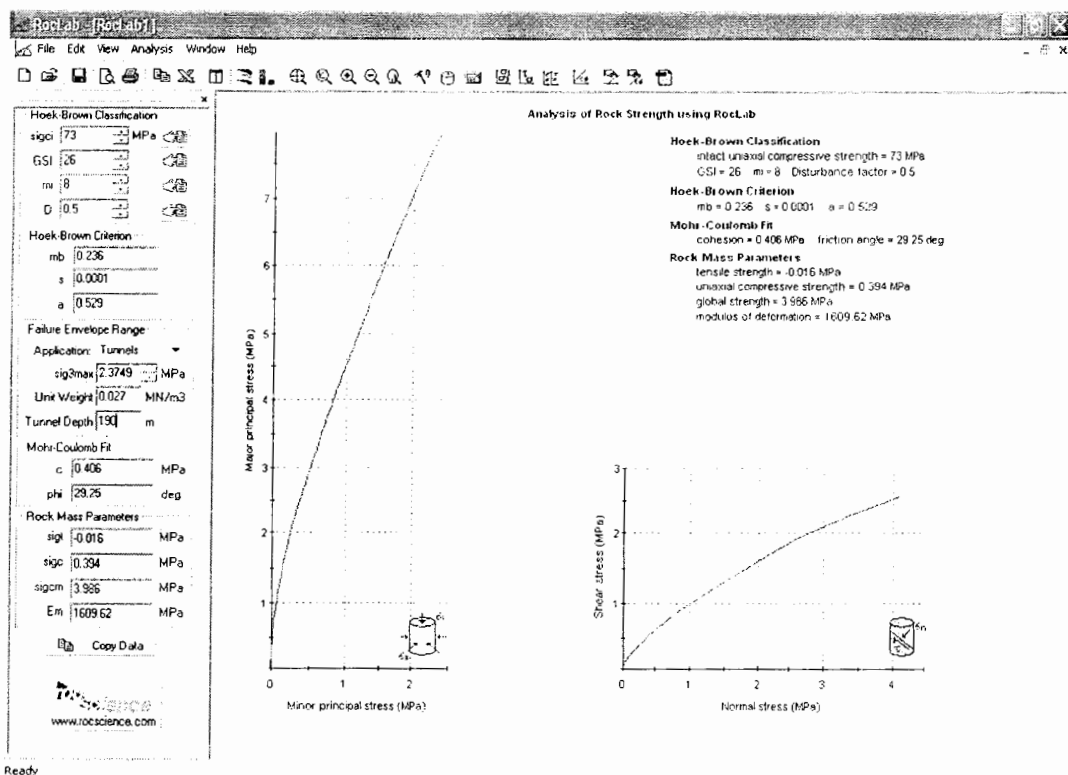
نرم افزار UDEC (Universal Distinct Element Code) ، یک برنامه تحلیل عددی دو بعدی است که بر مبنای روش المانهای مجزا برای تحلیل مکانیک سنگی محیط های ناپیوسته تهیه شده است. این نرم افزار واکنش یک محیط ناپیوسته (به عنوان مثال سنگ تکتونیزه و شدیداً درزه دار) را در برابر بارهای استاتیکی و دینامیکی شبیه سازی می کند. این نرم افزار محیط سنگی را به عنوان مجموعه ای از بلوکهای مجزا تعریف می کند که ناپیوستگی ها (مثل درزه ها) به عنوان شرایط مرزی بین بلوکی در آنها عمل می کنند و جابجاییهای برشی در امتداد این ناپیوستگی ها و نیز چرخش بلوک ها می تواند انجام گیرد. در این نرم افزار امکان تعریف بلوک ها به صورت صلب یا تغییر شکل پذیر وجود دارد. بلوک های تغییر شکل پذیر به شبکه ای از المان های با تفاوت محدود تقسیم بندی شده و هر المان با رفتار تنش-کرنش خطی یا غیر خطی از پیش تعیین شده ای عمل می کند. حرکت نسبی ناپیوستگی ها نیز با روابط خطی و یا غیر خطی نیرو- جابجایی در امتداد عمودی یا برشی ناپیوستگی ها پوشش داده می شود. نرم افزار UDEC دارای چند مدل رفتاری برای مواد دست نخورده و ناپیوستگی ها می باشد که مدلسازی ناپیوستگی ها را با شرایط موجود زمین شناسی وفق می دهد.

UDEC بر اساس محاسبات لاگرانژین عمل می کند که برای تغییر شکل ها و جابجاییهای بزرگ مورد استفاده قرار می گیرد. این نرم افزار با سرعت محاسبه بالا برای مدل هایی با چند هزار بلوك طراحی شده است و حل مسائل در آن با پیشرفت در پله های زمانی صورت می گیرد. با توجه به اینکه UDEC با پیش رفتن بصورت پله های زمانی معادلات تعادل نیرو و گشتاور را حل می نماید، در هر مرحله قبل از شروع مرحله بعدی نیروهای نامتعادل وارد بر سازه را محاسبه می نماید و حل مسئله را با اعمال این نیروها ادامه می دهد، یعنی در طول حل یک مدل نیروهای نامتعادل کننده به سمت صفر سوق داده می شود. وجود این قابلیت در UDEC امکان بررسی مسئله را در فازهای زمانی مختلف امکان پذیر می سازد و می توان مراحل مختلف اجرای یک طرح را شبیه سازی کرد [21].

شرایط ساختاری و زمین شناسی و ناپیوستگی های موجود در منطقه، در تطابق آن با اصول کلی عناصر مجزا، دلیل اصلی انتخاب نرم افزار UDEC در این تحقیق می باشد.

۱-۳-۶- تعیین پارامترهای ورودی نرم افزار

بدلیل تاثیر پذیری زیاد نرم افزار از پارامترها و اطلاعات ورودی، در انتخاب و تخمین این پارامترها دقیق خاصی باید مبذول گردد. برخی از این پارامترهای ورودی "مستقیماً" در منطقه و یا آزمایشگاه قابل اندازه گیری می باشند، مانند: مقاومت فشاری تک محوری، مدول الاستیسیته ماده سنگ بکر و یا پارامترهای مربوط به ناپیوستگی ها مثل شب و امتداد درزه ها و... که در گزارشات زمین شناسی و مطالعات ژئوتکنیکی پژوهش م وجود می باشد، اما برخی از پارامترهای ورودی به نرم افزار لازم است که توسط روابط و یا نرم افزارهایی که با استفاده از همین روابط و با دقیق بالا کار میکنند، تعیین گردد. یکی از این نرم افزارها که برای تعیین یکسری ویژگیهای توده سنگ مانند مدول الاستیسیته توده سنگ و ... بکار می رود، نرم افزار RocLab می باشد که بر اساس معیار شکست هوک و براون کار می کند و از سری مجموعه نرم افزارهای Rocscience می باشد و در این تحقیق استفاده شده است. محیط این نرم افزار در شکل (۱-۶) نشان داده شده است:



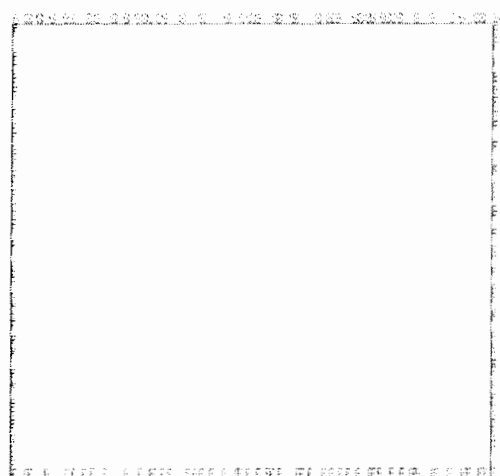
شکل ۱-۶ - محیط نرم افزار RocLab

همانگونه که در شکل بالا دیده می شود پارامترهای ورودی نرم افزار RocLab عبارتند از :

مقاومت فشاری تک محوری سنگ بکر (sig_c)، شاخص مقاومت زمین شناختی (GSI)، ضریب هوک و براون برای سنگ بکر (mi)، ضریب مربوط به نحوه حفاری تونل (D)، وزن مخصوص توده سنگ و عمقی که در آن تونل حفر می شود، می باشد. اما پارامترهای خروجی نرم افزار که در واقع برخی از پارامترهای ورودی نرم افزار UDEC می باشند عبارتند از : ضرایب هوک و براون برای توده سنگ (phi)، ضرایب معیار موهر - کولمب: مقاومت چسپندگی (c) و زاویه اصطکاک داخلی (phi)، (s و a)، ضرایب مدل (Em)، مقاومت فشاری تک محوری توده سنگ (sig_c) و مدول مقاومت کششی توده سنگ (sig_t)، مقاومت فشاری تک محوری توده سنگ (sig_m) و الاستیسیته توده سنگ (Em).

۲-۳-۶- خصوصیات هندسی مدل

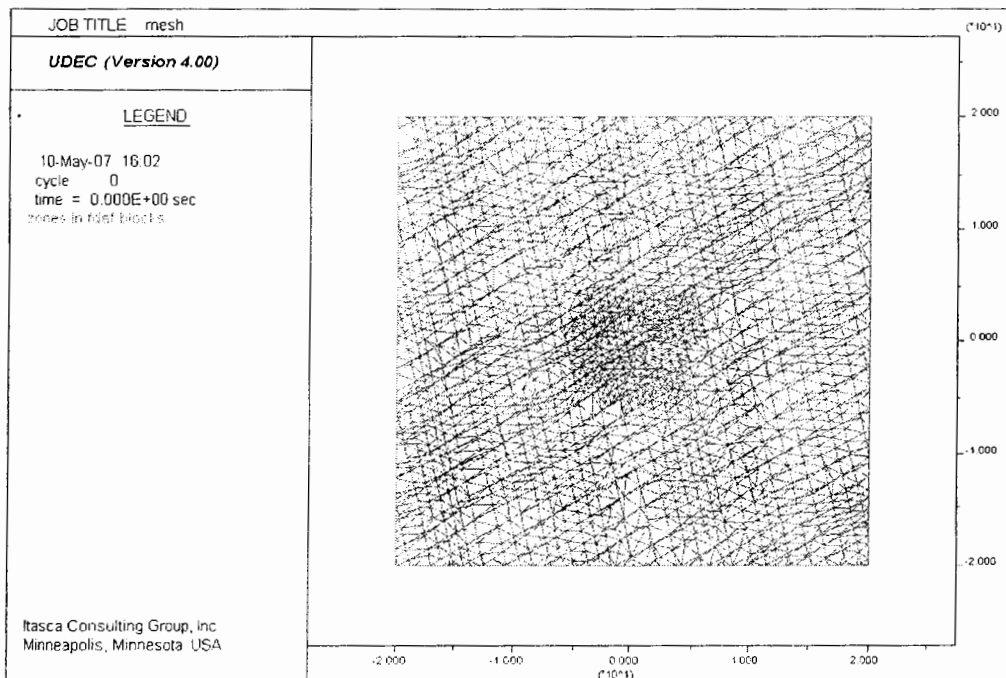
با توجه به هندسه مسیر و طول نسبتاً "زیاد تونل نسبت به ابعاد آن، فرض رفتار کرنش صفحه ای، تقریب بسیار مناسبی از جواب واقعی خواهد بود. در شرایط کرنش صفحه ای، تمام کرنش های بوجود آمده در همین صفحه می باشد و در بعد سوم، کرنش برابر صفر است ($\epsilon_z = 0$). به همین دلیل تونل بصورت دو بعدی مدل می شود. شکلهای (۲-۶) و (۳-۶) نمونه ای از جزئیات مدلسازی را نشان می دهد. برای حذف اثر شرایط مرزی، ابعاد مدل 40×40 متر در نظر گرفته شده است.



شکل ۲-۶- وضعیت مرزها در اطراف مدل



شکل ۳-۶- وضعیت دسته درزه ها و لایه بندی در مدل



شکل ۶-۴- نمونه ای از مش بندی مورد استفاده در مدل

همانگونه که مشاهده می شود در ناحیه اطراف تونل از مش ریزتری نسبت به سایر نقاط استفاده شده تا حل مدل با دقت و سرعت بالاتری انجام گردد، ضمناً "از المانهای مثلثی جهت مش بندی استفاده گردیده است.

۳-۳-۶- مدل رفتاری توده سنگ و ناپیوستگی ها

برای مدلسازی رفتار الاستوپلاستیک توده سنگ از مدل رفتاری موهر - کولمب استفاده شده است. این مدل رفتاری با قابلیت مدلسازی اثر فشار همه جانبی توده سنگ روی سطح تسلیم و تغییر شکلهای پلاستیک ایجاد شده، مدل مناسبی جهت ارزیابی محسوب می شود. این مدل رفتار سنگ را در بخش الاستیک نفی نمی کند بلکه در حالتی که رفتار آنها از حالت الاستیک خارج شود و به منطقه پلاستیک برسد، این بخش را شامل می گردد. پارامترهایی که برای تعیین مدل رفتاری موهر

- کولمب برای بلوکها باید تعریف گردد عبارتند از: وزن مخصوص توده سنگ، مدول الاستیسیته توده سنگ، ضریب پواسون، مقاومت چسپندگی، زاویه اصطکاک داخلی، مقاومت کششی و زاویه اتساع. نرم افزار با استفاده از فرمولهای زیر مدول حجمی و برشی را به کمک مدول الاستیسیته (E) و ضریب پواسون (ν) داده شده به طور اتوماتیک محاسبه می کند [21]:

$$K = \frac{E}{3(1 - 2\nu)} \quad (1-6)$$

$$G = \frac{E}{2(1 + \nu)} \quad (2-6)$$

K : مدول حجمی

G : مدول برشی

مدل رفتاری برای ناپیوستگی ها، مدل تماس صفحه ای کولمب می باشد. پارامترهای لازم برای تعریف این مدل عبارتند از: سختی نرمال درزه ها (j_{kn}), سختی برشی درزه ها (j_{ks}), مقاومت چسپندگی (j_{coh}) و زاویه اصطکاک داخلی (j_{fric}). در واقع سختی نرمال درزه عبارت است از مقاومت عمودی برای جلوگیری از بسته شدن درزه و سختی برشی درزه مقاومت مماسی یا برشی سطح درزه می باشد. برای تعیین این دو پارامتر از فرمولهای زیر استفاده می شود [21]:

$$\frac{1}{E_m} = \frac{1}{E_r} + \frac{1}{k_n s} \quad (3-6)$$

$$k_n = \frac{E_m E_r}{s (E_r - E_m)} \quad (4-6)$$

$$k_s = \frac{G_m G_r}{s (G_r - G_m)} \quad (5-6)$$

Em : مدول الاستیسیته توده سنگ

Er : مدول الاستیسیته ماده سنگ بکر

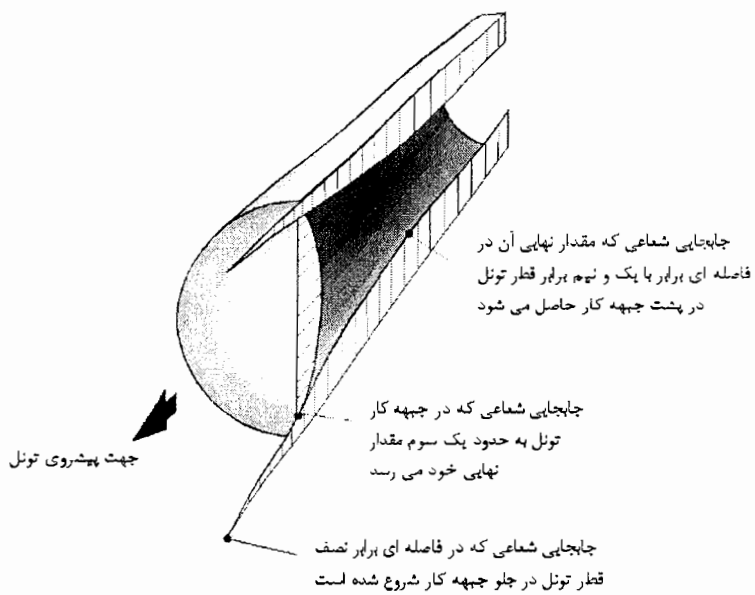
s : فاصله داری متوسط درزه ها

Gm : مدول برشی توده سنگ

Gr : مدول برشی ماده سنگ بکر

۴-۳-۶- معیارهای تحلیل و طراحی سیستم نگهدارنده اولیه

بررسی محققین مختلف نشان می دهد که تغییر شکل‌های توده سنگ از فاصله ای برابر با نصف قطر تونل در جلوی جبهه حفاری آغاز می شود. این تغییر شکل‌ها به تدریج اضافه می شود تا به حدود یک سوم جابجایی نهایی در جبهه حفاری برسد. با عبور از جبهه حفاری تغییر شکل‌ها افزایش یافته تا در حدود یک و نیم برابر قطر تونل، مقدار تغییر شکل به حداقل مقدار خود می رسد. در شکل (۵-۶) این فرایند نشان داده شده است.



شکل ۵-۶- الگوی جابجایی در سقف و کف تونل در حال پیشروی [۹]

بنابراین باید به این نکته توجه کرد که همواره بخشی از تغییر مکان کلی قبل از نصب سیستم نگهدارنده اتفاق خواهد افتاد (حدود ۳۳ درصد) که قابل جلوگیری نمی باشد. علاوه بر این تغییر شکل ایجاد شده، تغییر شکل دیگری نیز با توجه به فاصله بوجود آمده بین جبهه کار و مقطع نصب سیستم نگهداری اتفاق می افتد که هر چه فاصله جبهه حفاری و مقطع نصب پوشش کمتر باشد، جابجایی ایجاد شده کوچکتر خواهد بود [۹].

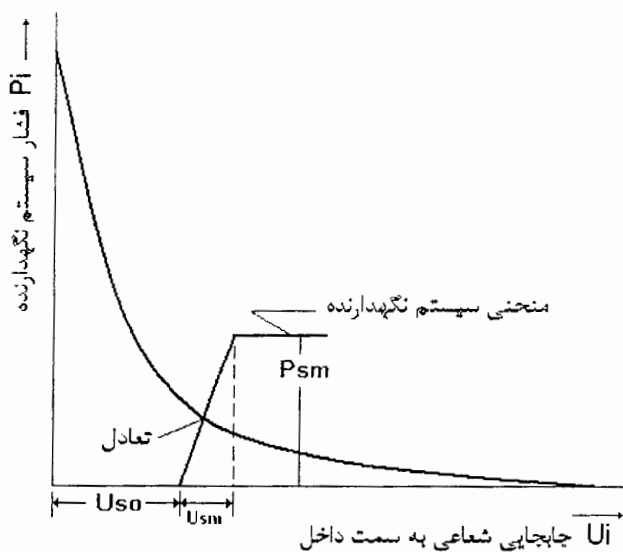
در این تحقیق به صورت محافظه کارانه فرض شده است که نصب سیستم نگهدارنده اولیه بلافصله پس از حفر صورت پذیرد که با توجه به استفاده از شاتکریت بعنوان سیستم نگهدارنده، این امر ممکن خواهد بود. بنابراین در نظر گرفتن آزاد سازی تنش کمتر برای سیستم نگهدارنده اولیه، نیروی بیشتری به آن وارد خواهد کرد که در جهت اطمینان می باشد.

در روش بکار گیری از پوشش های نرم (نظیر شاتکریت) بعنوان سیستم نگهدارنده، اجازه تغییر مکان به تونل داده خواهد شد. در این حالت بخشی از باربری توسط خود زمین تامین می شود. در این حالت ناحیه خمیری در توده سنگ میزبان اطراف تونل ایجاد خواهد شد که لزوماً به معنای شکست و خرابی سازه تونل نخواهد بود. در صورتی که ضخامت این ناحیه نسبت به قطر تونل اندک باشد، تونل همچنان پایدار بوده و امکان باربری خواهد داشت. در صورتی که به علت ضعف توده سنگ میزبان، ناحیه پلاستیک ایجاد شده توسعه یابد، در نهایت باعث خرابی تونل خواهد شد.

۴-۶- روش تعیین منحنی های اندرکنش توده سنگ

اولین گام در تحلیل عددی سیستم های نگهدارنده، تعیین منحنی اندرکنش زمین می باشد. منحنی عکس العمل زمین یا منحنی GRC (Ground Reaction Curve) در واقع ارتباط بین فشار سیستم نگهدارنده (P_i) و جابجایی شعاعی تونل به سمت داخل (U_i) است. همانطور که در شکل ۶-۶ مشاهده می شود، با افزایش فشار سیستم نگهدارنده، از جابجایی شعاعی تاج تونل یا دیواره و کف آن

به سمت داخل کاسته می شود. شکل (۶-۶) منحنی شماتیک واکنش سیستم نگهدارنده و توده سنگ اطراف را نمایش می دهد.



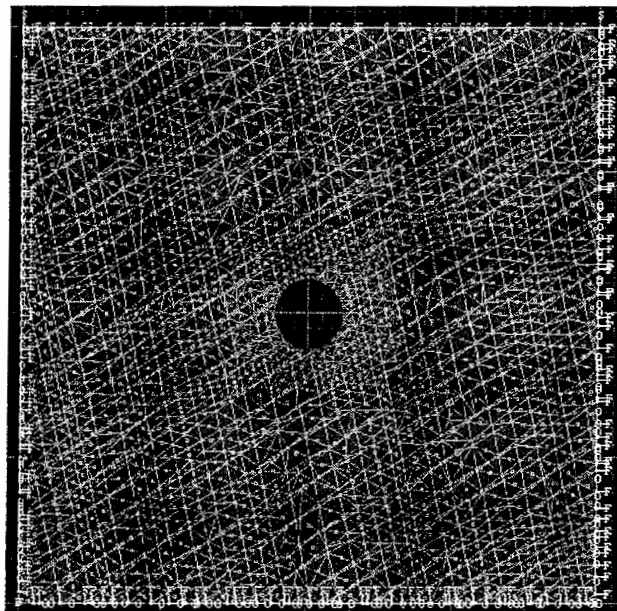
شکل ۶-۶- منحنی عکس العمل زمین (GRC) همراه با منحنی مشخصه سیستم نگهداری [20]

طراحی شاتکریت به عنوان سیستم نگهدارنده فضاهای زیرزمینی، فرایندی بسیار پیچیده است. فعل و انفعال پیچیده بین توده سنگ سست شده اطراف تونل و لایه ای از شاتکریت با ضخامت متغیر (که خواص مقاومتی آن در هر مرحله از گیرش تغییر نماید)، اکثر اقدامات در جهت تحلیل های تئوریکی را غیر ممکن می سازد، هرچند که با رشد و توسعه روش های عددی امکان انجام تحلیل های واقعی تر پدید آمده است. با توجه به آنکه همیشه حداقل یک مرحله از سیکل حفاری در فاصله بین سینه کار و نزدیکترین نگهدارنده نصب شده، اجرا می شود، لذا قبل از آنکه نگهدارنده تاثیر خود را بگذارد، تغییر شکل رخ می دهد. این جابجایی اولیه کلی با U_{so} معرفی می شود. همانطور که در شکل مشخص است، به محض نصب، سیستم نگهدارنده شروع به تغییر شکل الاستیک خواهد کرد. در این حالت حداقل جابجایی الاستیک که می تواند در سیستم نگهدارنده پدید آید U_{sm} بوده و حداقل فشار نگهداری P_{sm} می باشد که همان نقطه تسلیم سیستم نگهدارنده است.

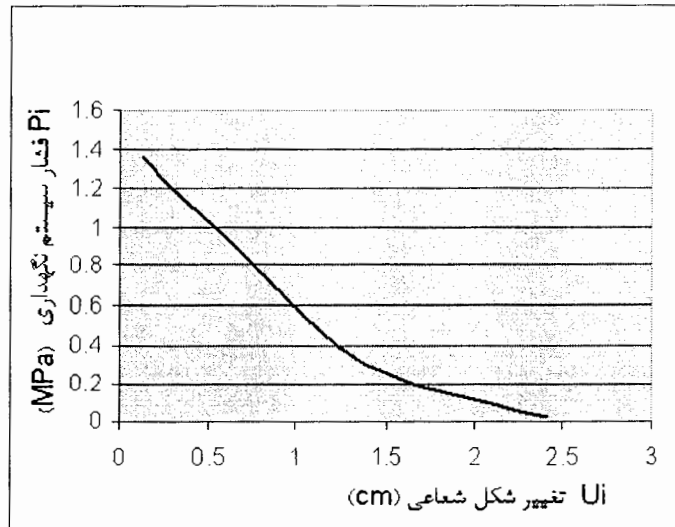
به همراه پیشروی جبهه کار و فاصله گرفتن از نقطه مورد بررسی، سیستم نگهدارنده در واکنش به جمع شدگی تونل به طور الاستیک تغییر شکل خواهد داد. این تغییر شکل تحت تاثیر مشخصه های سیستم نگهدارنده، توده سنگ دربرگیرنده تونل و سطح تنش می باشد [20].

۶-۴-۱- تعیین منحنی اندرکنش توده سنگ (GRC) قسمت های مختلف تونل

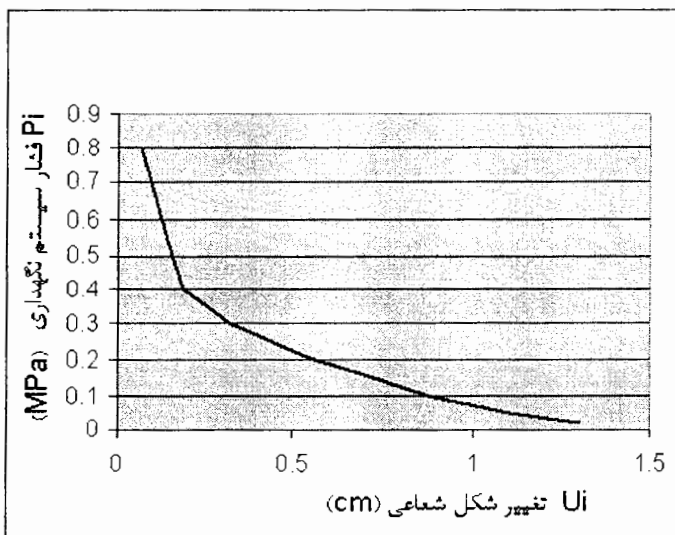
برای رسم منحنی عکس العمل توده سنگ قسمت های ورودی، خروجی و مقطع حداکثر روباره به عنوان نمونه در این بخش، از روش عددی و نرم افزار UDEC 4.0 استفاده شده است. مقطع مورد نظر با فرض دایره بودن مقطع تونل مدل شده و با اعمال تدریجی تنش یکنواخت روی مرز داخلی بخش حفاری، به عنوان فشار سیستم نگهدارنده، جابجایی های شعاعی در دو نقطه تاج تونل (سقف تونل) و دیواره آن ثبت گردیده است. در نهایت با در نظر گرفتن جابجایی های تاج یا دیواره تونل روی محور x دستگاه مختصات و فشار سیستم نگهدارنده (تنش داخلی روی مرز حفاری)، روی محور y ، منحنی GRC واکنش توده سنگ قسمت مورد نظر از مسیر تونل، ترسیم شده است.



شکل ۶-۷- مدل مورد نظر برای رسم منحنی GRC بوسیله نرم افزار UDEC

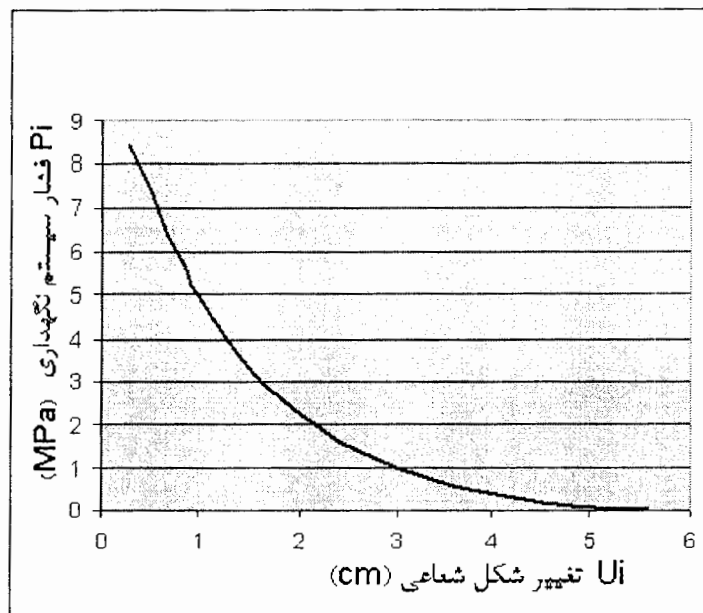


شکل ۸-۶- منحنی GRC تاج تونل برای توده سنگهای قسمت ورودی تونل (Part 1)

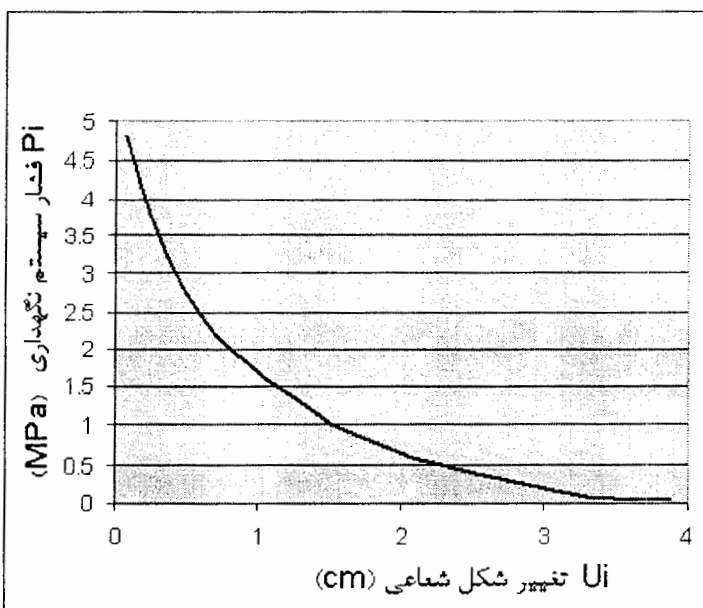


شکل ۹-۶- منحنی GRC دیواره تونل برای توده سنگهای قسمت ورودی تونل (Part 1)

همانطور که در این نمودارها مشاهده می شود، در قسمت ورودی تونل با حداکثر روباره ۴۰ متر، مقدار حداکثر جابجایی بدون نصب سیستم نگهدارنده، حدود ۲۵ میلیمتر در تاج تونل و ۱۳ میلیمتر در دیواره خواهد بود. به تدریج با افزایش فشار سیستم نگهداری، این جابجایی کاهش می یابد.



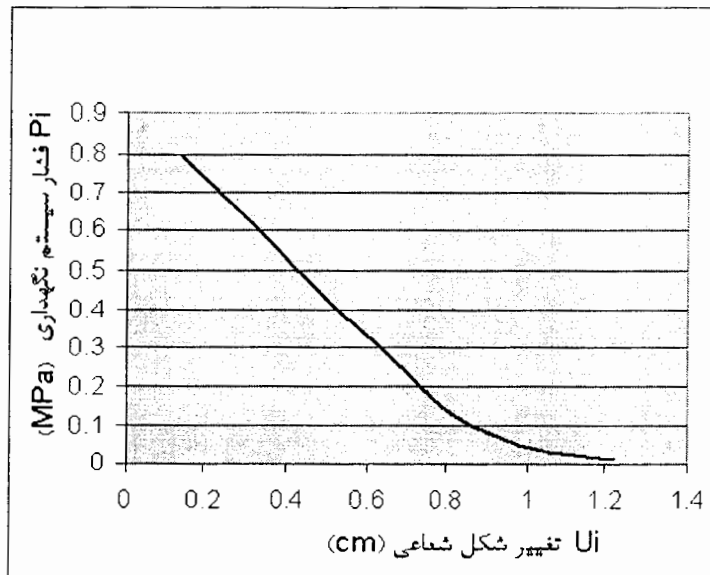
شکل ۱۰-۶- منحنی GRC تاج تونل برای توده سنگهای قسمت حداکثر روباره (Part 3)



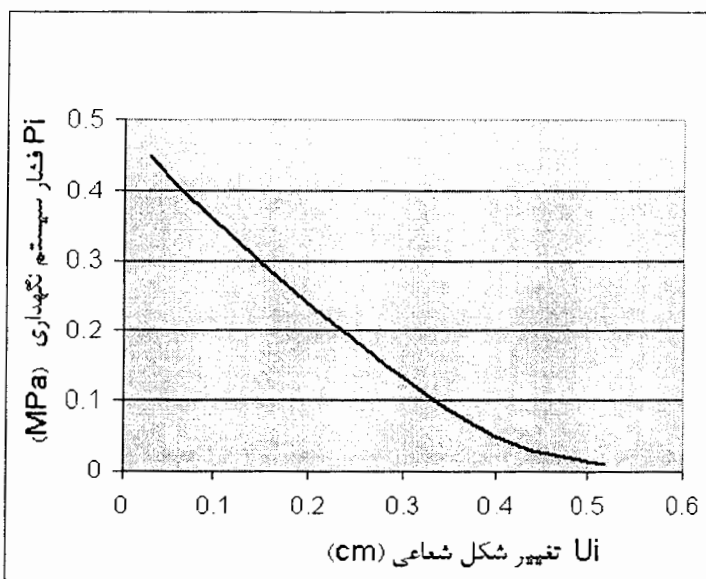
شکل ۱۱-۶- منحنی GRC دیواره تونل برای توده سنگهای قسمت حداکثر روباره (Part 3)

در مقطع حداکثر روباره (۳۵۰ متر)، مقدار حداکثر جابجایی بدون نصب سیستم نگهداری، ۵۸

میلیمتر در تاج تونل و ۴۳ میلیمتر در دیواره تونل می باشد که این میزان به تدریج با افزایش فشار سیستم نگهداری، این جابجایی کاهش می یابد.



شکل ۱۲-۶ - منحنی GRC تاج تونل برای توده سنگهای قسمت خروجی تونل (Part 23)



شکل ۱۳-۶ - منحنی GRC دیواره تونل برای توده سنگهای قسمت خروجی تونل (Part 23)

در مقطع خروجی تونل با در نظر گرفتن ۴۰ متر روباره و با توجه به کیفیت نسبتاً خوب سنگ، مقدار حداقل جابجایی بدون نصب سیستم نگهداری، حدود ۱۲ میلیمتر در تاج تونل و ۷ میلیمتر در دیواره می‌باشد که به تدریج با افزایش فشار سیستم نگهداری، این جابجایی کاهش می‌یابد.

۶-۵- تحلیل پایداری و طراحی سیستم نگهداری موقت تونل انتقال آب خدنگستان

در بخش‌های قبلی، تحلیل پایداری و طراحی سیستم نگهداری قسمت‌های مختلف تونل انتقال آب خدنگستان بر اساس روش‌های تجربی و تحلیلی انجام شد. از آنجا که در بکارگیری این روش‌ها از برخی فرضیات ساده کننده همانند فرض تنش‌های هیدرولوستاتیک در اطراف تونل و دایروی بودن مقطع تونل در روش تحلیلی برای تعیین سیستم نگهداری و بسیاری از فرضیات ساده کننده دیگر در روش‌های تجربی و استفاده از نمودارها و روابطی که بر اساس تجربیات بدست آمده‌اند، استفاده شده است، بنابراین بکارگیری این روش‌ها برای تحلیل پایداری و تعیین سیستم نگهدارنده مناسب و مطمئن، از جهت داشتن یک زمینه و پیش‌فرض قبلی و یک دید کلی نسبت به مسئله مناسب است، اما زیاد نمی‌توان به نتایج این روش‌ها تکیه کرد و لازم است با بکارگیری روش‌های عددی و یک نرم افزار مناسب که با توجه به شرایط توده سنگ و ناپیوستگی‌های منطقه انتخاب می‌گردد، به نتایج قابل اطمینان تری دست یافت.

بدین منظور در این بخش بر اساس روش عددی و به کمک نرم افزار 4.0 UDEC به تحلیل پایداری و طراحی سیستم نگهداری مناسب برای توده سنگ‌های مسیر تونل انتقال آب که به بیست و سه قسمت تقسیم شده است، می‌پردازیم. در ابتدای این بخش به بررسی نتایج نرم افزار در تعیین میزان حداکثر جابجاییها در سقف و دیواره تونل در شرایط کرنش صفحه‌ای و قبل از نصب سیستم نگهداری برای قسمت‌های مختلف تونل پرداخته شده، سپس برای نمونه، مراحل مدلسازی در قسمت حداکثر روباره و نتایج نموداری نرم افزار برای این مقطع قبل و بعد از نصب سیستم نگهداری همراه با تشریح عناصر بکار رفته در سیستم نگهدارنده، آورده شده است. جدول ۱-۶ میزان حداکثر جابجایی‌های سقف و دیواره تونل در مقاطع مختلف مسیر تونل را نشان می‌دهد:

جدول ۱-۶- میزان حداکثر جابجایی ها در سقف و دیواره تونل قبل از نصب سیستم نگهداری برای ۲۳

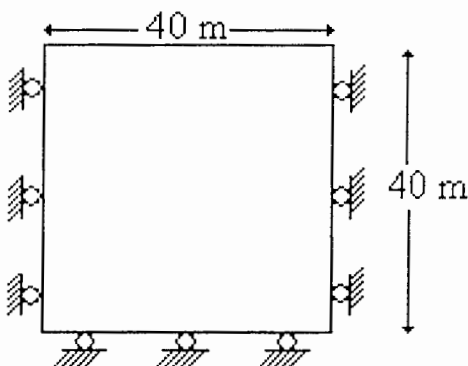
قسمت مسیر تونل انتقال آب

قسمت	از ...	تا ...	جابجایی قائم در سقف (cm)	جابجایی افقی در دیواره (cm)
۱	۰+۰۵۰	۰+۰۵۰	۲/۴۸	۱/۱۳
۲	۰+۰۵۰	۰+۰۵۰	۸/۳	۷
۳	۰+۰۵۰	۰+۰۹۰	۵/۸	۴/۳۲
۴	۰+۰۹۰	۱+۰۱۰	۹/۰۴	۸/۸
۵	۱+۰۱۰	۱+۰۹۰	۳/۵	۳/۱
۶	۱+۰۹۰	۲+۳۱۵	۱/۳	۰/۷۱
۷	۲+۳۱۵	۲+۵۴۵	۰/۹۴	۰/۴
۸	۲+۵۴۵	۲+۷۴۵	۱/۱	۰/۶۲
۹	۲+۷۴۵	۳+۷۷۰	۳/۳	۲/۹
۱۰	۳+۷۷۰	۳+۸۷۰	۸/۶	۷/۸
۱۱	۳+۸۷۰	۴+۸۳۰	۳/۳	۲/۷
۱۲	۴+۸۳۰	۵+۰۳۰	۱/۴	۰/۶۲
۱۳	۵+۰۳۰	۶+۱۰۰	۱/۴۶	۰/۱۸
۱۴	۶+۱۰۰	۶+۳۰۰	۱/۳	۰/۷۱
۱۵	۶+۳۰۰	۶+۵۹۰	۱/۴۶	۱/۱۸
۱۶	۶+۵۹۰	۶+۸۹۰	۲/۱	۱/۵
۱۷	۶+۸۹۰	۸+۲۱۰	۱/۶۲	۱/۳
۱۸	۸+۲۱۰	۸+۴۱۰	۱/۷	۱/۲
۱۹	۸+۴۱۰	۹+۲۶۰	۱/۷	۱/۲
۲۰	۹+۲۶۰	۱۰+۲۸۵	۱/۲۸	۰/۷
۲۱	۱۰+۲۸۵	۱۰+۴۸۵	۱/۱	۰/۶۲
۲۲	۱۰+۴۸۵	۱۰+۸۸۵	۰/۸۶	۰/۳۸
۲۳	۱۰+۸۸۵	۱۱+۲۶۶	۱/۱	۰/۶۲

برای آنکه نشان داده شود جدول قبلی (۱-۶) چگونه تهیه شده است، به عنوان نمونه برای مقطع حداکثر روباره مراحل مدلسازی و تحلیل تشن و مشخص کردن جابجایی های اطراف تونل در قسمت ۱-۵-۶ آمده است. (لازم به ذکر است که داده های ورودی برای این زون در قسمت پیوست به صورت فایل متنی موجود می باشد).

۶-۵-۱- مراحل مدلسازی و تحلیل تنش در مقطع حداکثر روباره

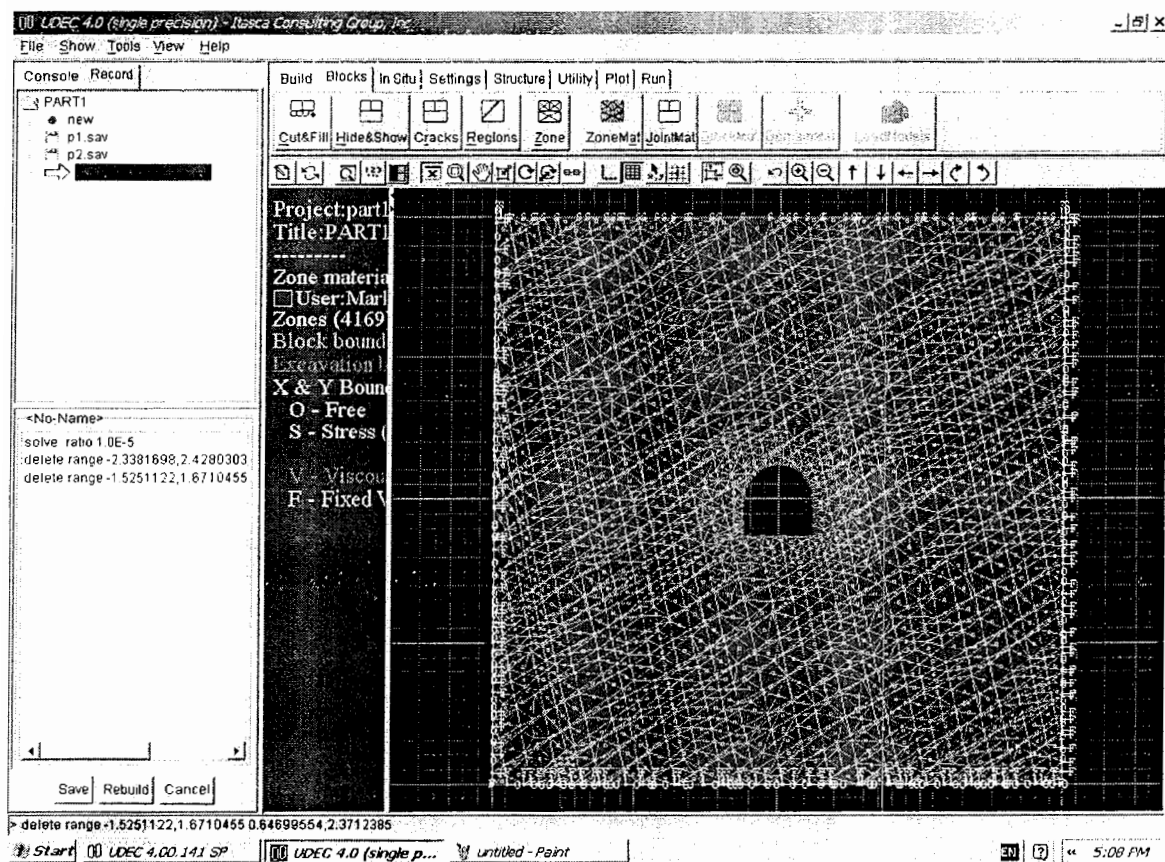
مشخصات تونل، سطح مقطع نعل اسبی با عرض ۵ متر، ارتفاع دیواره ۲/۵ متر، و قوس نیم دایره به شعاع ۲/۵ متر می باشد که در مدلسازی در نظر گرفته شده است. جهت برآورده شدن شرایط مستهلك شدن اغتشاش ناشی از ایجاد حفره در مقادیر تنش و جابجایی و جلوگیری از اثر شرایط مرزی، ابعاد مدل 40×40 متر در نظر گرفته شده است. از آنجا که شعاع تونل نسبت به طول آن ناچیز است شرایط کرنش صفحه ای برقرار است. در شرایط کرنش صفحه ای، تمام کرنش های بوجود آمده در همین صفحه می باشد و در بعد سوم، کرنش برابر صفر است ($\epsilon_z = 0$). مرزهای کناری مدل (سمت راست و چپ مدل) و مرز پایینی به صورت غلتکی در نظر گرفته می شوند و روی مرز بالایی تنش ثقلی ناشی از وزن روباره بالای مدل اعمال می گردد.



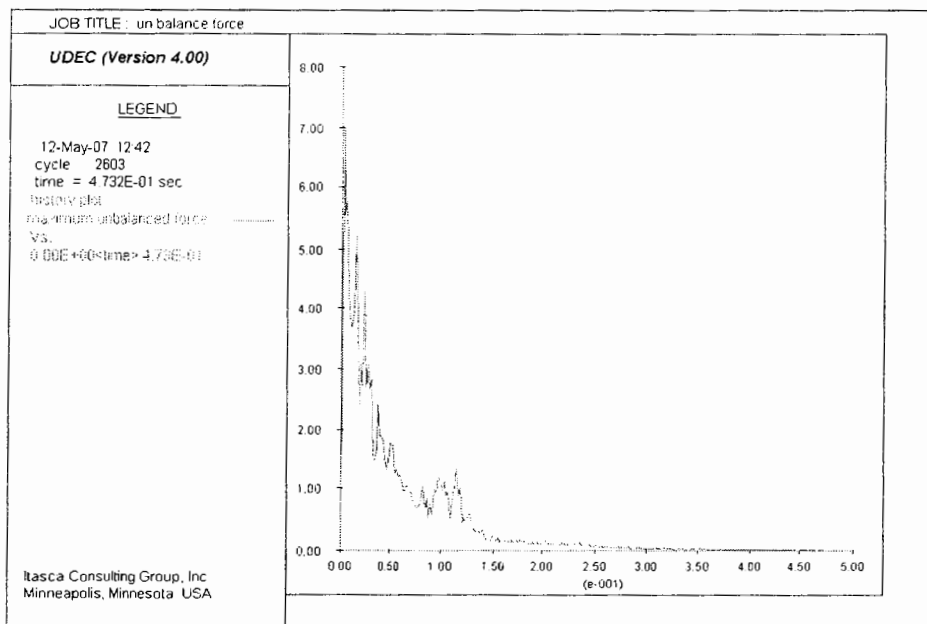
شکل ۱۴-۶ - وضعیت مرزها در مدل

پس از اعمال شرایط مرز بر روی مدل، پارامتر های مربوط به توده سنگ و ناپیوستگی ها (که در بخش ۳-۳-۶ مدل رفتاری توده سنگ و ناپیوستگی ها پارامترهای مورد نیاز مشخص شده اند) به مدل اختصاص داده می شود. این مقادیر برای مقطع حداکثر روباره در قسمت پیوست به صورت یک فایل متند آورده شده است. پس از آنکه این ویژگی ها به مدل اختصاص داده شد و مدل حل و تونل

حفاری گردید، می‌توان نتایج تحلیل‌ها را در نرم افزار مشاهده کرد. اولین نمودار مربوط به نیروهای نامتعادل کننده (unbalance force) است که در ضمن حل مسئله (اجرا کردن مدل) این نیروها به سمت صفر میل می‌کنند. در شکل ۱۵-۶ محیط نرم افزار UDEC 4.0 و مدل ساخته شده در آن نشان داده شده است. در شکل ۱۶-۶ نیروهای نامتعادل کننده در حل مدل در مقطع حداکثر روباره نشان داده شده که به سمت صفر میل کرده و نشان می‌دهد که مدل به تعادل رسیده است.



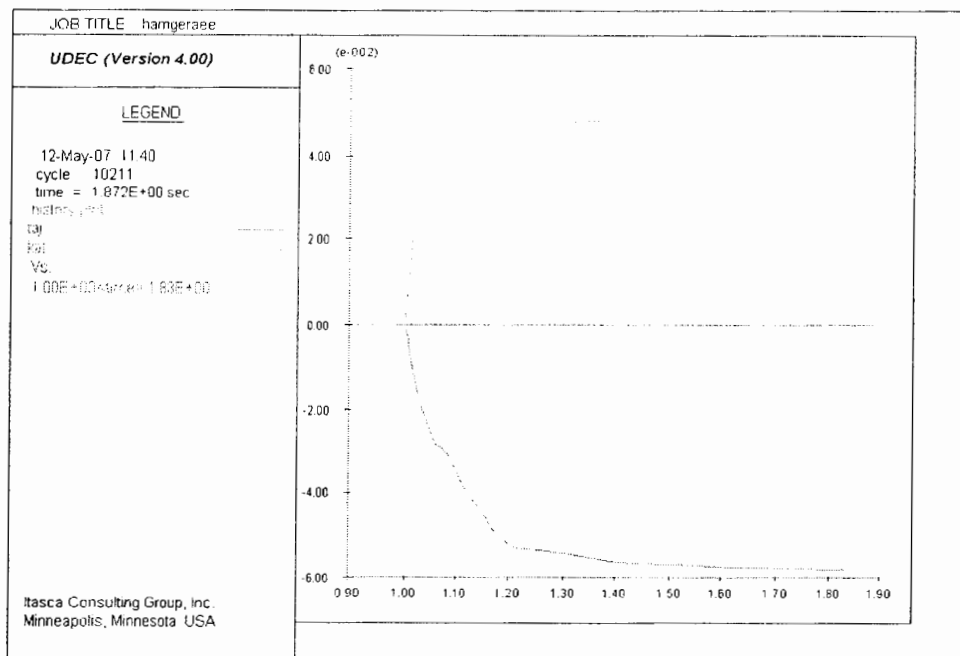
شکل ۱۵-۶- محیط نرم افزار UDEC 4.0 همراه با مدل ساخته شده و مقطع تونل



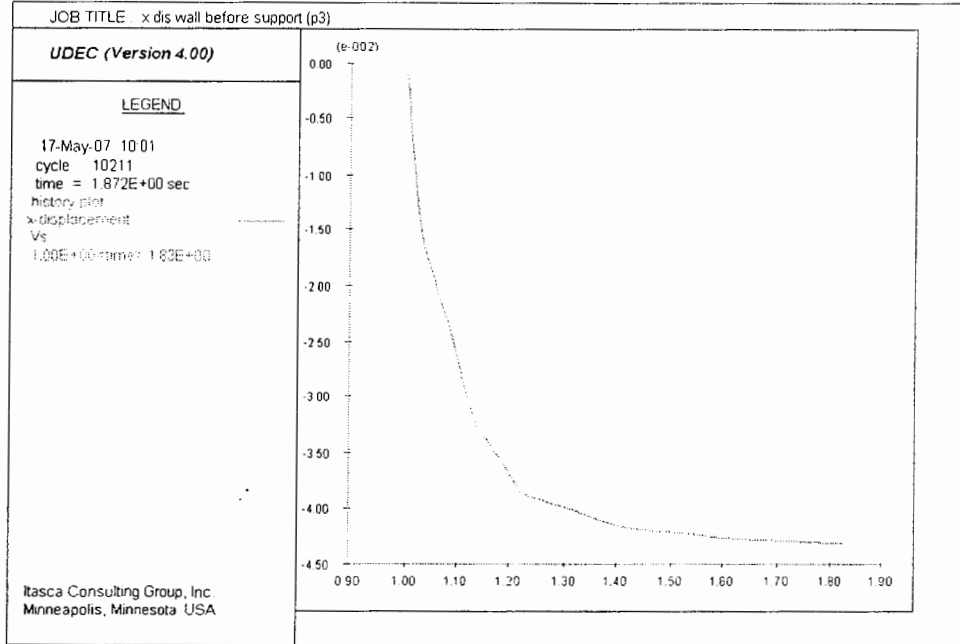
شکل ۱۶-۶ - نیروهای نامتعادل کننده در حل مدل مقطع حداکثر روباره

پس از حل مدل و به تعادل رسیدن آن، مقطع تونل حفاری شده و برای مشاهده میزان جابجایی ها در سقف و اطراف تونل مدل دوباره اجرا می شود. در شکل ۱۷-۶ نمودار همگرایی تونل (یعنی جابجایی سقف و کف تونل) برای مقطع حداکثر روباره نشان داده شده است. همانگونه که مشاهده می شود این میزان برای سقف تونل (قبل از نصب سیستم نگهداری) برابر $5/8$ سانتیمتر و برای کف $4/8$ سانتیمتر می باشد. همگرایی تونل معادل $10/6$ سانتیمتر می باشد. شکل ۱۸-۶ جابجایی دیواره تونل را نشان می دهد که همانگونه که مشاهده می شود این مقدار برابر $4/32$ سانتیمتر می باشد.

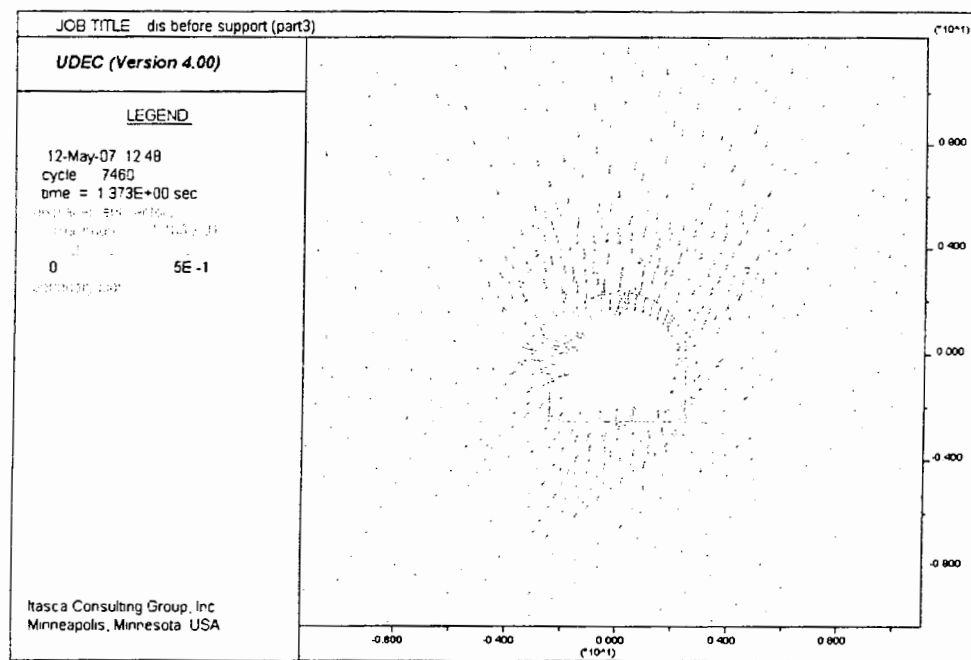
شکل ۱۹-۶ بردارهای جابجایی نقاط اطراف تونل را نشان می دهد. در شکل ۲۰-۶ نقاط پلاستیک اطراف تونل قبل از نصب سیستم نگهداری نشان داده شده است که همانگونه که در ادامه دیده خواهد شد، بعد از نصب سیستم نگهداری نقاطی که دچار شکست کششی شده اند و سطوح تسلیم، به حداقل خواهند رسید.



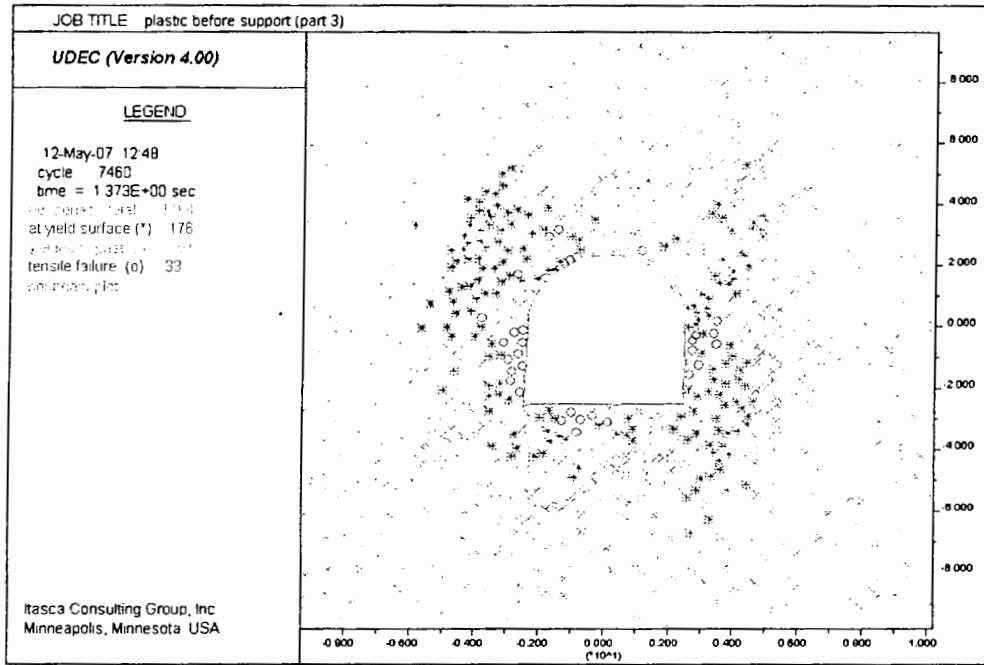
شکل ۱۷-۶ - نمودار همگرایی سقف و کف تونل برای مقطع حداکثر روباره



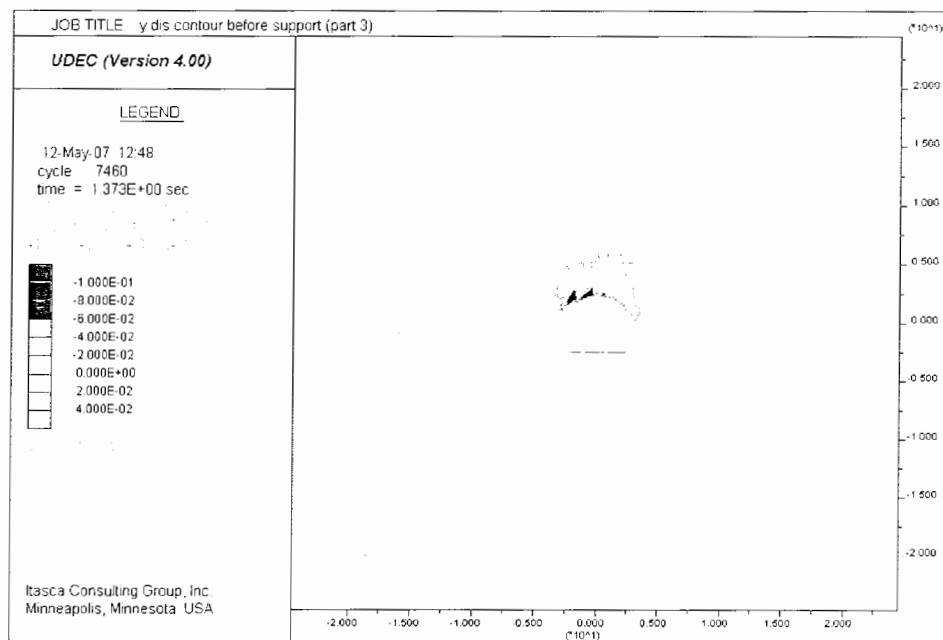
شکل ۱۸-۶ - نمودار جابجایی افقی دیواره تونل به سمت داخل برای مقطع حداکثر روباره



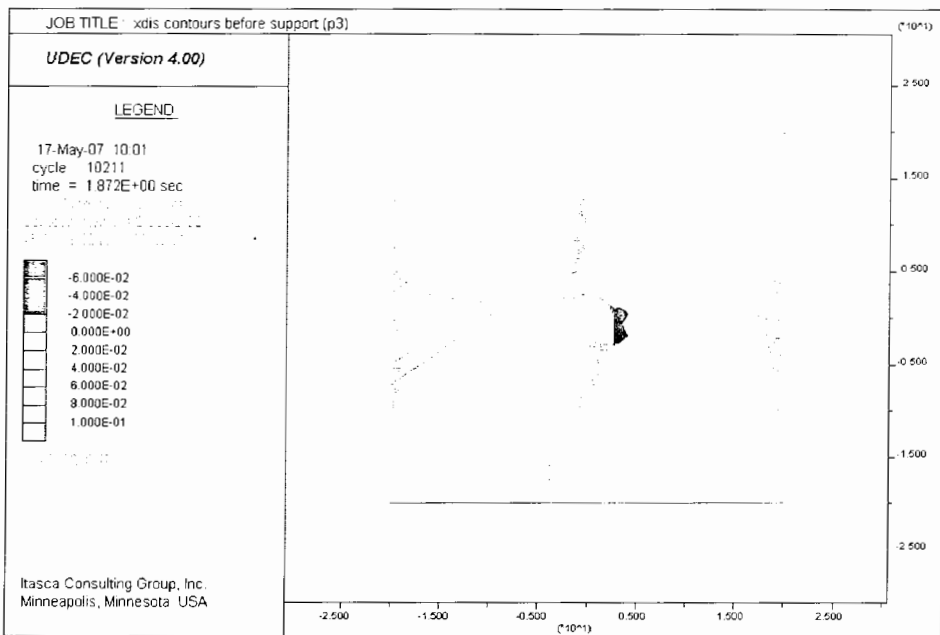
شکل ۱۹-۶- بردارهای جابجایی در نقاط اطراف تونل در مقطع حداکثر روباره



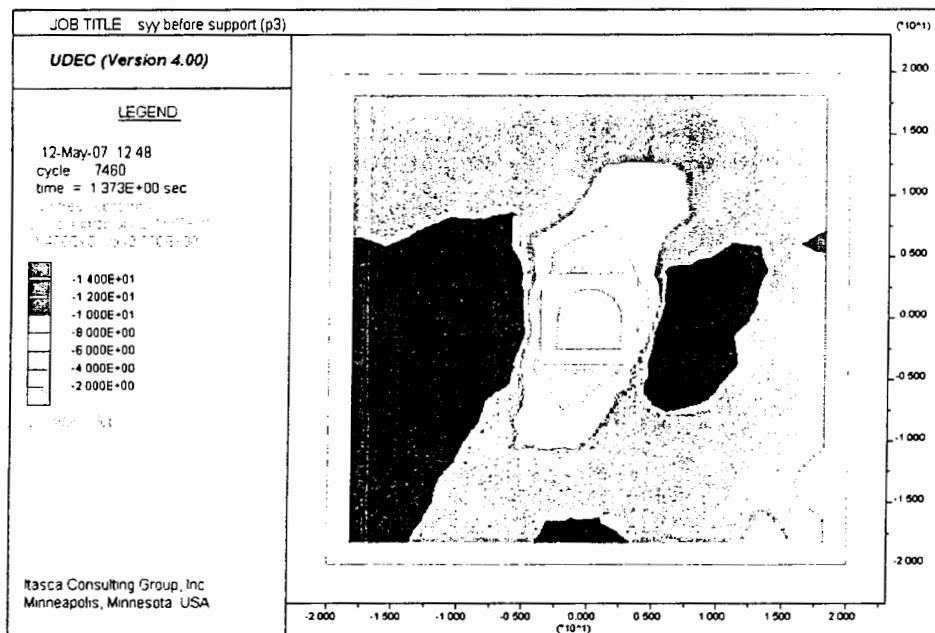
شکل ۲۰-۶- نقاط پلاستیک اطراف تونل همراه با سطوح تسلیم و شکست کششی قبل از نصب سیستم
نگهداری در مقطع حداکثر روباره



شکل ۲۱-۶- نمودار تراز جابجایی قائم اطراف تونل قبل از نصب سیستم نگهداری در مقطع حداکثر روباره



شکل ۲۲-۶- نمودار تراز جابجایی افقی اطراف تونل قبل از نصب سیستم نگهداری در مقطع حداکثر روباره



شکل ۲۳-۶- نمودار تراز تنش های قائم Syy قبل از نصب سیستم نگهداری در مقطع حداکثر روباره

همانگونه که مشاهده گردید، در شکل های ۲۱-۶ و ۲۲-۶ نمودار تراز جابجایی های قائم و افقی در اطراف تونل مقطع حداکثر روباره و قبل از نصب سیستم نگهداری نشان داده شده است. شکل ۲۳-۶ مربوط به تنش های قائم Syy در مقطع حداکثر روباره، بعد از حفاری تونل و قبل از نصب سیستم نگهداری می باشد.

پس از ثبت جابجایی های انجام شده در اثر حفاری، مدل به حالت قبل از حل کردن پس از حفاری بازگردانده شده و این بار با نصب سیستم نگهداری حل می شود. جهت اینکه جابجایی های انجام شده قبل از رسیدن حفاری به مقطع مورد نظر، و یا تاثیر فاصله نصب سیستم نگهداری از مقطع مورد نظر مدل شود (که در بخش ۴-۳-۶ مطرح گردید)، مقداری آزاد سازی تنش (حدود ۳۵ درصد بسته به شرایط) قبل از نصب سیستم نگهداری انجام می شود. در ادامه ابتدا به تشریح المانهای بکار رفته در سیستم نگهداری پرداخته و بعد تاثیر سیستم نگهداری در کاهش جابجایی ها و پایداری تونل بررسی می شود.

۶-۵-۲- تشریح عناصر بکار رفته به عنوان سیستم نگهداری تونل انتقال آب

در نرم افزار UDEC در مدلسازی شاتکریت می توان از المانهای Beam Liner یا ، برای مدلسازی پیچ سنگ از المان Cable apply (برای پیچ سنگ های پیش تنیده) و برای مدل کردن قاب فولادی یا تیر ها از المان Beam استفاده نمود.

المان Cable یک المان دو نقطه ای است که به صورت محدود و مستقیم بوده و با مشخص کردن مختصات نقاط ابتدا و انتهایی آن و تعداد سگمنت ها (بسته به طول آن که معمولاً "به ازای هر متر طول یک المان در نظر گرفته می شود) تعریف می شود. این المان قابلیت تحمل کشش یا فشارش را دارد اما نمی تواند لنگر خمی را تحمل کند. علاوه بر مختصات شروع و پایان المان، تعداد سگمنت در هر پیچ سنگ، سطح مقطع پیچ سنگ، مدول الاستیسیته فولاد پیچ سنگ، مقاومت فشاری فولاد، وزن مخصوص و ضریب پواسون فولاد، پارامتر های زیر نیز باید مشخص گردد:

$$S_b = p \cdot (D+2t) \cdot T_{max} \quad (6-6)$$

که در آن:

S_b : مقاومت برشی دوغاب تزریقی بر حسب پاسکال (grout shear strength)
D : قطر پیچ سنگ بر حسب متر
t : اختلاف شعاع پیچ سنگ از شعاع چالی که در آن قرار دارد بر حسب متر
T_{max} : مقاومت برشی دوغاب که برابر نصف مقاومت فشاری تک محوری سنگ یا دوغاب مصرفی است. (مقاومت فشاری تک محوری دوغاب را معمولاً " ۲۰ مگاپاسکال در نظر می گیرند.

$$K_b = 2pG / 10 \ln (1+(2t / D)) \quad (7-6)$$

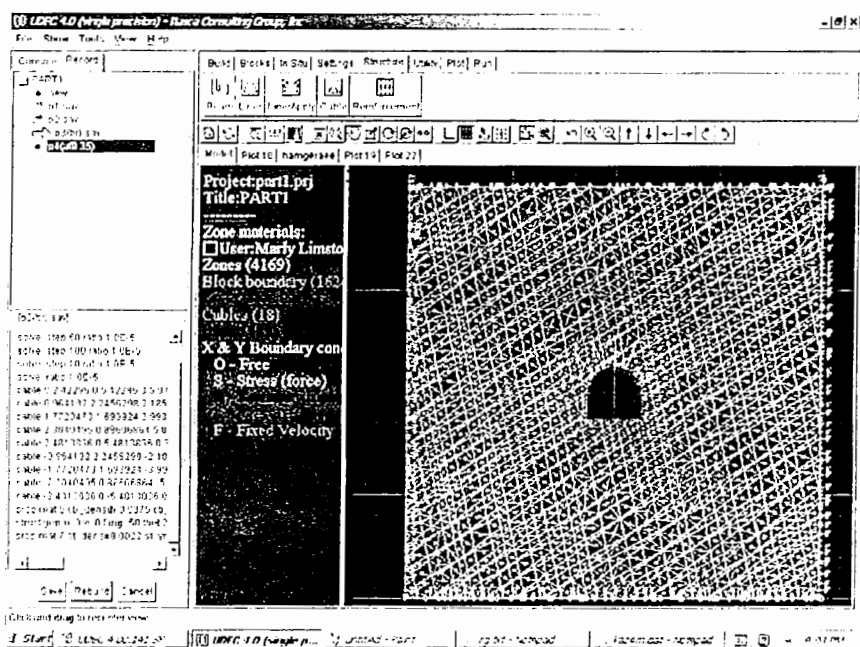
K_b : سختی برشی دوغاب تزریقی (grout shear stiffness)
G : مدول برشی دوغاب مصرفی که معمولاً " آن را ۹ گیگاپاسکال در نظر می گیرند.

برای مدل کردن شاتکریت در نرم افزار UDEC با دستور Struct لازم است ابتدا مختصات نقطه‌ای که از آنجا بتن پاشیده می‌شود، تعیین گردد. سپس زاویه شروع و پایان بتن پاشی، ضخامت اجرای شاتکریت، تعداد سگمنت‌ها، تعیین شده و در نهایت خواص بتن بکار رفته باید مشخص شود. این خواص شامل: وزن مخصوص بتن، ضریب پواسون، مدول الاستیسیته و مقاومت فشاری تک محوره بتن می‌باشد.

۶-۵-۳- خلاصه نتایج مدلسازی پس از نصب سیستم نگهداری برای قسمت‌های مختلف

مسیر تونل انتقال آب

پس از ساخت مدل و حل کردن آن با بکارگیری عناصر شرح داده شده در بخش قبل به عنوان سیستم نگهدارنده، میزان جابجایی‌های قائم و افقی در سقف و دیواره تونل برای قسمت‌های مختلف مسیر تونل از نرم افزار بدست آمده که این نتایج در جدول ۶-۲ آورده شده و به عنوان نمونه برای مقطع حداکثر رویاره بررسی شده است.



شکل ۶-۲۴- نمونه‌ای از سیستم نگهداری مدل شده در نرم افزار UDEC 4.0

جدول ۲-۶- میزان جابجایی قائم در سقف و افقی در دیواره تونل پس از نصب سیستم نگهداری در

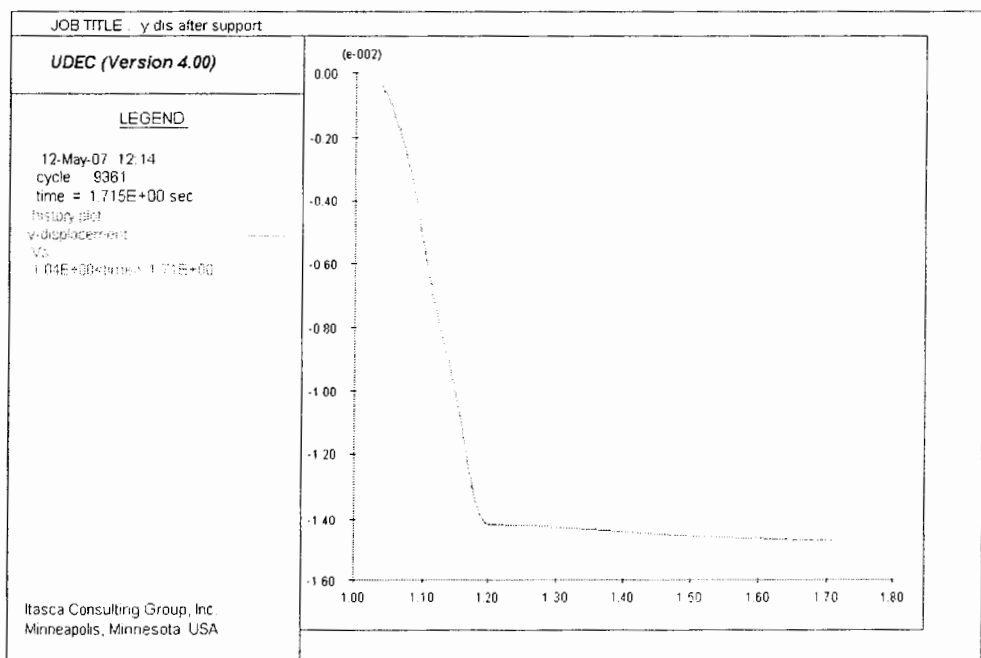
قسمت های مختلف مسیر تونل انتقال آب

قسمت نگهداری سیستم	جابجایی افقی در سقف در دیواره (میلیمتر)	جابجایی قائم در سقف (میلیمتر)	قسمت
B (1.5×1.5) + SH (12 cm)	۰/۳۱	۲/۳	۱
B (1×1) + SH (15 cm)	۶/۱	۱۲/۵	۲
B (1×1) + SH (15 cm)	۶/۱	۱۴/۷	۳
B (1×1) + SH (15 cm)	۳/۴	۱۳	۴
B (1×1) + SH (15 cm)	۳/۴	۹/۸	۵
B (1.5×1.5) + SH (7.5 cm)	۱/۸	۴/۳	۶
B (1.5×1.5) + SH (5 cm)	۱/۵۶	۴/۲	۷
B (1.5×1.5) + SH (7.5 cm)	۰/۸	۲/۹	۸
B (1.5×1.5) + SH (12cm)	۳/۳	۹/۱	۹
B (1.5×1.5) + SH (15 cm)	۷/۲	۱۱	۱۰
B (1.5×1.5) + SH (15 cm)	۳/۱	۹/۸	۱۱
B (1.5×1.5) + SH (15 cm)	۱/۵	۴/۳	۱۲
B (1.5×1.5) + SH (7.5 cm)	۳/۵	۴/۹	۱۳
B (1.5×1.5) + SH (7.5 cm)	۱/۸	۴/۳	۱۴
B (1.5×1.5) + SH (7.5 cm)	۳/۵	۴/۹	۱۵
B (1.5×1.5) + SH (7.5 cm)	۱/۵	۴/۹	۱۶
B (1.5×1.5) + SH (7.5cm)	۳/۸	۴/۹۲	۱۷
B (1.5×1.5) + SH (7.5cm)	۱/۲	۴/۷	۱۸
B (1.5×1.5) + SH (7.5cm)	۱/۲	۴/۷	۱۹
B (1.5×1.5) + SH (7.5cm)	۱/۴	۳/۸	۲۰
B (1.5×1.5) + SH (7.5cm)	۰/۸۸	۲/۹	۲۱
B (1.5×1.5) + SH (7.5cm)	۰/۸۵	۲/۴	۲۲
B (1.5×1.5) + SH (7.5cm)	۰/۸۸	۲/۹	۲۳

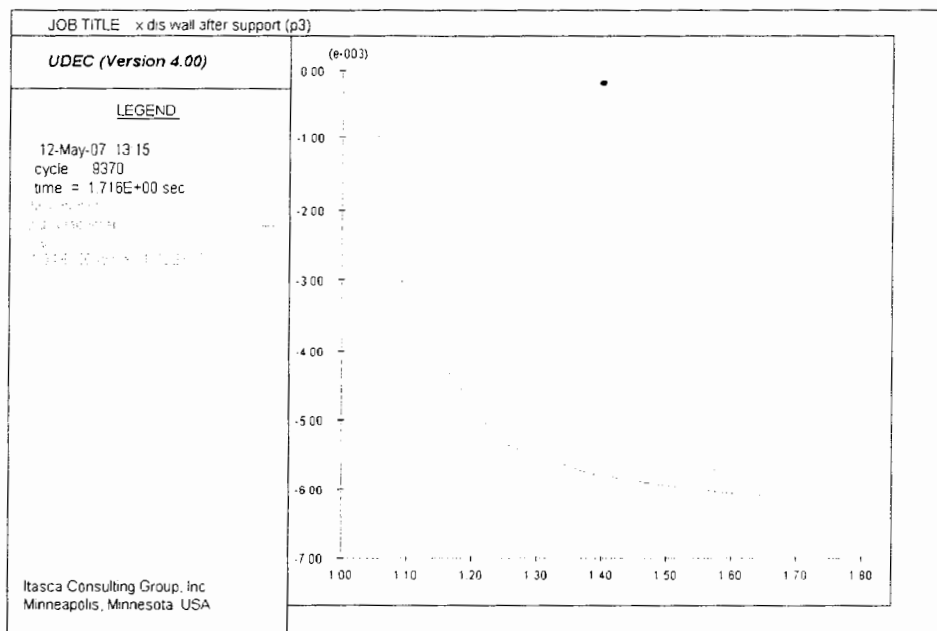
به عنوان نمونه نتایج به بررسی تحلیل پایداری پس از نصب سیستم نگهداری، برای مقطع حداکثر روباره می پردازیم. در شکل های ۲۵-۶ و ۲۶-۶ نمودار حداکثر جابجایی قائم در سقف و حداکثر جابجایی افقی در دیواره تونل، پس از نصب سیستم نگهداری آورده شده است. همانگونه که

در این نمودارها مشاهده می شود، حداکثر جابجایی قائم در سقف تونل در مقطع حداکثر روباره ۱۴/۷ میلیمتر و در دیواره برابر ۶/۱ میلیمتر می باشد.

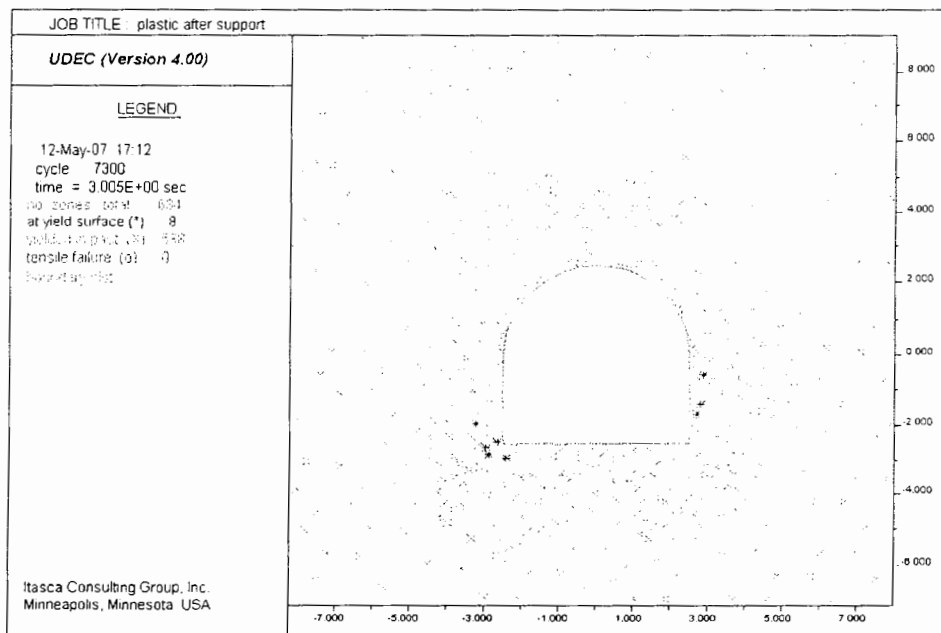
شکل ۶-۲۷ مربوط به وضعیت نقاط پلاستیک اطراف تونل در مقطع حداکثر روباره پس از نصب سیستم نگهدارنده می باشد. همانگونه که مشاهده می شود نسبت به حالت قبل از نصب سیستم نگهداری، وضعیت این نقاط بسیار بهبود یافته و شکست کششی وجود ندارد و سطوح تسليیم در این مقطع به حداقل رسیده است.



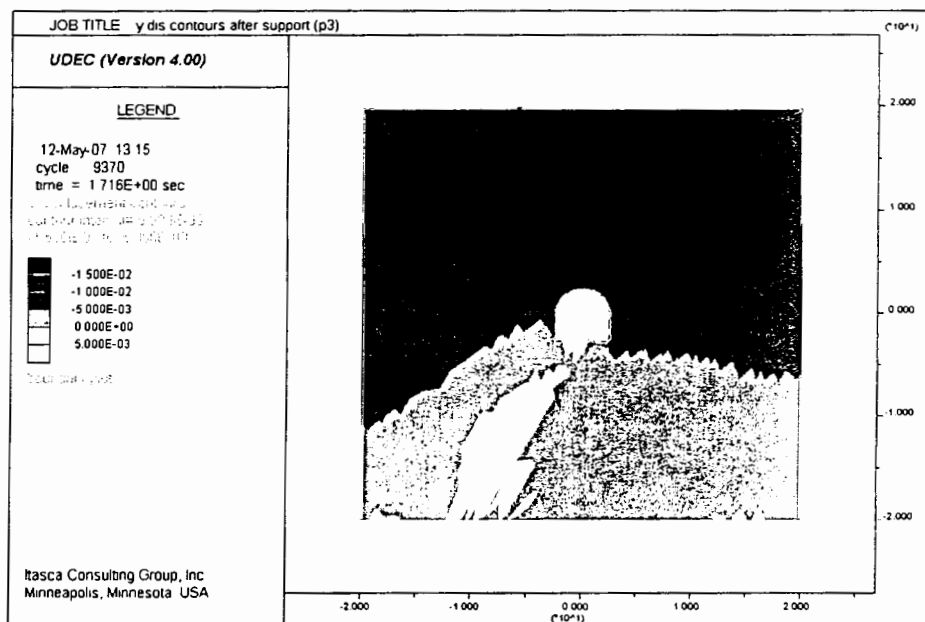
شکل ۶-۲۵-۶- جابجایی قائم در سقف تونل در مقطع حداکثر روباره پس از نصب سیستم نگهداری



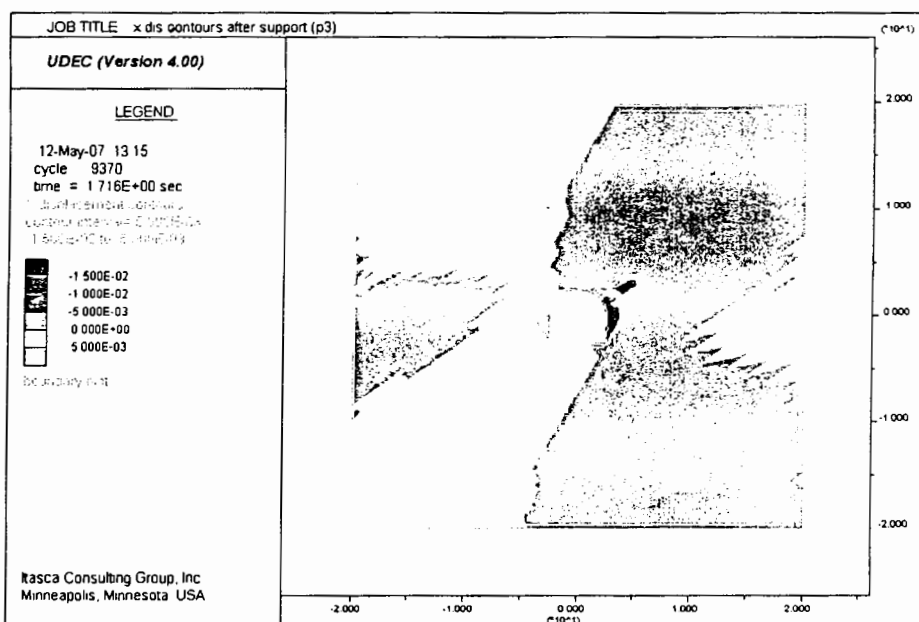
شکل ۲۶-۶- جابجایی افقی در دیواره تونل در مقطع حداکثر روباره پس از نصب سیستم نگهداری



شکل ۲۷-۶- نقاط پلاستیک اطراف تونل پس از نصب سیستم نگهداری در مقطع حداکثر روباره



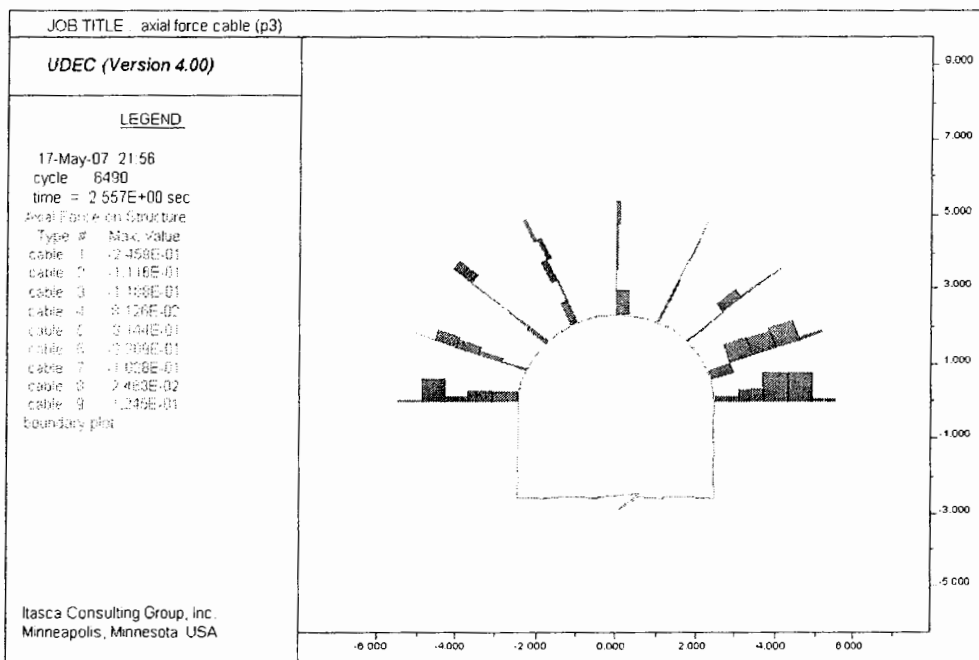
شکل ۶-۲۸- نمودار تراز جابجایی قائم در مقطع حداکثر روباره پس از نصب سیستم نگهداری



شکل ۶-۲۹- نمودار تراز جابجایی افقی در مقطع حداکثر روباره پس از نصب سیستم نگهداری

در مسیر تونل از پیچ سنگ با قطر ۲۵ میلیمتر، مدول الاستیسیته ۲۱۰ گیگاپاسکال، با مقاومت برشی ۵۶ دوغاب ۱/۷۵ مگاپاسکال و سختی برشی دوغاب ۷/۰۱ گیگاپاسکال (قطر چال حفاری برای پیچ سنگ میلیمتر در نظر گرفته شده است)، با فاصله داری 1×1 متر در مقطع حداکثر روباره، به همراه شاتکریت با ضخامت های مختلف در طول مسیر و ضخامت ۱۵ سانتیمتر در این مقطع، با مقاومت فشاری تک محوری ۳۵ مگاپاسکال، مدول الاستیک ۲۱ گیگاپاسکال، ضریب پواسون ۰/۲۵ و دانسیته ۲۲۰۰ کیلو گرم بر متر مکعب در نظر گرفته شده است.

در جدول ۳-۶ نتایج بدست آمده از نرم افزار در ارتباط با نیروهای محوری، برشی و لنگر خمشی واردہ به پیچ سنگ و شاتکریت آورده شده است. به عنوان نمونه نمودارهای مربوط به سیستم نگهداری برای مقطع حداکثر روباره، در شکل های ۳۰-۶ تا ۳۸-۶ نشان داده شده است. همانگونه که در شکل زیر دیده می شود، حداکثر نیروی محوری وارد شده به پیچ سنگ ها در این مقطع معادل ۰/۳۶۷ مگا نیوتون می باشد.

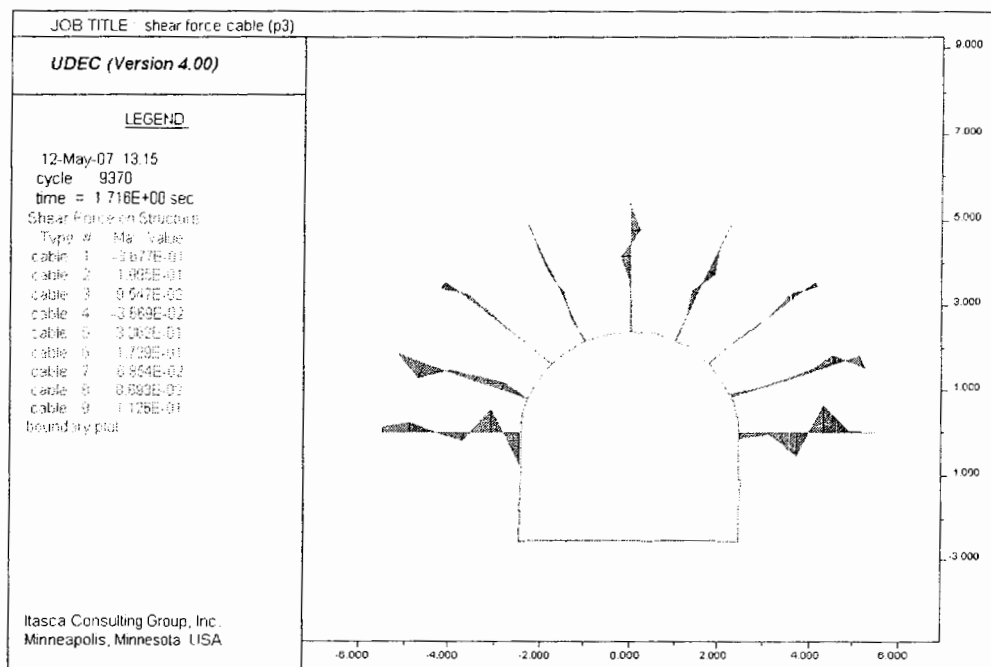


شکل ۳۰-۶- نیروهای محوری وارد بر پیچ سنگ های مقطع حداکثر روباره

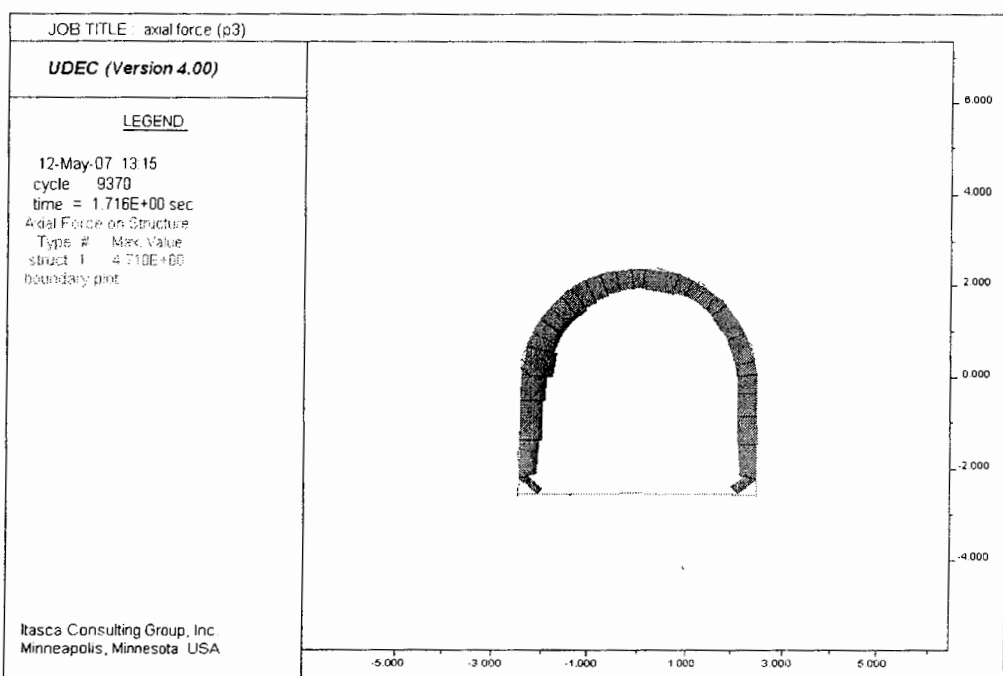
جدول ۳-۶- خروجی مستقیم نرم افزار در ارتباط با نیروهای وارد شده به اجزای سیستم نگهداری

(نوع سیستم نگهداری هر قسمت در جدول ۲-۶ موجود می باشد)

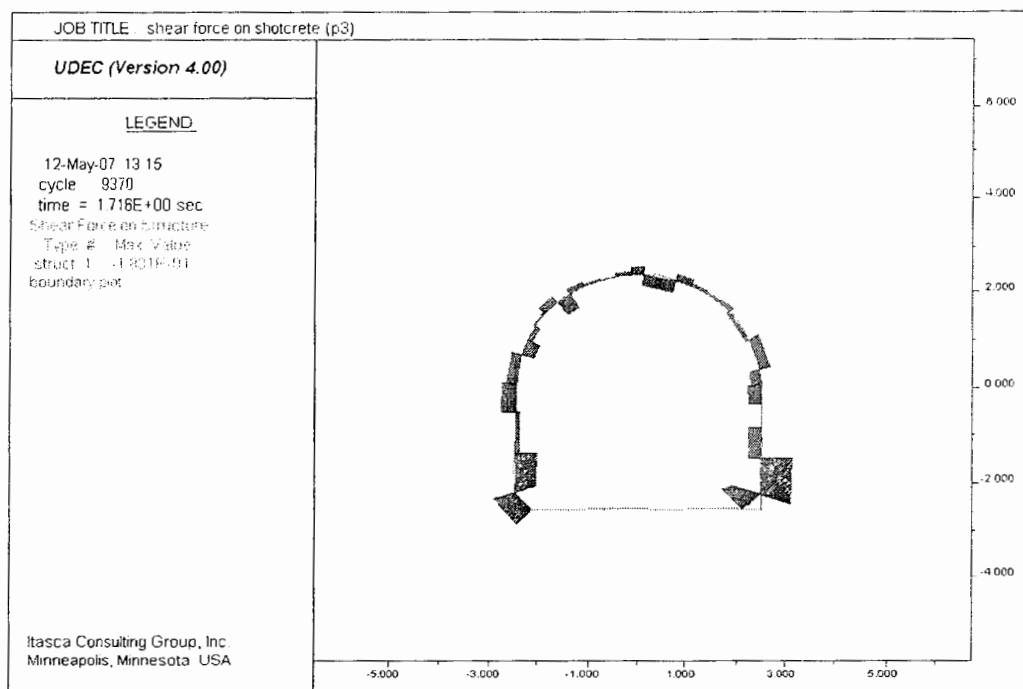
قسمت	حداکثر نیروی برشی در پیچ سنگ	حداکثر نیروی محوری بر لایه شاتکریت (MN)	حداکثر لنگر محوری بر لایه شاتکریت (MN)	حداکثر نیروی الخمشی بر لایه شاتکریت (MN-m)	حداکثر نیروی برشی بر لایه شاتکریت (MN)	حداکثر نیروی برشی در پیچ سنگ (MN)
1	7.2e-2	7.1e-1	3.8e-2	8e-2	8.3e-2	8.3e-2
2	2.31e-1	2.7	8.9e-2	1.7e-1	2.38e-1	2.38e-1
3	2.46e-1	4.7	7.8e-2	1.83e-1	3.67e-1	3.67e-1
4	2.4e-1	3.7	7.6e-2	2.3e-1	2.7e-1	2.7e-1
5	2.1e-1	2.84	6.5e-2	2.07e-1	1.96e-1	1.96e-1
6	8.39e-2	1.08	1.35e-2	3.34e-2	7.07e-2	7.07e-2
7	8.8e-2	8.1e-1	1.9e-3	5.4e-3	7.75e-2	7.75e-2
8	4.26e-2	3.8e-1	9.21e-3	2.75e-2	4e-2	4e-2
9	2.2e-1	2.84	7.1e-2	1.9e-1	1.9e-1	1.9e-1
10	2.3e-1	2.7	8.5e-2	1.9e-1	2.2e-1	2.2e-1
11	2.3e-1	2.82	8.4e-2	1.8e-1	1.94e-1	1.94e-1
12	7.9e-2	9.7e-1	1.12e-2	3.8e-2	6.7e-2	6.7e-2
13	2.6e-1	1.48	9.6e-3	3.7e-2	2.4e-1	2.4e-1
14	8.3e-2	1.05	1.3e-2	3.4e-2	7.1e-2	7.1e-2
15	2.6e-1	1.48	9.6e-3	3.7e-2	2.4e-1	2.4e-1
16	1.96e-1	6.8e-1	6.8e-3	2.8e-2	1.7e-1	1.7e-1
17	2.5e-1	1.43	9.6e-3	3.8e-2	2.4e-1	2.4e-1
18	2.1e-1	7.3e-1	8.7e-3	2.4e-2	1.9e-1	1.9e-1
19	2.1e-1	7.3e-1	8.7e-3	2.4e-2	1.9e-1	1.9e-1
20	4.5e-2	8.7e-1	1.1e-2	3.5e-2	4.4e-2	4.4e-2
21	4.2e-2	3.8e-1	9.21e-3	2.75e-2	4.1e-2	4.1e-2
22	4.4e-2	6.6e-1	1.7e-2	5.96e-2	4.4e-2	4.4e-2
23	4.2e-2	3.8e-1	9.21e-3	2.75e-2	4.1e-2	4.1e-2



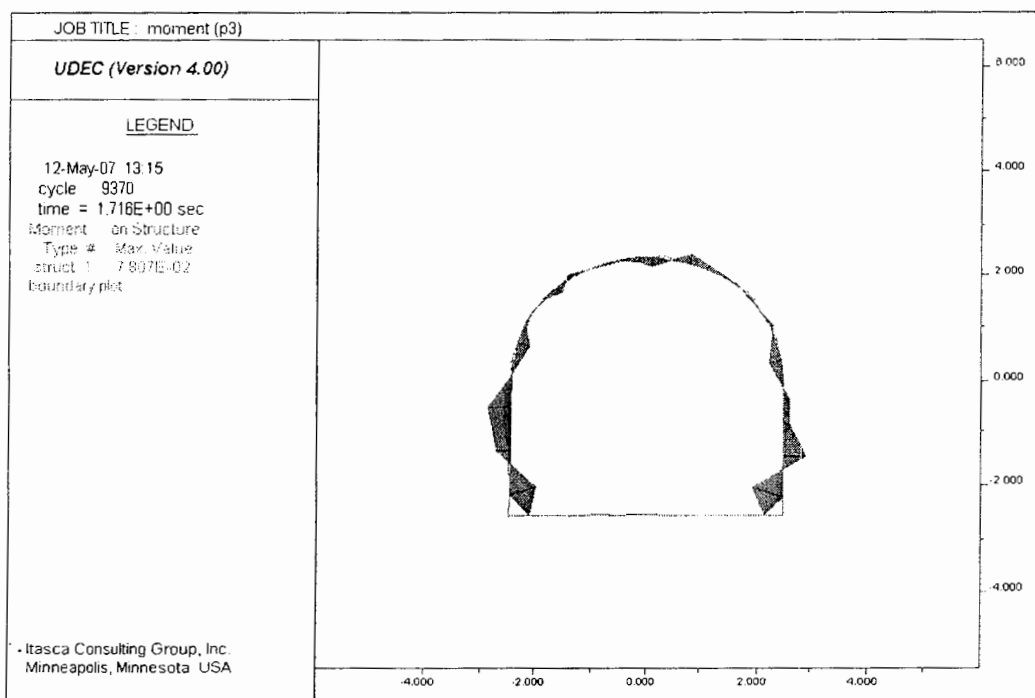
شکل ۳۱-۶- نیروی برشی وارد بر پیچ سنگ های مقطع حداکثر روباره



شکل ۳۲-۶- نیروهای محوری وارد بر لایه شاتکریت در مقطع حداکثر روباره



شکل ۳۳-۶- نیروی برشی وارد بر لایه شاتکریت در مقطع حداکثر روباره



شکل ۳۴-۶- لنگر خمی وارد بر لایه شاتکریت در مقطع حداکثر روباره

۶-۵-۴- محاسبه ضرایب ایمنی برای عناصر بکار رفته در سیستم نگهدارنده

با دانستن نیروهای محوری، برشی و لنگر خمشی وارد بر پیچ سنگ ها و لایه شاتکریت به کمک نرم افزار در مقاطع مختلف مسیر تونل، ضرایب ایمنی مطابق با فرمولهای موجود، قابل محاسبه می باشد. این محاسبات برای عناصر بکار رفته در سیستم نگهداری بیست و سه قسمت تحلیل شده مسیر در جدول ۶-۴ موجود می باشد. برای آشنا شدن با فرمولها و نحوه محاسبه این ضرایب، برای مقطع حداکثر رواباره این کار صورت گرفته است.

- محاسبه ضریب ایمنی پیچ سنگ در برابر کشش

$$SFb = F1 / F2 = 0.285 / 0.246 = 1.16 \quad (8-6)$$

F1 : مقاومت کششی پیچ سنگ بر حسب مگا نیوتن
F2 : حداکثر نیروی محوری وارد شده بر پیچ سنگ بر حسب مگا نیوتن (که مستقیماً از نتایج نرم افزار بدست می آید).

SFb : ضریب ایمنی کششی پیچ سنگ

- محاسبه ضریب ایمنی شاتکریت در برابر نیروهای برشی

$$\tau_v = 1.5 Q / t.z = 1.5 \times 0.183 / 0.15 \times 1 = 1.83 \text{ Mpa} \quad (9-6)$$

$$SFv = tB / \tau_v = 4 / 1.83 = 2.19 \quad (10-6)$$

که در آن :

τ_v : حداکثر تنفس برشی وارد بر لایه شاتکریت بر حسب مگا پاسکال
Q : حداکثر نیروی برشی وارد بر لایه شاتکریت بر حسب مگا پاسکال (که مستقیماً از نتایج نرم افزار بدست می آید).

t : ضخامت لایه شاتکریت بر حسب متر

Z : عرض لایه شاتکریت بر حسب متر

τ : تنش برشی مجاز شاتکریت مصرفی بر حسب مگا پاسکال

SFv : ضریب ایمنی شاتکریت در برابر برش

جدول ۴-۶- محاسبه ضرایب ایمنی برای عناصر بکار رفته در سیستم نگهدارنده

قسمت (سانتی متر)	ضخامت شاتکریت	ضریب ایمنی برشی شاتکریت	ضریب ایمنی در برابر کشش	ضریب ایمنی بیچ سنگ
۱	۱۲	۴	۳/۹۶	
۲	۱۵	۲/۳۵	۱/۲۳	
۳	۱۵	۲/۱۹	۱/۱۶	
۴	۱۵	۱/۷۴	۱/۱۹	
۵	۱۵	۱/۹۳	۱/۳۶	
۶	۷/۵	۵/۹۸	۳/۳۹	
۷	۵	۲۴/۷	۳/۲۴	
۸	۷/۵	۷/۲۷	۶/۷۹	
۹	۱۵	۲/۱	۱/۲۹	
۱۰	۱۵	۲/۱	۱/۲۴	
۱۱	۱۵	۲/۲	۱/۲۴	
۱۲	۷/۵	۵/۲۶	۳/۶	
۱۳	۷/۵	۵/۴	۱/۱	
۱۴	۷/۵	۵/۸۸	۳/۴۳	
۱۵	۷/۵	۵/۴	۱/۱	
۱۶	۷/۵	۷/۱۴	۱/۵	
۱۷	۷/۵	۵/۲۶	۱/۱۴	
۱۸	۷/۵	۸/۳۳	۱/۳۶	
۱۹	۷/۵	۸/۳۳	۱/۳۶	
۲۰	۷/۵	۵/۷۱	۶/۳	
۲۱	۷/۵	۷/۲۱	۶/۷۹	
۲۲	۷/۵	۳/۳۹	۶/۴۸	
۲۳	۷/۵	۷/۲۱	۶/۷۹	

فصل هفتم

نتیجه گیری و پیشنهادات

۱-۷- نتیجه گیری

بر پایه پروفیل های موجود از ساختارهای زمین شناسی در مسیر تونل و براساس خصوصیات فیزیکی و مکانیکی، سنگهای مسیر تونل انتقال آب خدنگستان به بیست و سه قسمت یا ناحیه ساختاری تقسیم و پارامترهای ژئومکانیکی برای هر قسمت با توجه به نمونه های اخذ شده و مطالعه آماری ناپیوستگی ها، تعیین گردیده است. طبق این تقسیم بندی و به کمک روش های تجربی، تحلیلی و عددی، برای مسیر تونل تحلیل پایداری و طراحی سیستم نگهداری موقع انجام شد و نتیجه این تحلیل ها و طراحی ها، مبنی بر همسویی تقریبی این روشها و ارائه نتایج تقریباً مشابه می باشد. البته در برخی مقاطع در مورد سیستم نگهداری مورد نیاز، تفاوت های اندکی مشاهده می گردد که به دلیل ارجحیت روش های عددی به جهت بکار گیری حداقل فرضیات در این روش ها و دقیق تر بودن، بهتر است از نتایج این روش استفاده گردد.

منحنی مشخصه زمین (منحنی واکنش توده سنگ میزبان) یا منحنی GRC و منحنی مشخصه سیستم نگهداری در دستگاه فشار سیستم نگهداری - تغییر شکل شعاعی سنگهای اطراف تونل، برای سه مقطع ورودی، خروجی و مقطع حداکثر روباره، به دو روش تحلیلی و عددی رسم شد. نقطه تلاقی منحنی مشخصه سیستم نگهداری و منحنی مشخصه زمین، نقطه عملکردی است که بیان می کند به ازای مقدار مشخصی از تحمل بار سیستم نگهداری، تغییر شکل شعاعی سنگهای اطراف تونل چقدر می باشد. بنابراین با تحلیل چند نوع سیستم نگهداری، می توان برآورده از سیستم نگهداری موقع تونل انجام داد. در این مورد نیز تکیه بر نتیجه روش عددی به دلایل ذکر شده در بالا، منطقی تر به نظر می رسد. البته تفاوت چشمگیری در منحنی های بدست آمده از روش تحلیلی و عددی دیده نمی شود و در این مورد نیز، همسویی روش های مختلف تحلیل پایداری و طراحی سیستم نگهداری موقع تایید میگردد.

جهت شناسایی وضعیت نفوذ پذیری توده های سنگی در ترازهای مختلف گمانه ها، اقدام به انجام آزمایش لوزان با روش سینگل پکر در حین حفاری شده است، که نتایج غالباً مبنی بر نفوذ

پذیری بسیار کم است. بر اساس نتایج بدست آمده از آزمایشات لوزان در تمام گمانه ها می توان اینطور استنباط کرد که در تمام طول مسیر تونل بدليل عبور آن از تشکیلات سنگ آهک مارنی و بسته بودن درزه ها بوسیله رس یا کلسیت، نفوذ پذیری بسیار پایین میباشد و لذا میتوان امیدوار بود که در مسیر تونل با هجوم ناگهانی آب برخورد نخواهد شد. از نتایج آزمایشات لوزان در عمق های کم می توان به این نتیجه رسید که آبهای زیرسطحی منطقه کلا" در لایه آبرفت رویی و قسمت های هوازده و ضعیف رویی سنگ بستر در جریان است و با توجه به نتایج بدست آمده و جنس غالب سنگ موجود (سنگ آهک مارنی) به هیچ عنوان نمی توان انتظار وجود شبکه های هدایت آب زیرزمینی (کارست) را در منطقه عبور تونل پیش بینی نمود. به همین دلیل در این پایان نامه مسئله آب در مدلسازی ها و تحلیل ها زیاد مورد توجه قرار نگرفته است، ولی در پروژه های مشابه اگر امکان برخورد با آب های زیر زمینی وجود داشت، حتما باید مورد توجه قرار گیرد، زیرا وجود آب و تاثیرات قابل توجه آن روی مقاومت توده سنگ و پایداری بلوك ها و پایداری تونل امری بسیار مهم می باشد.

در پروژه های تونل سازی، ارزیابی موقعیت و تعداد ناپیوستگی ها نقش مهمی را در تحلیل پایداری تونل و طراحی های لازم جهت تعیین سیستم نگهداری دائم و موقت ایفا میکند. این مشخصات شامل امتداد و شیب حقیقی ناپیوستگی ها و لایه بندی هستند که جهت بررسی پایداری تونل باید ابتدا شیب ظاهری این ناپیوستگیها در امتداد عمود بر محور تونل یعنی در سینه کارها محاسبه شود و سپس از آنها استفاده گردد. به همین دلیل در این پروژه در تعداد زیادی ایستگاه اقدام به برداشت خصوصیات ناپیوستگی ها شده است و سپس جهت استفاده در تحلیل ها، اقدام به محاسبه خصوصیات ظاهری آنها در امتداد سینه کارها، شده است.

شرایط ساختاری و زمین شناسی و ناپیوستگی های موجود در منطقه، در تطابق آن با اصول کلی عناصر مجزا، دلیل اصلی انتخاب نرم افزار UDEC در این تحقیق می باشد.

نرم افزار UDEC واکنش یک محیط ناپیوسته (به عنوان مثال سنگ تکتونیزه و شدیدا" درزه دار) را در برابر بارهای استاتیکی و دینامیکی شبیه سازی می کند. این نرم افزار محیط سنگی را به

عنوان مجموعه ای از بلوکهای مجزا تعریف می کند که ناپیوستگی ها (مثل درزه ها) به عنوان شرایط مرزی بین بلوکی در آنها عمل می کنند و جابجاییهای برشی در امتداد این ناپیوستگی ها و نیز چرخش بلوک ها می تواند انجام گیرد. در این نرم افزار امکان تعریف بلوک ها به صورت صلب یا تغییر شکل پذیر وجود دارد. با توجه به هندسه مسیر و طول نسبتاً "زیاد تونل نسبت به ابعاد آن، فرض رفتار کرنش صفحه ای، تقریب بسیار مناسبی از جواب واقعی خواهد بود. به همین دلایل، استفاده از این نرم افزار جهت تحلیل ها و طراحی سیستم نگهداری موقت در این تحقیق، تشخیص داده شد.

بدلیل تاثیر پذیری زیاد نرم افزار از پارامترها و اطلاعات ورودی، در انتخاب و تخمین این پارامترها دقت خاصی باید مبذول گردد. برخی از این پارامترهای ورودی مستقیماً در منطقه و یا آزمایشگاه قابل اندازه گیری می باشند، مانند: مقاومت فشاری تک محوری، مدول الاستیسیته ماده سنگ بکر و یا پارمترهای مربوط به ناپیوستگی ها مثل شیب و امتداد درزه ها و... که در گزارشات زمین شناسی و مطالعات ژئوتکنیکی پروژه موجود می باشد، اما برخی از پارامترهای ورودی به نرم افزار لازم است که توسط روابط و یا نرم افزارهایی که با استفاده از همین روابط کار می کنند، تعیین گردد. یکی از این نرم افزارها که برای تعیین یکسری ویژگیهای توده سنگ مانند مدول الاستیسیته توده سنگ و ... بکار می رود، نرم افزار RocLab می باشد که بر اساس معیار شکست هوک و براون کار می کند و از سری مجموعه نرم افزارهای Rocscience می باشد و در این تحقیق استفاده شد.

نتیجه گیری نهایی در مورد سیستم نگهدارنده مورد نیاز برای قسمت های مختلف تونل انتقال آب خدنگستان، استفاده از پیچ سنگ های تزریقی به طول ۳ متر و قطر ۲۵ میلیمتر با فاصله داری ۱ تا ۱/۵ متر و شاتکریت با ضخامت های مختلف همراه با مش می باشد.

۲-۷- پیشنهادات

- ۱) از آنجا که داده های رفتار سنگی، ناشی از رفتار واقعی فضاهای زیرزمینی و توده سنگ پیرامون آن در شرایط اجرایی می باشد، با آنالیز برگشتی این داده ها می توان پارامترهای ژئومکانیکی واقعی توده سنگ را ارزیابی نمود، به همین دلیل نصب سیستم های رفتار سنگی در زمان حفر تونل، پیشنهاد میگردد.
- ۲) به دلیل طول نسبتاً "زیاد تونل (طول حدود ۱۲ کیلومتری)، در مورد روش حفاری با توجه به مزایای روش های حفر مکانیزه و نیمه مکانیزه نسبت به روش چال و انفجار که در حال حاضر در حفر این تونل بکار می رود، استفاده از ماشین حفر تونل (TBM)، پیشنهاد می گردد.
- ۳) انجام آزمایشها بر جا به منظور تعیین مقدار و راستای تنش های اصلی حداقل و حداقل مشخص کردن میزان دقیق K (نسبت تنش افقی به قائم) جهت انجام دقیق تر تحلیل ها، امر مهمی به نظر می رسد.
- ۴) تعیین زمان بهینه نصب سیستم نگهداری موقت بر اساس نتایج رفتار نگاری تونل، می تواند در مفید تر بودن سیستم نگهداری و حتی انتخاب سیستم نگهداری مناسب تر نقش مهمی ایفا کند.

فهرست منابع

فهرست منابع

- (۱) اکبری جور، حسین، ۱۳۷۸، گسترش یک سیستم تحلیل برگشتی به منظور تعیین مدول دگرشکلی و تنش های برجا با استفاده از روش المان محدود، پایان نامه کارشناسی ارشد، دانشگاه صنعتی امیرکبیر.
- (۲) امامی تبریزی، م، ۱۳۷۶، مطالعه و ارزیابی روش‌های تعیین منحنی اندرکنش بین توده سنگ اطراف فضاهای زیرزمینی و سیستم نگهدارنده، سمینار کارشناسی ارشد مهندسی مکانیک سنگ، دانشگاه صنعتی امیرکبیر.
- (۳) ترابی، سید رحمان، ۱۳۸۰، مقدمه ای بر مکانیک سنگ، انتشارات دانشگاه صنعتی شاهروд.
- (۴) جعفری، احمد، ۱۳۸۴، کتاب تونل ایران، تهیه و تنظیم نشر فن مهندسی معدن – تهران.
- (۵) شرکت مهندسین مشاور زاینده‌آب، ۱۳۸۱، گزارش زمین شناسی، مطالعات مرحله اول سیستم انتقال آب خدنگستان.
- (۶) شرکت مهندسین مشاور زاینده‌آب، ۱۳۸۱، مطالعات ژئوتکنیک، تونل انتقال آب خدنگستان.
- (۷) ک. بایرون و ا. آریگلو، ترجمه: همتیان، جمال، ۱۳۷۶، طراحی سیستم های نگهداری در معدن، انتشارات موسسه نشر جهاد وابسته به جهاد دانشگاهی.
- (۸) مدنی، حسن، ۱۳۷۹، تولیدکننده، جلد سوم، تحلیل پایداری، انتشارات دانشگاه صنعتی امیرکبیر.
- (۹) مدنی، حسن، ۱۳۸۱، تولیدکننده، جلد چهارم، طراحی و اجرای سیستم نگهداری، انتشارات، دانشگاه صنعتی امیرکبیر.

(۱۰) معظمی، مجید، ۱۳۸۲، اصول و طراحی نگهداری در تونلها، تالیف: فین، ژ، انتشارات دانشگاه صنایع و معادن ایران.

(۱۱) وی. اس. و توکوری و ک. کاتسویاما، ترجمه: فاروق حسینی، محمد، ۱۳۷۹، درآمدی بر مکانیک سنگ، انتشارات نشر کتاب دانشگاهی مرکز خدمات فرهنگی سالکان.

(۱۲) هوک، کیسر، باودن، ترجمه: قارونی نیک، مرتضی، ۱۳۸۰، نگهداری حفریات زیرزمینی در سنگ های سخت، موسسه علمی فرهنگی نص.

(۱۳) هوک و براون، ترجمه: فهیمی فر، احمد، ۱۳۷۶، سازه های زیرزمینی در سنگ، انتشارات آزمایشگاه فنی و مکانیک خاک وزارت راه و ترابری.

(۱۴) یاراحمدی، علیرضا، ۱۳۸۲، جزوه درسی نگهداری در معادن، انتشارات دانشگاه یزد.

- 15) Bieniawski Z. T, 1989, " Engineering Rock Mass Classifications ", Wiley – inter science Newyork, P.272.
- 16) Chang, Y., 1994, " Tunnel Support with Shotcrete in Weak Rock ".
- 17) Grimstad, E. and Barton, N., 1993, "Updating the Q system for NMT". In Procedings of the international Symposium on Sprayed Concrete: " Modern Use of Wet Mix Sprayed Concrete for Underground Support ", Oslo , Norwegian concrete Assn.
- 18) Hock, E., Brown, E. T., 1982, "Underground Excavations in Rock ", IMM, London.
- 19) Hock, E. et al, 2002, " Hock – Brown Failure Criterion, 2000 Edition.
- 20) Hock, E.kaiser, P.K. Bawden, W.F., 1995, "Support of Underground Excavation in Hard Rocks ".

- 21) Itasca Consulting Group, 2004, " UDEC version 4.0 ", User manual.
- 22) Serafim, J. L. and Pereira,J. F., 1983, " Consideration of Geomechanics classification of Bieniawski, proc.Int, sym, Eng, geo and underground construction Lisbon, Vol.1, pp. II.33 – II.42.
- 23) Zhang, L., 2005, Engineering Properties of Rock, Elsevier Science, P 290,

پیوست ها

پیوست ۳) الـ چداول مربوط به رده بندی ژئومکانیکی سنگها (RMR). [15], [16]

الف) پارامترهای طبقه بندی و ارزش گذاری آنها

محدوده مقادیر							پارامتر	
برای این محdroده مقاومت فشاری تک محوره ترجیح داده می شود	۱ تا ۲	۴ تا ۲	۸ تا ۴	بیش از ۸	شاخص مقاومت بار نقطه ای	مقاومت تونه	سنگی بکر	۱
۱ تا ۳	۱۰ تا ۲۵	۱۰۰ تا ۵۰	۲۰۰ تا ۰۰	بیش از ۲۰۰	مقاومت فشاری تک محوری			
۱	۲	۴	۱۲	۱۵	ارزش عددی	RQD	۲	
کمتر از ۷۲۵	٪۲۵-۵۰	٪۵۰-٪۷۵	٪٪۷۵-۹۰	٪٪۹۰-۱۰۰				
۳	۸	۱۳	۱۷	۲۰	ارزش عددی			
کمتر از ۱۰۵ متر	۱۰۰ تا ۰۰۵	۱ تا ۰۰۳	۱ تا ۳ متر	بیش از ۳ متر	فاصله درزه ها			۳
۵	۱۰	۲۰	۲۵	۳۰	ارزش عددی			
ضخامت مواد آکتنده بیش از ۵ میلیمتر و بازشدگی بیش از ۵ میلیمتر، درزه ها معمتد	سطوح کمی آینه ای با ضخامت کمتر از ۵ میلیمتر مو اکتنده ۱ تا ۵ میلیمتر، بازشدگی درزه ها ممتد	سطوح کمی زیر، جدایی دیواره کمتر از ۱ میلیمتر درزه ها نرم	سطوح خیلی زیر، غیر معمتد، جدائی دیواره کمتر از ۱ میلیمتر درزه ها سخت	سطوح خیلی زیر، غیر معمتد، جدائی دیواره درزه ها سخت	وضعیت ناپیوستگی			۴
.	۶	۱۲	۲۰	۲۵	ارزش عددی			
بیش از ۱۲۵ لیتر بر دقیقه	۱۲۵ تا ۲۵ لیتر بر دقیقه	کمتر از ۲۵ لیتر بر دقیقه	بدون آب یا	جریان آب در ۱۰ متر طول تونل				
>۱۰۵	۰/۰۳-۰/۰۵	۰-۰/۰۲	۰	نسبت فشار در درز نسبت به تش اصلی بزرگتر	آب زیرزمینی			۵
مشکلات فراوان در اثر آب	آب تحت فشار متوسط	فقط مرطوب	کاملاً خشک	شرایط عمومی				
.	۴	۲	۱۰	ارزش عددی				

ب) تبدیل ارزش عددی برای جهت یابی درزه ها

دلستا و جهت میل درزه ها	خیلی نلساده	نلساده	مناسب	مساعد (مطلوب)	خیلی مساعد	خیلی نلساده
لرزش مددی	-۱۲	-۱۰	-۵	-۲	-	تونل ها
	-۲۵	-۱۵	-۷	-۲	-	لی ها
	-۴۰	-۵۰	-۲۵	-۵	-	شهر و قصبه ها

ج) رده و کلاس توده سنگ که بر اساس ارزش عددی کل تعیین می شود

۰-۲۰	۲۱-۴۰	۴۱-۶۰	۶۱-۸۰	۸۱-۱۰۰	ارزش عددی
V	IV	III	II	I	کلاس
سنگ خیلی ضعیف	سنگ ضعیف	سنگ مناسب	سنگ خوب	سنگ خیلی خوب	شرح و توصیف

د) نقش شیب و امتداد ناپیوستگی ها در تولیدی از

زاویه شیب ۰ تا ۲۰ درجه بدون توجه به امتداد	امتداد موازی محور تونل		امتداد عمود بر محور تونل			
			زاویه شیب خلاف جهت با پیشروی		زاویه شیب هم جهت با پیشروی	
	زاویه شیب	زاویه شیب	زاویه میل	زاویه میل	زاویه میل	زاویه میل
	۲۰-۴۵	۴۵-۹۰	۲۰-۴۵	۴۵-۹۰	۲۰-۴۵	۴۵-۹۰
نامساعد	مناسب	خیلی نامساعد	نامساعد	مناسب	مساعد	خیلی مساعد

ه) شرایط ناپیوستگی ها

طول ناپیوستگی (کسری ناپیوستگی)	کمتر از ۱ متر	۱ تا ۳ متر	۳ تا ۱۰ متر	۱۰ تا ۲۰ متر	بیش از ۲۰ متر
بازشدگی (شکاف)	ندارد	۰	۱	۲	۴
بازشدگی (شکاف)	ندارد	۰/۱	۰/۱ تا ۰/۱ میلیمتر	۰/۱ تا ۰/۱ میلیمتر	۰/۱ تا ۰/۱ میلیمتر
زبری	۰	۱	۴	۵	۶
هرشدگی (حد و شدگی)	ندارد	۰	۱	۳	۱
هرشدگی (حد و شدگی)	ندارد	۰	۰/۵	۰/۵ تا ۰/۵ میلیمتر	۰/۵ تا ۰/۵ میلیمتر
هزارزدگی	۰	۱	۲	۳	۱
هزارزدگی	۰	۱	۲	۳	۱

پیوست ۲) بـ. جـدـأـول مـرـبـوـطـ بهـ وـدـهـ بـنـدـیـ (Q) NGI

الف) امتیاز مربوط به پارامتر Jn

امتیاز	شرح
۱۰ تا ۱۵	سنگ تودهای بدون درزه یا کم درزه
۲	یک دسته درزه
۳	یک دسته درزه همراه با درزه‌های اتفاقی
۴	دو دسته درزه
۶	دو دسته درزه همراه با درزه‌های اتفاقی
۹	سه دسته درزه
۱۲	سه دسته درزه همراه با درزه‌های اتفاقی
۱۵	چهار دسته درزه یا بیشتر همراه با درزه‌های اتفاقی
۲۰	سنگ شکسته و شبیه خاک

ب) امتیاز مربوط به پارامتر Jz

امتیاز	شرح
	(الف) در شرایطی که قبیل از جایگایی برآشی درزه‌ها حداقل ۱۰ سانتی متر از سطوح آنها با هم تماس داشته باشند
۴	درزه‌های ناپیوسته
۳	زیر یا فاصله، دارای تمونج
۲	صاف، دارای تمونج
۱/۵	شبیه آینه گسل دارای تمونج
۱/۰	زیر یا نامنظم، مسطح
۱	صف، مسطح
۰/۵	شبیه آینه گسل، مسطح
	(ب) در شرایطی که هستام هر چهار دندرزه، دیواره‌های درزه با هم تماس نداشته باشند
۱	بین سطوح درزه با کانی رسی یا شن پوشیده باشد به طوری که مانع تماس دیواره درزه‌ها شود
۱	بین سطوح درزه با ماسه یا شن پوشیده باشد به طوری که مانع تماس دیواره درزه‌ها شود

ج) امتیاز مربوط به پارامتر η_{z} (در شرایطی که سطوح درزه با هم تماس داشته باشند)

امتیاز	شرح
۰/۲۵	در صورت وجود ماده پرکننده، این مواد بخوبی به هم جوش خورده و سخت، ناتراوا و مستحکم بشوند مثل کوارتز
۱	دیوارهای درزه دگرسان نشده‌اند، تنها سطوح آن کمی دگرسان شده‌اند.
۲	دیوارهای درزه کمی دگرسان شده، پوششی از کانی‌های مستحکم مثل ماسه، بدون وجود رسن
۳	پوشش سیلیتی یا ماسه‌های رسی همراه با کمی رسن
۴	پوشش کانی‌های رسی و کم اصطکاک مثل کانولینیت یا میکا، کلریت، تالک و غیره و کمی رسن‌های آماسی

د) امتیاز مربوط به پارامتر η_{z}

امتیاز	فشار تقریبی آب (کیلوپاسکو)	بر سانتی متر مربع	شرح
۱	کمتر از ۱		حفر سازه در محیط‌های خشک و با جریان کم
۰/۹۶	۱ تا ۲/۵		جریان آب با فشار متوسط همراه با شسته شدن مواد پرکننده بطور موضعی.
۰/۵	۱۰ تا ۲/۵		جریان آب با فشار زیاد، در سنگهای مستحکم درزه‌های فتق مواد پرکننده.
۰/۳۳	۱۰ تا ۲/۵		جریان آب با فشار زیاد همراه با شسته شدن قابل ملاحظه مواد پرکننده.
۰/۲ تا ۰/۱	بیشتر از ۱۰		جریان آب با فشار فوق العاده زیاد که در طول زمان تقلیل می‌یابد.
۰/۱ تا ۰/۰۵	بیشتر از ۱۰		جریان آب با فشار فوق العاده زیاد که در طول زمان تقلیل قابل ملاحظه‌ای نیابد

ه) امتیاز مربوط به پارامتر SRF برای سنگهای روان و آماسی

امتیاز	شرح
۱	سنگهای روان (که سیلان آنها همراه با افزایش حجم نیست)
۱۰ تا ۵	سیلان و فشراندک
۲۰ تا ۱۰	سیلان و فشر زیاد
۱۰ تا ۵	سنگهای آماسی (که سیلان آن همراه با افزایش حجم است)
۱۵ تا ۱۰	سیلان و فشراندک
	سیلان و فشر زیاد

d

پیوست ۳) تئن سیستم لوهاری براساس شاخص Q

TABLE 3.1 Q-System: Support Measures for Q Range 10 to 1000^a

Support Category	Q	Conditional Factors		Span/ESR (m)	P^b (kg/cm ²)	Span ESR (m)	Type of Support	Notes (Table 5.6)
		RQD/J _n	J _r /J _n					
1 ^c	1000-400				<0.01	20-40	sb (utg)	
2 ^c	1000-400				<0.01	30-60	sb (utg)	
3 ^c	1000-400				<0.01	46-80	sb (utg)	
4 ^c	1000-400				<0.01	65-100	sb (utg)	
5 ^c	400-100				0.05	12-30	sb (utg)	
6 ^c	400-100				0.05	19-45	sb (utg)	
7 ^c	400-100				0.05	30-65	sb (utg)	
8 ^c	400-100				0.05	48-88	sb (utg)	
9	100-40	≥20			0.25	8.5-19	sb (utg)	
		<20					B (utg) 2.5-3 m	
10	100-40	≥30			0.25	14-30	B (utg) 2-3 m	
		<30					B (utg) 1.5-2 m + clm	
11 ^c	100-40	≥30			0.25	23-48	B (tg) 2-3 m	
		<30					B (tg) 1.5-2 m + clm	
12 ^c	100-40	≥30			0.25	40-72	B (tg) 2-3 m	
		<30					B (tg) 1.5-2 m + clm	
13	40-10	≥10	≥1.5		0.5	5-14	sb (utg)	I
		≥10	<1.5				B (utg) 1.5-2 m	I
		<10	≥1.5				B (utg) 1.5-2 m	I
		<10	<1.5				B (utg) 1.5-2 m + S 2-3 cm	I
14	40-10	≥10		≥15	0.5	9-23	B (tg) 1.5-2 m + clm	I, II
		<10		≥15			B (tg) 1.5-2 m + S (mr) 5-10 cm	I, II
				<15			B (utg) 1.5-2 m + clm	I, III
15	40-10	>10			0.5	15-40	B (tg) 1.5-2 m + clm	I, II, IV
		≤10					B (tg) 1.5-2 m + S (mr) 5-10 cm	I, II, IV
16 ^{c,d}	40-10	>15			0.5	30-65	B (tg) 1.5-2 m + clm	I, V, VI
		≤15					B (tg) 1.5-2 m + S (mr) 10-15 cm	I, V, VI

^aAfter Barton et al. (1974).

^bApprox.

^cOriginal authors' estimates of support. Insufficient case records available for reliable estimation of support requirements. The type of support to be used in categories 1-8 will depend on the blasting technique. Smooth-wall blasting and thorough barring-down may remove the need for support. Rough-wall blasting may result in the need for single applications of shotcrete, especially where the excavation height is >25 m. Future case records should differentiate categories 1-8. Key: sb = spot bolting; B = systematic bolting; (utg) = un tensioned, grouted; (tg) tensioned (expanding-shell type) for competent rock masses, grouted post-tensioned in very poor quality rock masses; S = shotcrete; (mr) = mesh-reinforced; clm = chain-link mesh; CCA = cast concrete arch; (sr) steel-reinforced. Bolt spacings are given in meters (m). Shotcrete or cast concrete arch thickness is given in centimeters (cm).

^dSee note XII in Table 5.6.

TABLE 3.2 Q-System: Support Measures for Q Ranges 1 to 10^a

Support Category	Q	Conditional Factors		Span/ESR (m)	P^b (kg/cm ²)	Span/ESR (m)	Type of Support	Notes (Table 5.6)
		RQD/J _n	J _r /J _n					
17	10-4	≥30			1.0	3.5-9	sb (utg)	I
		≥10, ≤30					B (utg) 1-1.5 m	I
		<10	≥6				B (utg) 1-1.5 m + S 2-3 cm	I
		<10	<6				S 2-3 cm	I
18	10-4	>5	≥10		1.0	7-15	B (tg) 1-1.5 m + clm	I, III
		>5	<10				B (utg) 1-1.5 m + clm	I
		≤5	≥10				B (tg) 1-1.5 m + S 2-3 cm	I, III
		≤5	<10				B (utg) 1-1.5 m + S 2-3 cm	I
19	10-4		≥20		1.0	12-29	B (tg) 1-2 m + S (mr) 10-15 cm	I, II, IV
			<20				B (tg) 1-1.5 m + S (mr) 5-10 cm	I, II
20 ^c	10-4		≥35		1.0	24-52	B (tg) 1-2 m + S (mr) 20-25 cm	I, V, VI
			<35				B (tg) 1-2 m + S (mr) 10-20 cm	I, II, IV
21	4-1	≥12.5	<0.75		1.5	2.1-6.5	B (utg) 1 m + S 2-3 cm	I
		<12.5	<0.75				S 2.5-5 cm	I
		>0.75					B (utg) 1 m	I
22	4-1	>10, <30	≥1.0		1.5	4.5-11.5	B (utg) 1 m + clm	I
		<10	>1.0				S 2.5-7.5 cm	I
		<30	≤1.0				B (utg) 1 m + S (mr) 2.5-5 cm	I
		≥30					B (utg) 1 m	I
23	4-1		≥15		1.5	8-24	B (tg) 1-1.5 m + S (mr) 10-15 cm	I, II, IV, VII
			<15				B (utg) 1-1.5 m + S (mr) 5-10 m	I
24 ^{c,d}	4-1		≥30		1.5	18-46	B (tg) 1-1.5 m + S (mr) 15-30 cm	I, V, VI
			<30				B (tg) 1-1.5 m + S (mr) 10-15 cm	I, II, IV

^aAfter Barton et al. (1974).

^bApprox.

^cSee note XII in Table 5.6.

^dSee footnote c in Table 5.2.

TABLE 5.3 Q-System: Support Measures for Q Range 0.1 to 1.0^a

Support Category	Q	Conditional Factors ROD/J _n	J _n /J _s	Span/ESR (m)	P ^b (kg/cm ²)	Span ESR (m)	Type of Support ^c	Notes (Table 5.6)
25	1.0–0.4	>10 ≤10	>0.5		2.25	1.5–4.2	B (tg) 1 m + mr or clm	I
			>0.5				B (tg) 1 m + S (mr) 5 cm	I
			≤0.5				B (tg) 1 m + S (Mr) 5 cm	I
26	1.0–0.4				2.25	3.2–7.5	B (tg) 1 m + S (mr) 5–7.5 cm	VIII, X, XI
27	1.0–0.4				2.25	6–18	B (tg) 1 m + S 2.5–5 cm	I, IX
28 ^d	1.0–0.4	>30 ≥20, <30 <20	>12		2.25	15–38	B (tg) 1 m + S (mr) 7.5–10 cm	I, IX
			<12				B (tg) 1 m + S (mr) 5–7.5 cm	I, IX
			>12				CCA 20–40 cm + B (tg) 1 m	VIII, X, XI
			<12				S (mr) 10–20 cm + B (tg) 1 m	VIII, X, XI
			≥30				B (tg) 1 m + S (mr) 30–40 cm	I, IV, V, IX
29	0.4–0.1	>5 ≤5	>0.25		3.0	1.0–3.1	B (tg) 1 m + S 2–3 cm	I
			>0.25				B (tg) 1 m + S (mr) 5 cm	I
			≤0.25				B (tg) 1 m + S (Mr) 5 cm	I
30	0.4–0.1	≥5			3.0	2.2–6	B (tg) 1 m + S 2.5–5 cm	IX
31	0.4–0.1	>4 ≤4, ≥1.5 <1.5			3.0	4–14.5	S (mr) 5–7.5 cm	IX
							B (tg) 1 m + S (mr) 5–7.5 cm	VIII, X, XI
							S (mr) 7.5–25 cm	IX
							CCA 20–40 cm + B (tg) 1 m	IX, XI
32 ^d	0.4–0.1	>20 <20			3.0	11–34	CCA (sr) 30–50 cm + B (tg) 1 m	VIII, X, XI
							B (tg) 1 m + S (mr) 40–60 cm	II, IV, IX, XI
							B (tg) 1 m + S (mr) 20–40 cm	III, IV, IX, XI

^aAfter Barton et al. (1974).^bApprox.^cFor key, refer to Table 5.2, footnote c.^dSee note XII in Table 5.6.TABLE 5.4 Q-System: Support Measures for Q Range 0.001 to 0.1^a

Support Category	Q	Conditional Factors ROD/J _n	J _n /J _s	Span/ESR (m)	P ^b (kg/cm ²)	Span ESR (m)	Type of Support ^c	Notes (Table 5.6)
33	0.1–0.01	>2			6	1.0–3.9	B (tg) 1 m + S (mr) 2.5–5 cm	IX
			<2				S (mr) 5–10 cm	IX
							S (mr) 7.5–15 cm	VIII, X
34	0.1–0.01	>2 <2	>0.25		6	2.0–11	B (tg) 1 m + S (mr) 5–7.5 cm	IX
			>0.25				S (mr) 7.5–15 cm	IX
			<0.25				S (mr) 15–25 cm	IX
35 ^d	0.1–0.01		>15 ≥15 <15 <15		6	6.2–28	CCA (sr) 20–60 cm + B (tg) 1 m	VIII, X, XI
							B (tg) 1 m + S (mr) 30–100 cm	II, IX, XI
							CCA (sr) 60–200 cm + B (tg) 1 m	VIII, X, XI, XII
							B (tg) 1 m + S (mr) 20–75 cm	IX, XI, XII
36	0.01–0.001				12	1.0–2.0	CCA (sr) 40–150 cm + B (tg) 1 m	VIII, X, XI, XII
							S (mr) 10–20 cm	IX
							S (mr) 10–20 cm + B (tg) 0.5–1.0 m	VIII, X, XI
37	0.01–0.001				12	1.0–6.5	S (mr) 20–60 cm	IX
38*	0.01–0.001		>10 ≥10 <10 <10		12	4.0–20	S (mr) 20–60 cm + B (tg) 0.5–1.0 m	VIII, X, XI
							CCA (sr) 100–300 cm	IX
							CCA (sr) 100–300 cm + B (tg) 1 m	VIII, X, II, XI
							S (mr) 70–200 cm	IX
							S (mr) 70–200 cm	VIII, X, III, XI

^aAfter Barton et al. (1974).^bApprox.^cFor key, refer to Table 5.2, footnote c.^dSee note XII in Table 5.6.^{*}See note XIII in Table 5.6.

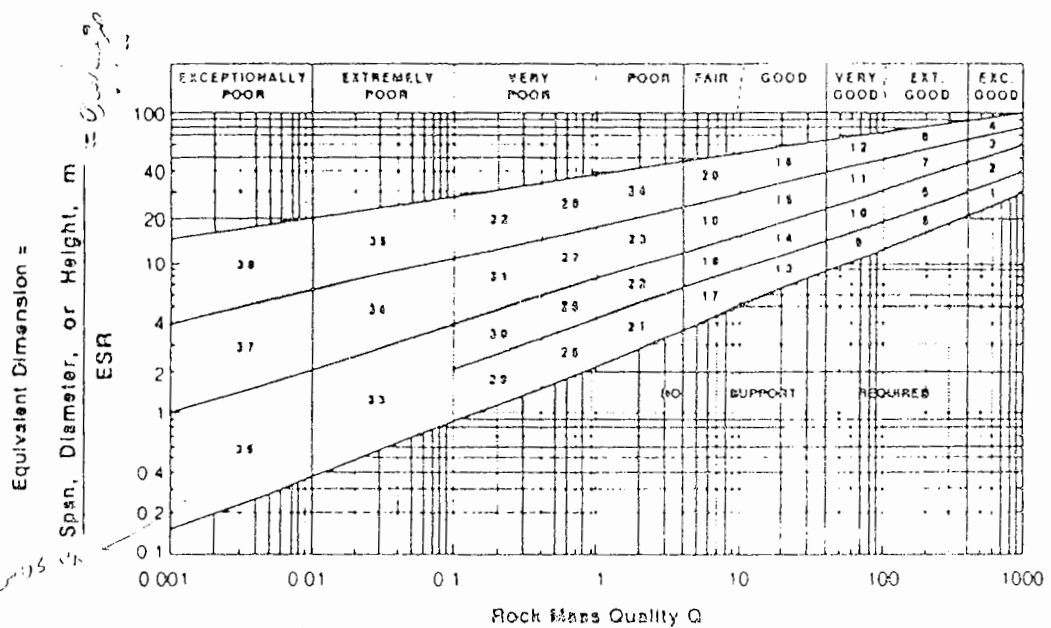


Figure 3.1 Q-system: equivalent dimension versus rock mass quality. (After Barton et al., 1974.)

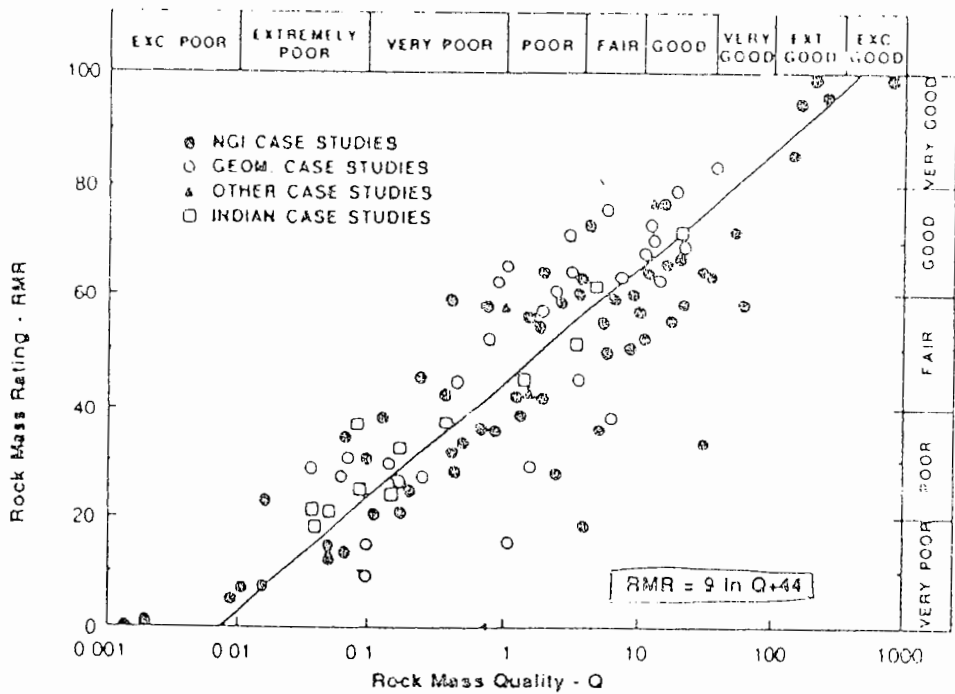


Figure 3.2 Correlation between the RMR and the Q-index. (After Bieniawski, 1976 and Jethwa et al., 1982.)

پیوست ۱۵)

جدول ۲۴- نتایج بدست آمده از آزمایشات لوزن در گمانه BKI

No.	depth (m)	Lug	CR %	RQD %	Flow Tape	Lithology
1	11.70-16.30	5.6	100	35-70	Turbulent	Gray, Marly Limestone Joint filling Calcite, Moderately to highly weathered
2	16.0-21.0	14.79	100	18-50	Turbulent	same as above
3	20.55-25.55	2.25	100	30	Turbulent	same as above, slightly weathered
4	25.60-30.60	1.0	100	12-83	Dilation	same as above, Mod to slightly weathered
5	30.50-35.50	0.11	100	60-80	Laminar	same as above, unweathered
6	35.00-40.00	0.05	100	73-77	Laminar	same as above
7	40.0-45.0	0.11	100	20-74	Laminar	Gray shaly Limestone. Unweathered, calcite fillings
8	45.00-50.00	1.0	95-100	30-77	Dilation	same as above
9	50.00-55.00	0.77	100	30-80	Laminar	same as above
10	55.0-57	0.82	100	40	Laminar	same as above

جدول ۱۴-ب- نتایج بدست آمده از آزمایشات لرزن در گمانه BK2

No.	depth (m)	Lug	CR %	RQD %	Flow Tape	Lithology
1	7.15-12.15	31.7	100	75	Dilation	Dark gray, marly limestone. slightly weathered
2	12.0-17.0	1.7	100	50-85	Dilation	Light gray marly limestone slightly weathered to unweathered
3	17.0-22.0	0.57	100	33-58	Laminar	Brownish gray to gray, marly limestone mod. weathered to unweathered
4	22.0-27.0	1.16	100	30-50	Laminar	Dark gray marly limestone with stylolite unweathered (fresh). no layering
5	27.0-32.0	2.2	100	10-85	Laminar	same as above
6	32.0-37.0	1.93	100	20-90	Turbulent	same as above. filled with calcite & clay, unweathered
7	37.0-42.0	0.63	90-100	0-35	laminar	same as above
8	42-47.10	4.2	100	10-85	Void filling	same as above
9	47.0-52.0	0.75	100	15-60	Dilation	same as above
10	52.0-57.15	0.57	100	30-65	laminar	same as above
11	57.15-62.25	0.99	100	0-50	Turbulent	same as above
12	62.25-67.75	4.0	100	22-82	Dilation	same as above
13	67.20-72.20	3.3	100	10-70	wash-out	same as above
14	72.20-77.2	0.59	100	20-50	laminar	same as above

جدول ۴- نتایج بدست آمده از آزمایشات لوزن در گمانه BK3

No.	depth (m)	Lug	CR %	RQD %	Flow Tape	Lithology
1	48.10-53.10	0.42	100	82-94	laminar	Dark gray, marly limestone, slightly weathered to unweathered
2	58.50-63.50	0.62	100	40-60	Dilation	same as above, unweathered, filled with calcite and clay
3	68.0-73.0	0.56	100	32-50	void filling	same as above
4	75.30-80.30	0.54	100	30-65	laminar	same as above
5	79.70-84.70	0.85	100	62-93	void filling	same as above
6	85.50-90.50	0.68	100	52-65	void filling	same as above
7	89.90-94.90	0.65	100	78-85	Turbulent	same as above
8	94.0-99.0	0.68	100	81-96	void filling	same as above
9	99.0-104.0	0.52	100	24-90	void filling	same as above

جدول ۴- نتایج بدست آمده از آزمایشات لوزن در گمانه BK6

No.	depth (m)	Lug	CR %	RQD %	Flow Tape	Lithology
1	72.0-77.0	2.68	100	65-92	Laminar	Dark gray, marly limestone with calcite filling unweathered
2	77.0-82.0	0.84	100	0.-90	Turbulent	same as above & calcite and clay filling
3	82.40-87.40	1.53	100	90-94	laminar	Dark gray marly limestone with calcite, unweathered
4	87.40-92.40	0.67	100	95	laminar	same as above
5	92.50-97.50	0.59	100	80-95	Laminar	same as above
6	97.40-102.4	0.69	66-100	30-40	laminar	Dark gray, marly limestone with shear breaks & calcite filling, unweathered
7	102.50-107.5	0.62	100	60-75	turbulent	same as above
8	107.0-113.0	0.71	100	50-79	Turbulent	Dark gray marly limestone with calcite, unweathered
9	113-118.20	0.71	100	30-80	Turbulent	Dark gray, marly limestone with shear breaks and calcite filling , No layering. unweathered

پیوست ۵) برنامه نوشته شده جهت مدلسازی part 1 توسط نرم افزار UDEC 4.0

```
config
round 0.040000003
edge 0.080000006
block -20.0,-20.0 -20.0,20.0 20.0,20.0 20.0,-20.0
crack -2.5,-2.5 2.5,-2.5
crack 2.5,-2.5 2.5,0.0
crack -2.5,-2.5 -2.5,0.0
arc (0.0,0.0) (2.5,0.0) 180.0 24
jset 30.0,0.0 60.0,0.0 0.0,0.0 1.3,0.7 0.0,0.0 0
jset 102.0,0.0 60.000004,0.0 0.0,0.0 1.3000001,0.0 0.0,0.0 0
gen edge 1.0 range -4.574258,5.009901 -5.1551156,4.719472
gen edge 2.0
group zone 'User:Marly Limstone'
zone model mohr density 0.0027 bulk 1173.8888 shear 880.4166 friction 38.0 cohesion 0.14
range group 'User:Marly Limstone'
joint model area jks 190.0 jkn 1900.0 nstable 0 jfriction 29.0 jcohesion 0.21 jtension 0 jdilation 0
zdilation 0 jperm 0 ares 0 azero 0 empb 0 expa 0
joint model area jks 1000000.0 jkn 1000000.0 nstable 0 jfriction 0 jcohesion 1000000.0 jtension
1000000.0 jdilation 0 zdilation 0 jperm 0 ares 0 azero 0 empb 0 expa 0 range -
2.5539575,2.784149 -2.5205295,-2.4812055
joint model area jks 1000000.0 jkn 1000000.0 nstable 0 jfriction 0 jcohesion 1000000.0 jtension
1000000.0 jdilation 0 zdilation 0 jperm 0 ares 0 azero 0 empb 0 expa 0 range -2.517299,-
2.4800322 -2.6134038,0.062210754
joint model area jks 1000000.0 jkn 1000000.0 nstable 0 jfriction 0 jcohesion 1000000.0 jtension
1000000.0 jdilation 0 zdilation 0 jperm 0 ares 0 azero 0 empb 0 expa 0 range -2.5890477,-
1.7980962 0.18279779,1.650452
joint model area jks 1000000.0 jkn 1000000.0 nstable 0 jfriction 0 jcohesion 1000000.0 jtension
1000000.0 jdilation 0 zdilation 0 jperm 0 ares 0 azero 0 empb 0 expa 0 range -1.9562865,-
1.0774516 1.6680287,2.0635045
```

```

joint model area jks 1000000.0 jkn 1000000.0 nstable 0 jfriction 0 jcohesion 1000000.0 jtension
1000000.0 jdilation 0 zdilation 0 jperm 0 ares 0 azero 0 empb 0 expa 0 range -1.3762555,-
0.25134683 2.0371394,2.4941335
joint model area jks 1000000.0 jkn 1000000.0 nstable 0 jfriction 0 jcohesion 1000000.0 jtension
1000000.0 jdilation 0 zdilation 0 jperm 0 ares 0 azero 0 empb 0 expa 0 range -
0.1986168,0.65385306 2.2832134,2.6083822
joint model area jks 1000000.0 jkn 1000000.0 nstable 0 jfriction 0 jcohesion 1000000.0 jtension
1000000.0 jdilation 0 zdilation 0 jperm 0 ares 0 azero 0 empb 0 expa 0 range
0.61869967,1.8051268 1.7647007,2.4853454
joint model area jks 1000000.0 jkn 1000000.0 nstable 0 jfriction 0 jcohesion 1000000.0 jtension
1000000.0 jdilation 0 zdilation 0 jperm 0 ares 0 azero 0 empb 0 expa 0 range
1.6293598,2.2533326 1.0704211,1.8174307
joint model area jks 1000000.0 jkn 1000000.0 nstable 0 jfriction 0 jcohesion 1000000.0 jtension
1000000.0 jdilation 0 zdilation 0 jperm 0 ares 0 azero 0 empb 0 expa 0 range
2.1039307,2.5081947 0.14764452,1.0792094
joint model area jks 1000000.0 jkn 1000000.0 nstable 0 jfriction 0 jcohesion 1000000.0 jtension
1000000.0 jdilation 0 zdilation 0 jperm 0 ares 0 azero 0 empb 0 expa 0 range
2.4290993,2.5433478 -2.638262,0.15643299
set jmatdf=1
prop jmat=1 jks=190 jkn=1900 jfriction=29 jcohesion=0.21 nstable=0 jtension=0 jdilation=0
zdilation=0 jperm=0 ares=0 azero=0 empb=0 expa=0
change jmat=1 jcons=2
boundary stress 0.0,0.0,-0.53 range -20.910892,20.838285 19.458746,20.838285
boundary xvelocity 0.0 range -20.620462,-19.386139 -20.838285,20.69307
boundary xvelocity 0.0 range 19.313532,20.910892 -20.910892,21.056107
boundary yvelocity 0.0 range -21.128714,21.927393 -20.402641,-19.603962
sct gravity=0.0 -9.81
solve ratio 1.0E-5
delete range -1.9711792,2.2630463 -2.504112,2.3392477
delete range -2.4911718,-1.837467 -2.4149704,-0.63213855
reset = disp
history ydis -0.0016646252,2.4699113
history xdis 2.4980705,-0.026654283
history ydis 0.64599514,2.3855612

```

```

solve step 120 ratio 1.0E-5
history ydis -0.0016646252,2.4699113
history xdis 2.4980705,-0.026654283
history ydis 0.64599514,2.3855612
solve step 120 ratio 1.0E-5
history ydis -0.0014302471,2.4648259
history xdis 2.4951782,-0.026707388
history ydis 0.6443284,2.378627
cable 0.0 2.4301648 0.0 5.4301648 6 5 4.906E-4 6
cable 1.4925771 1.9507139 3.610153 4.088267 6 5 4.906E-4 6
cable 2.4514794 0.39249754 5.36814 1.1316514 6 5 4.906E-4 6
cable -1.5239699 1.9307365 -2.8824148 4.6276493 6 5 4.906E-4 6
cable -2.4229407 0.492383 -5.419511 0.9119029 6 5 4.906E-4 6
property mat 5 cb_area 4.9E-4 cb_density 0.0075 cb_fstrain 1.0E10 cb_ycomp 10000.0 cb_yield
825 cb_ymod 210000.0 cb_thexp 0.0
property mat 6 cb_kbond 7012.0 cb_sbond 1.758
struct gen xc=0 yc=0 fang=-50 thet=280 thi=0.1 np=25 mat 7
property mat 7 st_density 0.0022 st_prat 0.25 st_ycomp 40.0 st_yield 2.0E-5 st_ymod 21000.0
st_yresid 10.0 st_thexp 1.0E-5 if_friction 45.0 if_cohesion 10000.0 if_tensile 10000.0 if_dilation
0.0 if_kn 1000.0 if_ks 1000.0
reset = disp
history ydis -0.0014302471,2.4648259
history xdis 2.4951782,-0.026707388
history ydis 0.6443284,2.378627
solve step 100000 ratio 1.0E-5

```

(c)

پیوست ۵) برنامه نوشته شده جهت مدلسازی part 3 توسط نرم افزار UDEC 4.0

```
config
round 0.040000003
edge 0.080000006
block -20.0,-20.0 -20.0,20.0 20.0,20.0 20.0,-20.0
crack -2.5,-2.5 2.5,-2.5
crack 2.5,-2.5 2.5,0.0
crack -2.5,-2.5 -2.5,0.0
arc (0.0,0.0) (2.5,0.0) 180.0 24
jset 37.0,0.0 59.999996,0.0 0.0,0.0 1.3000001,0.7 0.0,0.0 0
jset 61.0,0.0 60.000004,0.0 0.0,0.0 1.3,0.7 0.0,0.0 0
gen edge 1.0 range -5.227723,6.026403 -5.30033,5.30033
gen edge 2.0
group zone 'User:M Limstone'
zone model mohr density 0.00271 bulk 2949.4443 shear 2212.0833 friction 31.0 cohesion 0.9
range group 'User:M Limstone'
joint model area jks 570.0 jkn 5700.0 nstable 0 jfriction 29.0 jcohesion 0.21 jtension 0 jdilation 0
zdilation 0 jperm 0 ares 0 azero 0 empb 0 expa 0
joint model area jks 1000000.0 jkn 1000000.0 nstable 0 jfriction 0 jcohesion 1000000.0 jtension
1000000.0 jdilation 0 zdilation 0 jperm 0 ares 0 azero 0 empb 0 expa 0 range -2.5051816,-
2.4899905 -2.51521,0.11952934
joint model area jks 1000000.0 jkn 1000000.0 nstable 0 jfriction 0 jcohesion 1000000.0 jtension
1000000.0 jdilation 0 zdilation 0 jperm 0 ares 0 azero 0 empb 0 expa 0 range -2.4950075,-
2.4617488 0.20483328,0.4546778
joint model area jks 1000000.0 jkn 1000000.0 nstable 0 jfriction 0 jcohesion 1000000.0 jtension
1000000.0 jdilation 0 zdilation 0 jperm 0 ares 0 azero 0 empb 0 expa 0 range -2.4649937,-
2.4203787 0.4343982,0.61691445
joint model area jks 1000000.0 jkn 1000000.0 nstable 0 jfriction 0 jcohesion 1000000.0 jtension
1000000.0 jdilation 0 zdilation 0 jperm 0 ares 0 azero 0 empb 0 expa 0 range -2.4276807,-
2.1737802 0.6404386,1.2342248
joint model area jks 1000000.0 jkn 1000000.0 nstable 0 jfriction 0 jcohesion 1000000.0 jtension
1000000.0 jdilation 0 zdilation 0 jperm 0 ares 0 azero 0 empb 0 expa 0 range -2.3326788,-
1.6622534 1.2142987,1.8470598
joint model area jks 1000000.0 jkn 1000000.0 nstable 0 jfriction 0 jcohesion 1000000.0 jtension
1000000.0 jdilation 0 zdilation 0 jperm 0 ares 0 azero 0 empb 0 expa 0 range -1.7375821,-
1.1876826 1.8771913,2.0881116
joint model area jks 1000000.0 jkn 1000000.0 nstable 0 jfriction 0 jcohesion 1000000.0 jtension
1000000.0 jdilation 0 zdilation 0 jperm 0 ares 0 azero 0 empb 0 expa 0 range -1.3910701,-
0.14814651 2.1031775,2.5024195
joint model area jks 1000000.0 jkn 1000000.0 nstable 0 jfriction 0 jcohesion 1000000.0 jtension
1000000.0 jdilation 0 zdilation 0 jperm 0 ares 0 azero 0 empb 0 expa 0 range -
0.17827815,0.9215208 2.2613676,2.5099523
joint model area jks 1000000.0 jkn 1000000.0 nstable 0 jfriction 0 jcohesion 1000000.0 jtension
1000000.0 jdilation 0 zdilation 0 jperm 0 ares 0 azero 0 empb 0 expa 0 range
0.81606066,1.6823406 1.8545926,2.472288
joint model area jks 1000000.0 jkn 1000000.0 nstable 0 jfriction 0 jcohesion 1000000.0 jtension
1000000.0 jdilation 0 zdilation 0 jperm 0 ares 0 azero 0 empb 0 expa 0 range 1.5919464,2.07405
1.425219,1.8771912
```

(d)

```

joint model area jks 1000000.0 jkn 1000000.0 nstable 0 jfriction 0 jcohesion 1000000.0 jtension
1000000.0 jdilation 0 zdilation 0 jperm 0 ares 0 azero 0 empb 0 expa 0 range
2.0062542,2.3452332 0.89038527,1.3574232
joint model area jks 1000000.0 jkn 1000000.0 nstable 0 jfriction 0 jcohesion 1000000.0 jtension
1000000.0 jdilation 0 zdilation 0 jperm 0 ares 0 azero 0 empb 0 expa 0 range 2.119247,2.533555
-0.13408504,1.3950876
joint model area jks 1000000.0 jkn 1000000.0 nstable 0 jfriction 0 jcohesion 1000000.0 jtension
1000000.0 jdilation 0 zdilation 0 jperm 0 ares 0 azero 0 empb 0 expa 0 range
2.4553392,2.5174854 -2.5517602,-0.39045376
joint model area jks 1000000.0 jkn 1000000.0 nstable 0 jfriction 0 jcohesion 1000000.0 jtension
1000000.0 jdilation 0 zdilation 0 jperm 0 ares 0 azero 0 empb 0 expa 0 range -
2.5781288,2.3310468 -2.5215266,-2.4864993
set jmatdf=1
prop jmat=1 jks=570 jkn=5700 jfriction=29 jcohesion=0.21 nstable=0 jtension=0 jdilation=0
zdilation=0 jperm=0 ares=0 azero=0 empb=0 expa=0
change jmat=1 jcons=2
boundary stress 0.0,0.0,-8.77 range -20.69307,20.620462 19.531355,20.620462
boundary xvelocity 0.0 range -20.838285,-19.531355 -20.9835,20.69307
boundary xvelocity 0.0 range 19.458746,20.838285 -20.9835,20.838285
boundary yvelocity 0.0 range -20.765678,20.838285 -20.475248,-19.386139
set gravity=0.0 -9.81
history unbal
solve ratio 1.0E-5
delete range -2.43571,2.449781 -2.5309052,2.0393925
reset = disp
history ydis 0.007989304,2.4103413
history xdis 2.5079005,-0.07401076
solve step 200 ratio 1.0E-5
solve step 20 ratio 1.0E-5
reset = disp
cable 0.0 2.378928 0.0 5.378928 6 5 4.906E-4 6
cable 0.9821057 2.1838179 2.2990997 4.8991013 6 5 4.906E-4 6
cable 1.7462873 1.6472647 4.08761 3.5495892 6 5 4.906E-4 6
cable 2.2990997 0.8668238 5.144457 1.8748933 6 5 4.906E-4 6
cable 2.4942098 0.0 5.5021586 0.0 6 5 4.906E-4 6
cable -0.9821057 2.1838179 -2.2990997 4.8991013 6 5 4.906E-4 6
cable -1.7462873 1.6472647 -4.08761 3.5495892 6 5 4.906E-4 6
cable -2.2990997 0.8668238 -5.144457 1.8748933 6 5 4.906E-4 6
cable -2.4942098 0.0 -5.5021586 0.0 6 5 4.906E-4 6
property mat 5 cb_area 4.9E-4 cb_density 0.0075 cb_fstrain 1.0E10 cb_ycomp 10000.0 cb_yield
825 cb_ymod 210000.0 cb_thexp 0.0
property mat 6 cb_kbond 7012.0 cb_sbond 1.758
struct gen xc=0 yc=0 fang=-50 thet=280 thi=0.15 np=25 mat 7
property mat 7 st_density 0.0022 st_prat 0.25 st_ycomp 40.0 st_yield 2.0E-5 st_ymod 21000.0
st_yresid 10.0 st_thexp 1.0E-5 if_friction 45.0 if_cohesion 10000.0 if_tensile 10000.0 if_dilation
0.0 if_kn 1000.0 if_ks 1000.0
history ydis 0.009730426,2.3886049
history xdis 2.4906042,-0.08069567
solve step 100000 ratio 1.0E-5

```

(e)

Abstract:

Zayanderoood river is the most important river in dry region in center of Iran, which needs more water resources. So, after building of first and second Kohrang tunnels, building of third Kohrang tunnel, Cheshmelangan tunnel and finally Khadangstan water conveyance tunnel, increase the annual water inflow.

Khadangstan water conveyance complex include, five tunnels with total length of 9600 m and two channels with total length of 2550 m.

This tunnel has a horseshoe section with 5 m height and 5 m width in invert. In this thesis stability analysis and primary support system design implement by using of experimental methods (RMR , Q), analytical methods (analysing Rock-support system interaction) and numerical methods (by using of UDEC 4.0).

According to the results, for primary support system, compound of Shotcrete (with 5- 17.5 cm thickness) and Rocbolts (with 3 m length, 25 mm diameter and 1.5 m spacing) are introduced and finally, the safety factor of the support system was calculated.